



การย่อยสลายฟีโนลด้วยกระบวนการพลาสมาวัสดุภาคของเหลว  
DEGRADATION OF PHENOL BY LIQUID PHASE PLASMA PROCESS

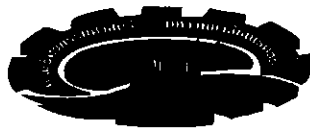


นายพิสู อ่อนพุ่ม รหัส 54360469  
นายสิทธิพล อนันตระกูลศิลป์ รหัส 54360520

ผู้ขออนุมัติ / ผู้ดำเนินการ	วันที่ได้รับอนุมัติ
นายพิสู อ่อนพุ่ม	30 มิ.ย. 2558
หมายเหตุ	16899249
ลงชื่อ	ผู้รับ
ลงชื่อ	ผู้อนุมัติ
ลงชื่อ	ผู้ดำเนินการ

2558

ปริญญาในพนธน์เป็นส่วนหนึ่งของการศึกษาหลักสูตรปริญญาวิศวกรรมศาสตรบัณฑิต  
สาขาวิชาวิศวกรรมเคมี ภาควิชาเคมี ภาควิชาเคมี ภาควิชาเคมี  
คณะวิศวกรรมศาสตร์ มหาวิทยาลัยนเรศวร  
ปีการศึกษา 2557



## ใบรับรองปริญญาบัตร

ชื่อหัวข้อโครงการ การย่อyleスタイルพื้นด้วยกระบวนการพลาสมาวัสดุภาคของเหลว

ผู้ดำเนินโครงการ นายพิสิฐ อ่อนพุ่ม รหัส 54360469

ที่ปรึกษาโครงการ ดร.อิศราธ ประเสริฐสังข์

สาขาวิชา วิศวกรรมเคมี

ภาควิชา วิศวกรรมอุตสาหการ

ปีการศึกษา 2557

คณะกรรมการศาสตราจารย์ มหาวิทยาลัยนเรศวร อนุมัติให้ปริญญาบัตรนี้เป็นส่วนหนึ่งของการศึกษาตามหลักสูตรวิศวกรรมศาสตรบัณฑิต สาขาวิศวกรรมเคมี

ที่ปรึกษาโครงการ

(ดร.อิศราธ ประเสริฐสังข์)

ที่ปรึกษาโครงการ  
(ดร.ธนพล เพ็ญรัตน์)

กรรมการ  
(ดร.นรารัตน์ จัน瑟รัม)

กรรมการ  
(ดร.นพวรรณ โม้ท่อง)

กรรมการ  
(ดร.กมราธน์ จัน瑟รัม)

กรรมการ  
(ดร.ปันธุ์พงศ์ บุญนวล)

<b>ชื่อหัวข้อโครงการ</b>	การย่อย้ายสลายฟืนออลด้วยกระบวนการพลาสมาวัสดุภาคของเหลว		
<b>ผู้ดำเนินโครงการ</b>	นายพิสิฐ อ่อนพุ่ม รหัส 54360469		
	นายสิทธิพล อนันตระกูลศิลป์ รหัส 54360520		
<b>ที่ปรึกษาโครงการ</b>	ดร.อิศราวด ประเสริฐสังษ์		
	ดร.ธนพัล เพ็ญรัตน์		
<b>สาขาวิชา</b>	วิศวกรรมเคมี		
<b>ภาควิชา</b>	วิศวกรรมอุตสาหการ		
<b>ปีการศึกษา</b>	2557		

## บทคัดย่อ

ในโครงการนี้ได้ศึกษาถึงการย่อย้ายสลายฟืนออลด้วยกระบวนการพลาสมาวัสดุภาคของเหลวโดยตัวแปรที่ศึกษา คือ ชนิดของข้าวอิเล็กโทรดในการทำให้เกิดพลาสม่า 3 ชนิดคือ หังสแตน เหล็กและทองแดง ระยะเวลาที่ใช้ในการย่อย้ายสลายฟืนออลเป็นเวลา 0 – 180 นาทีและผลลัพธ์ของพลาสม่าโดยการปรับความถี่ที่ต่างกันคือ 15 – 30 กิโลเอิร์ตซ์ จากผลการวัดปริมาณของฟืนออลที่ผ่านการทำให้เกิดพลาสม่าโดยกระบวนการพลาสมาวัสดุภาคของเหลว พบร้า ข้าวอิเล็กโทรดชนิดหังสแตนให้เปอร์เซ็นต์การย่อย้ายสลายฟืนออลได้มากถึง 73.59 เปอร์เซ็นต์ ซึ่งมากกว่าข้าวอิเล็กโทรดที่เป็นเหล็กและทองแดง ที่ความถี่ 15 กิโลเอิร์ตซ์ และเมื่อทำการเพิ่มผลลัพธ์ของพลาสม่าโดยการปรับความถี่เป็น 22.5 และ 30 กิโลเอิร์ตซ์ พบร้าข้าวอิเล็กโทรดที่เป็นหังสแตนให้ค่าเปอร์เซ็นต์การย่อย้ายสลายฟืนออลได้มากกว่าข้าวอิเล็กโทรดที่เป็นเหล็กและทองแดง แต่ว่าเปอร์เซ็นต์การย่อย้ายสลายที่ความถี่ 22.5 และ 30 กิโลเอิร์ตซ์ จะมีค่าเป็น 80.49 และ 78.89 เปอร์เซ็นต์ ซึ่งมากกว่าที่ความถี่ 15 กิโลเอิร์ตซ์ แต่จะเห็นได้ว่าที่ความถี่ 22.5 และ 30 กิโลเอิร์ตซ์ นั้นได้ค่าเปอร์เซ็นต์ในการย่อย้ายสลายฟืนออลไม่แตกต่างกันมากนัก ดังนั้นความเหมาะสมในการย่อย้ายสลายฟืนออลของงานวิจัยชิ้นนี้คือ ใช้ข้าวอิเล็กโทรดที่เป็นหังสแตนโดยการปรับความถี่ 22.5 กิโลเอิร์ตซ์ และเมื่อมาศึกษาด้านผลกระทบของการย่อย้ายสลายฟืนออลด้วยกระบวนการพลาสมาวัสดุภาคของเหลว พบร้าการอันดับการเกิดปฏิกิริยาของการย่อย้ายสลายฟืนออลด้วยกระบวนการพลาสมาวัสดุภาคของเหลวนั้นเป็นปฏิกิริยาอันดับหนึ่ง โดยมีค่าคงที่ของการเกิดปฏิกิริยา  $0.0085 \text{ นาที}^{-1}$

## กิตติกรรมประกาศ

ปริญญาอินพนธ์ฉบับนี้ สำเร็จลุล่วงไปได้ด้วยความช่วยเหลือของทนายฯผ่าน โดยเฉพาะอย่างยิ่ง ดร.อิศราวด ประเสริฐสังข์ อาจารย์ที่ปรึกษาโครงงาน ที่ได้ให้คำแนะนำคำปรึกษาและนำวิธีแก้ปัญหา รวมถึงข้อคิดเห็นต่างๆ ตลอดจนความดูแลเอาใจใส่ ติดตามการดำเนินโครงงานมาโดยตลอดและขอขอบพระคุณอาจารย์ประจำสาขาวิศวกรรมเคมีและอาจารย์ประจำภาควิชา วิศวกรรมอุตสาหการ มหาวิทยาลัยนเรศวรทุกท่าน ที่ได้ให้วิชาความรู้ เพื่อนำมาประยุกต์ใช้ในการทำปริญญาอินพนธ์ฉบับนี้

คุณค่าของปริญญาอินพนธ์ฉบับนี้ ผู้ศึกษาหวังเป็นอย่างยิ่งว่าจะก่อให้เกิดประโยชน์ทางวิชาการแก่บุคคลทั่วไป นิสิต นักศึกษาที่สนใจค้นคว้าและเพิ่มพูนความรู้เกี่ยวกับการศึกษาถึงการย่อยสลายฟืนอลด่วนกระบวนการพลาสมาวัสดุภาคของเหลว

สุดท้ายนี้ผู้ดำเนินโครงงานขอรบกวนของพระคุณ บิดา มารดา ที่ได้ให้การดูแล อบรมสั่งสอนและให้กำลังใจด้วยดีเสมอมา ตลอดการดำเนินโครงงานจนสำเร็จการศึกษา

ผู้ดำเนินโครงงาน

นายพิสิฐ อ่อนพุ่ม

นายสิทธิพล อนันตรະกุลศิลป์

พฤษภาคม 2558

# สารบัญ

หน้า

ใบรับรองปริญญานิพนธ์.....	ก
บทคัดย่อ.....	ข
กิตติกรรมประกาศ.....	ค
สารบัญ.....	ง
สารบัญตาราง.....	ด
สารบัญรูป.....	ช
บทที่ 1 บทนำ.....	1
1.1 ที่มาและความสำคัญของโครงการ.....	1
1.2 วัตถุประสงค์ของโครงการ.....	2
1.3 ขอบเขตในการดำเนินโครงการ.....	3
บทที่ 2 หลักการและทฤษฎี.....	4
2.1 พื้นอัล.....	4
2.2 ปฏิกริยาเฟนตัน.....	5
2.3 กระบวนการออกแบบชิเดชั้นสูง.....	9
2.4 พลาสมาวัลว์ภาคของเหลว.....	9
2.5 Optical Emission Spectrometer (OES).....	12
2.6 UV-VIS Spectrophotometer.....	14
2.7 High Performance Liquid Chromatography (HPLC).....	15
2.8 การวิเคราะห์ Total Organic Carbon ( TOC ).....	18

## สารบัญ (ต่อ)

หน้า

2.9 การสำรวจเอกสารงานวิจัย.....	19
<b>บทที่ 3 วิธีการทดลอง.....</b>	<b>23</b>
3.1 สารเคมีและอุปกรณ์.....	23
3.2 วิธีการทดลอง.....	24
3.3 การวิเคราะห์ปริมาณสาร.....	25
<b>บทที่ 4 ผลการทดลองและการวิเคราะห์.....</b>	<b>27</b>
4.1 คุณลักษณะของพลาสมาที่เกิดขึ้นจากข้ออิเล็กโทรดแต่ละชนิด.....	27
4.2 ผลของชนิดอิเล็กโทรดที่มีผลต่อการย่อยสลายฟีนอล.....	29
4.3 ผลของการปรับความถี่ที่มีผลต่อการย่อยสลายฟีนอล.....	32
4.4 จำนวนพลศาสตร์ของการย่อยสลายฟีนอล.....	33
4.5 การดิซชาร์จด้วยพลาสมาที่มีผลต่อค่า TOC.....	35
<b>บทที่ 5 บทสรุปและข้อเสนอแนะ.....</b>	<b>37</b>
5.1 บทสรุป.....	37
5.2 ข้อเสนอแนะ.....	37
<b>เอกสารอ้างอิง.....</b>	<b>38</b>
<b>ภาคผนวก ก.....</b>	<b>41</b>
<b>ภาคผนวก ข.....</b>	<b>55</b>

## สารบัญตาราง

ตารางที่

หน้า

4.1 แสดงค่า k ของการทดสอบที่ข้ออิเล็กโทรดและความถี่ที่แตกต่างกัน.....34



## สารบัญรูป

รูปที่	หน้า
2.1 โครงสร้างโมเลกุลของสารประกอบฟีนอล.....	4
2.2 เส้นทางกลไกของการย่อยสลายฟีนอลโดยใช้ปฏิกิริยาเฟนตัน.....	8
2.3 ภาพถ่ายและแบบจำลองของพลาสมาวัฏจักรของเหลว.....	10
2.4 ไดอะแกรมของเครื่องกำเนิดพลาสมาวัฏจักรของเหลว.....	11
2.5 รูปแสดงการเปลี่ยนแปลงพลังงานของอัตรา.....	13
2.6 แผนผังแสดงการทำงานของ Optical Emission Spectrometer.....	13
2.7 รูปแสดงหลักการทำงานของเครื่อง UV-VIS Spectrophotometer.....	14
2.8 องค์ประกอบของเครื่อง HPLC.....	16
2.9 รูปแบบเครื่องมือของเครื่องวิเคราะห์ TOC.....	19
3.1 แผนผังกระบวนการย่อยสลายฟีนอล.....	24
3.2 อุปกรณ์กำเนิดพลาสมาวัฏจักรของเหลว.....	25
4.1 แสดงคุณลักษณะของพลาสม่าที่เกิดจากข้าวอิเล็กโทรดทั้งสنتแทฟที่ความถี่ 15 กิโลเฮิรตซ์ ด้วยเทคนิค OES.....	27
4.2 แสดงคุณลักษณะของพลาสม่าที่เกิดจากข้าวอิเล็กโทรดทองแดงที่ความถี่ 15 กิโลเฮิรตซ์ ด้วยเทคนิค OES.....	28
4.3 แสดงคุณลักษณะของพลาสม่าที่เกิดจากข้าวอิเล็กโทรดเหล็กที่ความถี่ 15 กิโลเฮิรตซ์ ด้วยเทคนิค OES.....	28
4.4 เปอร์เซ็นต์การย่อยสลายฟีนอลของข้าวอิเล็กโทรดแต่ละชนิดที่ความถี่ 15 กิโลเฮิรตซ์.....	29
4.5 ความเข้มข้นของไฮโดรเจนเปอร์ออกไซด์ที่ข้าวอิเล็กโทรดชนิดต่างๆที่ความถี่ 15 กิโลเฮิรตซ์.....	30

## สารบัญรูป (ต่อ)

รูปที่	หน้า
4.6 แสดงข้อมูลจากเครื่อง HPLC ที่ความถี่ 15 กิโลเฮิรตซ์ ที่เวลา 180 นาที.....	31
4.7 เปอร์เซ็นต์การย่อยสลายฟืนออลของข้าวอิเล็กโทรดหั่งสแตนที่ความถี่ 15 22.5 และ 30 กิโลเฮิรตซ์.....	32
4.8 แสดงค่า $R^2$ ของการย่อยสลายฟืนออลของข้าวอิเล็กโทรดหั่ง 3 ชนิด ที่ความถี่ 15 กิโลเฮิรตซ์.....	33
4.9 ค่า TOC ที่ข้าวอิเล็กโทรดชนิดต่างๆ ที่ความถี่ 15 กิโลเฮิรตซ์.....	35
4.10 ค่า TOC ที่ข้าวอิเล็กโทรดหั่งสแตนที่ความถี่ต่างกัน.....	36



## บทที่ 1

### บทนำ

#### 1.1 ที่มาและความสำคัญของโครงการ

ปัจจุบันปัญหาน้ำเสียเป็นปัญหาสำคัญที่ต้องได้รับการแก้ไขอย่างเร่งด่วน ไม่ว่าจะเป็นปัญหาน้ำเสียจากเขตชุมชน น้ำเสียที่มาจากการเกษตรหรือน้ำเสียที่มาจากโรงงานอุตสาหกรรม ซึ่งน้ำเสียนี้ยังส่งกลิ่นเหม็นหรืออาจมีสารเคมีและโลหะหนักที่เป็นอันตรายต่อสิ่งมีชีวิตและสิ่งแวดล้อม เมื่อปนเปื้อนอยู่ในน้ำ น้ำเสียเหล่านี้หลังสูญแคลงน้ำธรรมชาติไม่ว่าจะเป็น แม่น้ำ ลำคลองหรือทะเล จะทำให้แคลงน้ำธรรมชาติเหล่านี้ปนเปื้อนไปด้วย เมื่อน้ำที่มีการปนเปื้อนมาใช้ในการอุปโภคบริโภค ไม่ว่าจะเป็นการสัมผัสหรือการนำไปใช้เพื่อการประกอบอาหารอาจทำให้เกิดอันตรายต่อสุขภาพและชีวิตได้ จากปัญหาดังกล่าว�้ำเสียทำให้เกิดผลกระทบกับสิ่งมีชีวิตและสิ่งแวดล้อมเป็นวงกว้างจึงต้องมีการคุ้มครองและควบคุมหรือการบำบัดก่อนจะปล่อยลงสูญแคลงน้ำธรรมชาติ [1]

ฟินอล ( $C_6H_6O$ ) เป็นสารที่ได้จากน้ำมันถ่านหินเป็นของแข็งเม้มีสี ถ้าบริสุทธิ์จะมีสีขาวขุ่น สารประกอบฟินอลมีสูตรโครงสร้างทางเคมีเป็นวงแหวนที่เป็นอนุพันธ์ของวงแหวนเบนซินมีหมู่ไฮดรอกซิล (-OH group) อย่างน้อยหนึ่งหมู่ต่ออยู่ ฟินอลถูกนำมาใช้เป็นวัตถุดิบในการผลิตพลาสติก บางชนิด สีย้อม ยาฆ่าเชื้อโรค กลุ่มสารเคลือบผิว และกลุ่มผลิตภัณฑ์ปีโตรเคมี หลังจากการผลิตจะมีการปนเปื้อนของฟินอลมากับน้ำเสียด้วย ซึ่งฟินอลนี้เป็นสารที่อันตรายต่อสิ่งมีชีวิต ถ้าได้รับเข้าไปในร่างกายก็จะเกิดการระคายเคืองในระบบทางเดินอาหารและเมื่อสัมผัสจะทำให้เกิดการกัดผิวนังและชีมเข้าสู่กระเพาะอาหาร แต่ถ้าได้รับฟินอลในปริมาณมากก็อาจทำให้เสียชีวิตได้ [2] ดังนั้นการกำจัดฟินอลจึงได้รับความสนใจเป็นอย่างมากจากนักวิจัยกระบวนการกำจัดฟินอลที่ได้รับความนิยมในปัจจุบันคือกระบวนการเผาไหม้ออกซิเดชันและกระบวนการโพโตแคตาไลซ์กระบวนการเผาไหม้ออกซิเดชัน [3] เป็นกระบวนการที่สามารถบำบัดสารอินทรีย์ธรรมชาติได้มากกว่า 60 เปอร์เซ็นต์ โดยการใช้อิโอดีนในการบำบัดมาจากการใช้สนา�ไฟฟ้าแรงสูงหรือจากรังสีอัลตราไวโอเลต ผ่านไปยังโมเลกุลออกซิเจน ( $O_2$ ) ตัวอื่นที่ไกล์คายกันเป็นโอโซน ( $O_3$ ) ซึ่งสามารถออกซิได้โมเลกุลของสารอินทรีย์ที่อยู่ในน้ำได้อย่างมีประสิทธิภาพ แต่ต้องคำนึงถึงปัจจัยหลายอย่างไม่ว่าเป็นการควบคุมอุณหภูมิ ความดัน ความเป็นกรดด่าง และมีความสัมมูลเปลี่ยงพลังงานไฟฟ้ารวมทั้งอาจส่งผลกระทบต่อสิ่งมีชีวิตในแหล่งน้ำ ข้อเสียของกระบวนการนี้คืออิโอดีนที่ผลิตขึ้นสามารถทำปฏิริยากับสารบางชนิดและก่อให้เกิดเป็นสารก่อมะเร็ง [4]

กระบวนการโพโตแคตาไลซ์ [5] เป็นการใช้แสงอัลตราไวโอเลตที่มีความยาวคลื่นต่ำกว่า 390 นาโนเมตร ไปกระทบตัวอิเล็กตรอนที่แอบเวลน์ของอนุภาคไทด์เนียมไดออกไซด์ที่เป็นสารประกอบกงตัวนำซึ่งแขวนลอยอยู่ในน้ำที่มีสิ่งเจือปนหลุดออกจากตัวแห่งส่งผลให้คุณอิเล็กตรอนที่

หลุมออกไฮโล (hole) ซึ่งเป็นช่องว่างที่ไม่มีอิเล็กตรอน และมีประจุบวกสามารถสร้างพลังงานความร้อนกลับมารวมตัวกันหรือทำปฏิกิริยา กับสิ่งแวดล้อมภายนอก โดยที่ไฮโลจะเกิดปฏิกิริยา กับน้ำและหมูไฮดรอกซิล ( $\text{OH}$ ) เพื่อทำให้เกิดไฮดรอกซิลเรดิคอล (hydroxyl radical) ซึ่งเป็นตัวออกซิไดส์ที่แรงสามารถไปทำให้มีเลกุลของสารอินทรีย์ที่ละลายแตกตัวออกกลไยเป็นน้ำ คาร์บอนไดออกไซด์ และผลิตภัณฑ์อนินทรีย์อื่นๆ ส่วนอิเล็กตรอนจะทำปฏิกิริยา กับออกซิเจนที่ละลายอยู่ทำให้เกิดซุปเปอร์ออกไซด์แอนไอօน ( $\text{O}_2^-$ ) ซึ่งสามารถทำให้เกิดไฮดรอกซิลเรดิคอลได้ ในอีกทางหนึ่ง อิเล็กตรอนสามารถลดปริมาณโลหะบางชนิดที่ละลายอยู่ได้ด้วย อย่างไรก็ตามความสามารถของอิเล็กตรอนและไฮโลในการทำปฏิกิริยาเริดอกซ์ (ออกซิเดชันรีดักชัน) อาจเปลี่ยนแปลงให้เหมาะสมได้โดยการเลือกใช้ค่าความเป็นกรด - ด่าง (pH)

กระบวนการที่กล่าวมาข้างต้นนี้ยังมีข้อจำกัดอยู่หลายอย่าง เช่น จึงทำให้มีการพัฒนากระบวนการบำบัดน้ำเสียขึ้นมาเพื่อในการปฏิบัติงานได้ด้วยขั้นตอนลดปัจจัยหรือข้อจำกัดต่างๆ ในการกำจัดน้ำเสีย กระบวนการพลาสมาวัสดุภาคของเหลว เป็นกระบวนการที่ค้นพบโดย O.Takai และได้นำไปประยุกต์ใช้งานทางด้านต่างๆ อาทิ เช่น การสังเคราะห์อนุภาคนาโน การย่อยสลายสารอินทรีย์ กระบวนการพลาสมาวัสดุภาคของเหลว เป็นกระบวนการที่สามารถผลิตหมู่ร่วงไว้ที่มีความสามารถในการเข้าทำปฏิกิริยาได้ดี อาทิ หมูไฮดรอกซิล ( $\text{OH}^-$ ) หมูไฮโดรเปอร์ออกซิล ( $\text{HO}_2^-$ ) จากรายงานการวิจัยของ L. Wang และ X. Jiang [6] ซึ่งได้ศึกษาการย่อยสลายฟีนอลด้วยกระบวนการพลาสมาวัสดุภาคของเหลวพบว่าสารละลายฟีนอลที่ผ่านการทำทรีทด้วยพลาสมามีความเข้มข้นของฟีนอลต่ำลง เนื่องจากหมู่ร่วงไว้ไฮดรอกซิลซึ่งผลิตขึ้นในระหว่างกระบวนการพลาสมานั้นมีความร่วงไว้ในการเข้าทำปฏิกิริยา จึงทำให้ความเข้มข้นของสารละลายฟีนอลต่ำลง อย่างไรก็ตามปัจจัยต่างๆ ในการกระบวนการพลาสมานี้ ส่งผลต่อประสิทธิภาพการทำจัดฟีนอลอาทิ ชนิดของอิเล็กโทรดและพลังงานพลาสมายังไม่ได้รับการศึกษาดังนั้นงานวิจัยนี้จึงมีความสนใจในการประยุกต์ใช้กระบวนการพลาสมาวัสดุภาคของเหลวในการย่อยสลายฟีนอล โดยตัวแปรที่สนใจคือ ชนิดของอิเล็กโทรด เวลาที่ใช้ในการทรีทพลาสม่า และพลังงานพลาสม่าโดยปรับความถี่ ซึ่งฟีนอลที่ผ่านการทำทรีทด้วยพลาสมานี้จะนำไปตรวจด้วยปริมาณความเข้มข้นของฟีนอลด้วยเทคนิค High Performance Liquid Chromatography (HPLC) ซึ่งผลที่ได้จากการศึกษาสภาวะที่เหมาะสมของพลาสมานี้นำไปประยุกต์ใช้ในการย่อยสลายฟีนอลและให้ประสิทธิภาพการย่อยสลายฟีนอลสูง

## 1.2 วัตถุประสงค์ของโครงการ

1.2.1 เพื่อศึกษาสภาวะของกระบวนการพลาสมาวัสดุภาคของเหลวที่มีผลต่อการย่อยสลายของฟีนอล

1.2.2 เพื่อศึกษาจนพัฒนาศรีร์ของการถ่ายฟีนอลด้วยกระบวนการพลาสมาวัสดุภาคของเหลว

### 1.3 ขอบเขตในการดำเนินโครงการ

1.3.1 ติดตั้งเครื่องกำเนิดพลาสมาวัสดุภาคของเหลวและตรวจคุณลักษณะของพลาสม่าที่สภาวะต่างๆด้วยเทคนิค Optical Emission Spectrometer (OES)

1.3.2 เตรียมสารละลายฟีนอลความเข้มข้น 100 ppm ปริมาณ 120 มิลลิลิตร และนำไปห ragazzi พลาสม่า โดยมีตัวปรับศึกษาดังนี้

1.3.2.1 เวลาที่ใช้ในการห ragazzi พลาสม่าในช่วงเวลา 0 – 180 นาที

1.3.2.2 ชนิดของข้ออิเล็กโทรด คือ หั่งสแตน เหล็กและทองแดง

1.3.2.3 พลังงานของพลาสม่าโดยการปรับค่าความถี่ในช่วง 15 – 30 กิโลเอิร์ตซ์

1.3.3 ตรวจวัดปริมาณฟีนอลด้วยเทคนิค High Performance Liquid Chromatography (HPLC)

1.3.4 ตรวจวัดปริมาณไฮโดรเจนเปอร์ออกไซด์ด้วยเทคนิค UV-Vis Spectrophotometer

1.3.5 ศึกษาจนผลศาสตร์ของการสลายฟีนอลด้วยพลาสมาวัสดุภาคของเหลว

1.3.6 ตรวจวัดปริมาณคาร์บอนที่อยู่ในน้ำด้วยเทคนิค TOC

## บทที่ 2

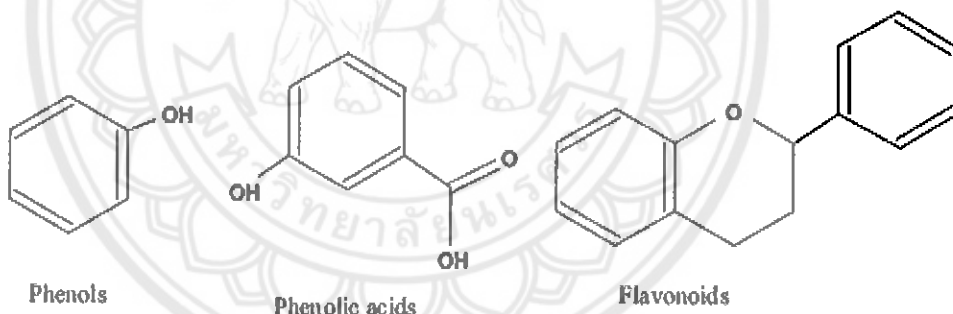
### หลักการและฤทธิ์

#### 2.1 พีโนล (Phenol)

พีโนล ( $C_6H_5O$ ) อยู่ในกลุ่มของสารพีโนลิก ซึ่งประกอบด้วยวงแหวนเบนซิน 1 วงและหมู่ไฮดรอกซิล 1 หมู่ มีมวลโมเลกุล 94.11 เป็นผลึกรูปเข็ม ไม่มีสี จุดหลอมเหลว 40.9 องศาเซลเซียส จุดเดือด 181.8 องศาเซลเซียส จุดควบไฟ 78 องศาเซลเซียส พีโนล 8.2 ส่วนละลายได้ในน้ำ 100 ส่วนโดยน้ำหนักที่ 15 องศาเซลเซียส สารละลายของพีโนลเป็นกรดอ่อน นอกจากนี้พีโนลยังละลายได้ในกลีเซอรอล คาร์บอนไดออกไซด์ และละลายได้ดีในเออลกอฮอล์ อีเทอร์ และคลอโรฟอร์ม [7]

#### โครงสร้างโมเลกุลของสารประกอบพีโนล

สารประกอบพีโนล มีสูตรโครงสร้างทางเคมีเป็นวงแหวน ที่เป็นอนุพันธ์ของวงแหวนเบนซิน มีหมู่ไฮ-ดรอกซิล (-OH group) อย่างน้อยหนึ่งหมู่ต่ออยู่ สารประกอบพีโนลพื้นฐาน คือ สารพีโนล (phenol) ในโมเลกุลประกอบด้วยวงแหวนเบนซิน 1 วง และหมู่ไฮดรอกซิล 1 หมู่



รูปที่ 2.1 โครงสร้างโมเลกุลของสารประกอบพีโนล

สารประกอบพีโนลที่พบในธรรมชาติมีมากมายหลายชนิด และมีลักษณะสูตรโครงสร้างทางเคมีที่แตกต่างกัน ตั้งแต่กลุ่มที่มีโครงสร้างอย่างง่าย เช่น กรดพีโนลิก (phenolic acids) ไปจนถึงกลุ่มที่มีโครงสร้างเป็นโพลิเมอร์ เช่น ลิกนิน (lignin) กลุ่มใหญ่ที่สุดที่พบคือ สารประกอบพวงพลาโนยด์ (flavonoid) สารประกอบพีโนลที่พบในพืชมักจะรวมอยู่ในโมเลกุลของน้ำตาลในรูปของสารประกอบไกโอลโคไซด์ (glycoside) น้ำตาลชนิดที่พบมากที่สุดในโมเลกุลของสารประกอบพีโนล คือ น้ำตาลกลูโคส (glucose) และพบว่าอาจมีการรวมตัวกันระหว่างสารประกอบพีโนลตัวยันเอง หรือสารประกอบพีโนลกับสารประกอบอื่นๆ เช่น กรดอินทรีย์ (organic acid) รวมอยู่ในโมเลกุลของโปรตีน แอลคาลอยด์ (alkaloid) และเทอร์พีโนยด์ (terpenoid) เป็นต้น [2]

## 2.2 ปฏิกิริยาเ芬ตัน

ปฏิกิริยาเ芬ตัน เป็นปฏิกิริยาที่ถูกค้นพบครั้งแรกในปี ค.ศ. 1894 จนถึงปี 1930 ได้มีการศึกษากลไกของปฏิกิริยานี้ได้อย่างสมบูรณ์ และนำมาประยุกต์ใช้ในอุตสาหกรรมบำบัดน้ำเสียจากโรงงานอุตสาหกรรม ซึ่งในน้ำเสียที่ได้จากการผลิตมีสารพิษประเภทสารประกอบอินทรีย์ แป้ง แล้วสารเคมีต่างๆที่ได้มาจากการเผาไหม้ วัสดุสี้อม ย่าง และพลาสติก รวมทั้งกระบวนการนี้สามารถนำมาระบุกตัดกับน้ำเสีย และตะกอน ได้ดังนี้ ทำลายสารอินทรีย์ที่เป็นมลพิษ (Organic pollutant destruction), ลดค่า BOD และ TOC (BOD and TOC removal), ลดกลิ่นและสี (Odor and Color removal)

### 2.2.1 กลไกของปฏิกิริยาเ芬ตัน

การใช้ปฏิกิริยาเ芬ตัน ซึ่งค้นพบโดย H.J.H Fenton พบว่าศักยภาพของปฏิกิริยาอันนี้มาก ในระดับที่สามารถออกซิเดช์สารอินทรีย์ในน้ำเสียให้กลายเป็นก้าชาร์บอนไดออกไซด์ และน้ำดีได้อย่างสมบูรณ์ [8] ปฏิกิริยาเ芬ตัน คือ ปฏิกิริยาออกซิเดชันที่เกิดขึ้นอย่างรวดเร็วของสารประกอบอินทรีย์ในสารละลายไฮโดรเจนเปอร์ออกไซด์ ( $H_2O_2$ ) กับไอออนของเฟอร์สซึ่งจะก่อให้เกิดอนุมูลไฮดรอกซิล (Hydroxyl radicals) ดังสมการนี้



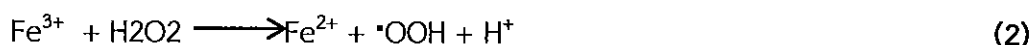
เมื่อปฏิกิริยา (1) เกิดขึ้นในน้ำเสีย ซึ่งมีสารประกอบอินทรีย์หลายประเภท พลังงานของการถ่ายโอนอิเล็กตรอนเริ่มแรกที่อนุมูลไฮดรอกซิล สามารถที่จะเหนี่ยวนำให้มีการย่อยสลายของสารประกอบอินทรีย์ได้ ปฏิกิริยาต่อมาเกิดขึ้นคืออนุมูลไฮดรอกซิลจะทำปฏิกิริยากับไอออนของเฟอร์ส ( $Fe^{2+}$ ) แล้วให้ไอออนของเฟอริก ( $Fe^{3+}$ ) ดังนี้

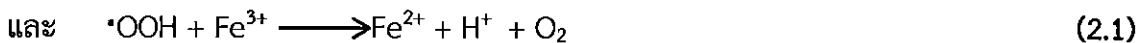


หรือในเวลาเดียวกันอนุมูลไฮดรอกซิลจะทำปฏิกิริยาออกซิเดชันกับสารประกอบอินทรีย์ในสารละลายดังนี้



ต่อมาก็จะมีการทำซ้ำโดยไอออนเฟอริก ( $Fe^{3+}$ ) จะช่วยเร่งให้มีการแตกตัวของไฮโดรเจนเปอร์ออกไซด์ ไปเป็นก้าชออกซิเจนและอนุมูลเปอร์ไฮดรอกซิล (Perhydroxyl radicals) โดยที่ความเข้มข้นของไอออนของเฟอร์ส ( $Fe^{2+}$ ) จะไม่มีการเปลี่ยนแปลงใดๆในขณะที่ความเข้มข้นของไฮโดรเจนเปอร์ออกไซด์จะลดลงเรื่อยๆดังนี้ [9]





อนุมูลเปอร์ไฮดรอกซิลเป็นตัวออกซิไดซ์ที่อ่อน แต่มีความสำคัญมากในกระบวนการเกิดไออกอนของเฟอรัส ( $\text{Fe}^{2+}$ ) โดยเมื่อทำปฏิกิริยา กับไฮโดรเจนเปอร์ออกไซด์ จะทำให้ออนุมูลไฮดรอกซิลเพิ่มมากขึ้น ซึ่งอนุมูลไฮดรอกซิลจะสามารถทำปฏิกิริยา กับสารประกอบอินทรีย์เกือบทั้งหมดและให้ผลิตภัณฑ์เป็นคาร์บอนไดออกไซด์และน้ำ ในขั้นตอนสุดท้าย ปัญหาโดยตรงของปฏิกิริยานี้คือการควบคุมสารเคมี (Reagents) และพีเอช (pH) ซึ่งหากมีการควบคุมองค์ประกอบเหล่านี้ไม่ดีพอก็จะทำให้ผลิตภัณฑ์ของปฏิกิริยาเป็นเพียงน้ำและออกซิเจนเท่านั้น [10]

ผลิตภัณฑ์จากการออกซิเดชัน (Oxidized product) ที่ต้องการอย่างยิ่งในการบำบัดน้ำเสียก็คือการบ่อนไดออกไซด์เพราหมาลีสารประกอบอินทรีย์ได้ถูกเปลี่ยนรูปจนหมดสภาพการเป็นสารพิษ และในแข่งของการตรวจสอบสมบัติของน้ำเสียก่อนปล่อยลงสู่แหล่งน้ำ ด้วยการตรวจสอบค่า COD หรือค่า TOC ถ้าผลิตภัณฑ์ส่วนใหญ่จากการเกิดปฏิกิริยาคือ การบ่อนไดออกไซด์แล้วค่า COD หรือค่า TOC ที่ตรวจสอบหลังปฏิกิริยาจะมีค่าน้อยจนสามารถปล่อยลงสู่แหล่งน้ำได้

### 2.2.2 ความสามารถในการเข้าทำปฏิกิริยาของอนุมูลไฮดรอกซิล

อนุมูลไฮดรอกซิล (Hydroxyl radicals) เป็นอนุมูลที่รู้จักกันดีเนื่องจากเป็นตัวออกซิไดซ์ที่แรงรองจากฟลูออกรีน โดยปฏิกิริยาทางเคมีของอนุมูลไฮดรอกซิลแบ่งออกเป็น 4 ชนิด ดังนี้

#### 1. การรวมตัว (addition)



โดยอนุมูลไฮดรอกซิลจะทำปฏิกิริยา กับสารประกอบไม่อิมตัว อะลิฟติกหรืออะโรมาติก แล้วให้ออนุมูลของผลิตภัณฑ์ (เช่น Cyclohexadienyl ดังตัวอย่างในสมการข้างต้น)

#### 2. การสลัดไฮโดรเจน (Hydrogen abstraction)



อนุมูลไฮดรอกซิลจะทำปฏิกิริยา กับสารอินทรีย์ เกิดผลิตภัณฑ์เป็นน้ำและอนุมูลอิสระของสารอินทรีย์ (Organic free radical)

#### 3. การถ่ายโอนอิเล็กตรอน (Electron transfer)



อิเล็กตรอนจะถูกถ่ายโอนให้กับอนุมูลไฮดรอกซิลเกิดผลิตภัณฑ์เป็นไอออนของไฮดรอกไซด์

#### 4. การทำปฏิกิริยาซึ่กันของอนุมูล (Radical interaction)



โดยอนุมูลไไฮดรอกซิลจะทำปฏิกิริยา กับอนุมูลไไฮดรอกซิลอีกตัวหนึ่งเกิดผลิตภัณฑ์เป็นไฮโดรเจนเปอร์ออกไซด์

ปฏิกิริยาเฟนตันสำหรับการบำบัดน้ำเสียจากโรงงานอุตสาหกรรมจะมีสภาวะของปฏิกิริยาที่ถูกปรับเปลี่ยนอยู่ 2 กระบวนการคือ การสลัดไฮโดรเจน (Hydrogen abstraction) และการรวมตัว (addition) ซึ่งมีผลมากกว่าปฏิกิริยาอื่นๆ

### 2.2.3 อิทธิพลของความเข้มข้นของไอออนเหล็ก

อนุมูลไไฮดรอกซิลเกิดขึ้นได้น้อยมาก ถ้าหากในปฏิกิริยานั้นไม่มีไอออนของเหล็กเข้าการเติมไฮโดรเจนเปอร์ออกไซด์ลงไปในน้ำเสียที่มีฟินอลอยด์โดยที่ไม่มีการเติมไอออนของเหล็กลงไป แต่ถ้าหากมีการเติมไอ้อนของเหล็กลงไปก็จะเร่งให้เกิดอนุมูลไไฮดรอกซิลมากขึ้น จนถึงที่ความเข้มข้นของเหล็กค่าหนึ่งปฏิกิริยาจะไม่เพิ่มขึ้นและปัจจัยที่มีผลต่อการทำให้เกิดปฏิกิริยาเฟนตันอาทิ ความเข้มข้นของไอออนเหล็กที่จุดเริ่มต้น 3-15 mg/l เป็นความเข้มข้นต่ำที่สุดที่จะกระตุ้นให้ปฏิกิริยาไปข้างหน้าภายในระยะเวลาที่เหมาะสมโดยไม่คำนึงถึงความเข้มข้นของสารประกอบอินทรีย์ สัดส่วนคงที่ของไอออนเหล็กต่อสารที่เข้าทำปฏิกิริยา (Substrate) เมื่อยังสูงกว่าความเข้มข้นต่ำสุดที่กระตุ้นการเกิดปฏิกิริยาคือ 1 ส่วนของไอออนเหล็กต่อ 10-50 ส่วนของสารที่เข้าทำปฏิกิริยาซึ่งจะให้ผลิตภัณฑ์ตามที่ต้องการและสารประกอบของเหล็กที่อิ่มตัวเป็นสมบัติของคิเลตซึ่งอยู่ในน้ำเสีย ดังนั้นจึงไม่ควรจะแยกไอออนเหล็กออกไป เพื่อใช้ไอออนเหล็กเป็นตัวเร่งปฏิกิริยาในการสร้างอนุมูลไไฮดรอกซิลทั้งนี้ สัดส่วนโดยน้ำหนักของไอออนเหล็กต่อไฮโดรเจนเปอร์ออกไซด์ควรอยู่ในช่วง 1 ต่อ 5 - 25(wt/wt)

### 2.2.4 อิทธิพลของชนิดของเหล็กเฟอรัสหรือเฟอริก

ในการนำมาประยุกต์ใช้เรามิ่งสามารถตู้ได้ว่าตัวเร่งปฏิกิริยาที่แท้จริงเป็นไอออนของเฟอรัส ( $Fe^{2+}$ ) หรือไอออนของเฟอริก ( $Fe^{3+}$ ) เนื่องจากตัวเร่งปฏิกิริยาจะถูกนำกลับมาใช้ใหม่ทันทีถ้ามีไฮโดรเจนเปอร์ออกไซด์และสารอินทรีย์อยู่มากพอ

### 2.2.5 อิทธิพลของความเข้มข้นของไฮโดรเจนเปอร์ออกไซด์

การใช้อนุมูลไไฮดรอกซิลในการออกซิไดซ์สารประกอบอินทรีย์เพื่อให้ได้ก้าช ควรบ่อนไดออกไซด์มีความสำคัญมาก การเปลี่ยนแปลงในแต่ละลำดับที่ต่อเนื่องกันจะมีอัตราการเกิดปฏิกิริยาของมันเองโดยขึ้นอยู่กับชนิดของสารอินทรีย์นั้นๆ ตัวอย่างเช่นในกรณีของสารประกอบฟินอลจะมีสารที่ไม่เสถียร (intermediate) นั่นก็คือ ควินอน (Quinones) ซึ่งเป็นสารที่ขัดขวางการเกิดปฏิกิริยา ดังนั้นจึงต้องเพิ่มปริมาณของไฮโดรเจนเปอร์ออกไซด์ด้วยปริมาณที่พอเหมาะจึงจะทำปฏิกิริยาดำเนินไปข้างหน้าได้มากขึ้นเพื่อให้เลี้ยงดูที่เกิดเป็นสารที่ไม่เสถียร ซึ่งเราจะพบได้ในการบำบัดเบื้องต้นของสารประกอบอินทรีย์ที่มีความซับซ้อนเพื่อช่วยลดความเป็นพิษ ถ้ามีการเพิ่มปริมาณไฮโดรเจนเปอร์ออกไซด์จะทำให้ค่า COD ลดลง ความเป็นพิษอาจจะลดลงได้น้อยหรือไม่มีการ

เปลี่ยนแปลงจนกระทั่งสิ้นสุดที่ความเข้มข้นของไฮโดรเจนเปอร์ออกไซด์ค่าหนึ่ง ซึ่งถ้าเติมไฮโดรเจนเปอร์ออกไซด์ลงไปอีกจะทำให้ความเป็นพิษลดลงอย่างรวดเร็ว

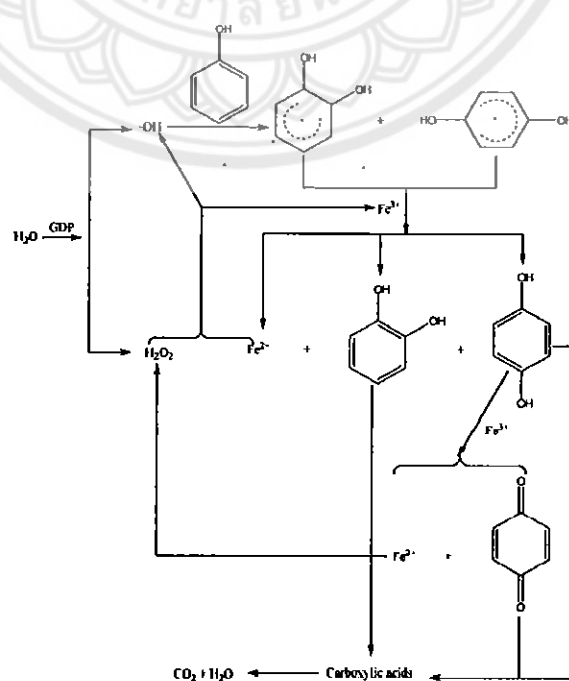
### 2.2.6 อิทธิพลของอุณหภูมิ

อัตราของการเกิดปฏิกิริยาของปฏิกิริยาเฟนตันเพิ่มขึ้นเมื่ออุณหภูมิเพิ่มขึ้นซึ่งจะเห็นได้ชัดเจน เมื่ออุณหภูมน้อยกว่า 20 °C แต่อย่างไรก็ตามอุณหภูมิที่เพิ่มสูงขึ้นมากกว่า 40 - 50 °C ประสิทธิภาพของไฮโดรเจนเปอร์ออกไซด์จะค่อยๆลดลง เนื่องจากจะมีการเร่งการสลายตัวของไฮโดรเจนเปอร์ออกไซด์ไปเป็นออกซิเจนและน้ำ ในกระบวนการจะใช้อุณหภูมิ 20 - 40 °C

### 2.2.7 หน้าที่ของไฮโดรเจนเปอร์ออกไซด์ในการลดค่า BOD และ COD

ไฮโดรเจนเปอร์ออกไซด์ถูกใช้ในการลดค่า BOD และ COD ในอุตสาหกรรมน้ำเสียมาหลายปีแล้ว เมื่อกำหนดค่าที่สามารถช่วยย่อยสลายสารประกอบที่เป็นพิษในน้ำเสียเบื้องต้นก่อนที่จะไปสู่กระบวนการย่อยสลายทางชีวภาพ เช่น ยาฆ่าแมลง สารย้อมสี เรซิน สารทำความสะอาดยีน ช่วยบำบัดน้ำเสียที่มีอัตราความเข้มข้นของน้ำเสียมากหรือน้อยในเบื้องต้น ช่วยกำจัดทางชีวภาพไม่สามารถทำได้ก่อนที่จะมีการปล่อยออกไประดับของสารอินทรีย์ ซึ่งใช้กระบวนการลอยหรือการตกตะกอน ช่วยทำให้การละลายของออกซิเจนเพิ่มขึ้น เมื่อมีการใช้ระบบบำบัดทางชีวภาพในขณะที่อุปกรณ์ให้ออกซิเจนไม่เพียงพอ หรือเกิดภาวะที่ปริมาณของน้ำเสียที่เข้ามานั้นมากเกิน ความสามารถของระบบจะรับได้

### 2.2.8 กระบวนการการย่อยสลายพีนอลโดยใช้ปฏิกิริยาเฟนตัน [6]



รูปที่ 2.2 เส้นทางกลไกของการย่อยสลายพีนอลโดยใช้ปฏิกิริยาเฟนตัน

## 2.3 กระบวนการออกซิเดชันขั้นสูง (Advance Oxidation Process)

กระบวนการออกซิเดชันขั้นสูง (Advance Oxidation Process: AOPs) เป็นกระบวนการทางเคมีวิธีการหนึ่งโดยอาศัยสารออกซิไดซ์ (oxidizing agent) ที่มีค่าศักย์รีดออกซ์สูง เช่น  $O_3/UV$ ,  $H_2O_2/UV$ ,  $O_3/UV$ ,  $H_2O_2/UV$ ,  $H_2O_2/Fe^{2+}$ ,  $TiO_2/UV$ , และ  $TiO_2/H_2O_2/UV$  กระบวนการออกซิเดชันขั้นสูงนี้มีประสิทธิภาพสูงสามารถกำจัดได้ทั้งสารอินทรีย์สารอนินทรีย์สารพิษโลหะหนักและสารที่ย่อยสลายยากโดยกระบวนการออกซิเดชันขั้นสูงมีหลักการคือเมื่อสารออกไซด์สัมผัสกับสารมลพิษในน้ำเสียจะมีการแลกเปลี่ยนอิเล็กตรอนวงนอกสุด (valence electron) สารออกซิไดซ์ซึ่งมีความสามารถในการรับอิเล็กตรอนสูงจะค่อยๆ ทำการแตกสลายพังสะเก็ด (break down) โดยสารอินทรีย์ที่มีโครงสร้างซับซ้อนจากพากพันระหว่างแหนบพันธุ์คุณภาพความซับซ้อนของโมเลกุลลงกลายเป็นสารอินทรีย์ที่ย่อยสลายง่ายขึ้น จึงส่งผลให้ปฏิกิริยาเกิดขึ้นอย่างสมบูรณ์จนสุดท้ายได้แก๊สคาร์บอนไดออกไซด์ออกซิเจนและน้ำโดยความสามารถในการออกซิไดซ์ขึ้นอยู่กับค่ารีดออกซ์

ปัจจุบันกระบวนการออกซิเดชันขั้นสูงเป็นกระบวนการหนึ่งซึ่งได้ความสนใจมากในขณะนี้ การกำจัดสารอินทรีย์ที่ปนเปื้อนในน้ำ โดยประเภทของกระบวนการ AOPs มีหลายประเภทอาทิเช่น กระบวนการ芬顿,  $Ozone/H_2O_2$ , Photocatalytic, sonication และ  $UV/H_2O_2$  เป็นต้นซึ่งแต่ละกระบวนการมุ่งสร้างสารอนุมูลอิสระคือไฮดรอกซิลเรดิคอล ( $\cdot OH$ ) ซึ่งเป็นสารออกซิไดซ์ที่รุนแรงและเกิดในช่วงเวลาสั้นๆ ปฏิกิริยาโดยทั่วไปในช่วงแรกจะเกี่ยวข้องกับความเข้มข้นของสารไฮดรอกซิลเรดิคอล ( $\cdot OH$ ) และความเข้มข้นของสารออกซิไดซ์โดยความเข้มข้นของสารไฮดรอกซิลเรดิคอลมีความเข้มข้นอยู่ระหว่าง  $10 - 12 M$  ในขณะที่อัตราการเกิดแต่ละช่วงคือ  $10^8 - 10^{11} M^{-1}s^{-1}$  หรือระหว่าง  $1$  และ  $10^{-4}s^{-1}$  รูปแบบของ pseudo-first order ที่ค่าคงที่  $k = 20$  [11]

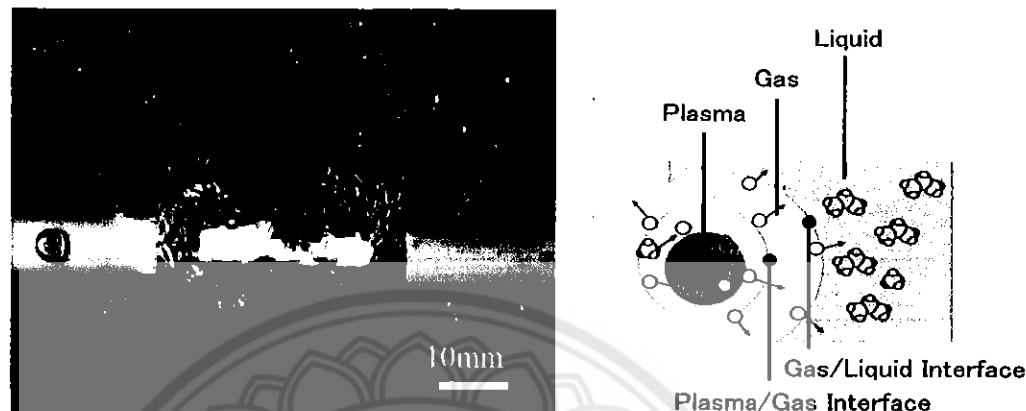
## 2.4 พลาสมาวัฏภากของเหลว (liquid phase plasma)

### 2.4.1 หลักการของพลาasmaวัฏภากของเหลว

พลาasmaวัฏภากของเหลว คือกระบวนการผลิตพลาasmaที่ล้อมรอบด้วยกันภากของเหลว โดยใช้ความต่างศักย์ของไฟฟ้ากระแสตุนให้เกิดหมู่ว่องไว (Free radical) ซึ่งหมู่ว่องไวที่เกิดขึ้นจะเข้าทำปฏิกิริยาได้เร็ว [12 - 14] ข้อดีของพลาasmaวัฏภากของเหลว คือสามารถใช้งานได้อย่างหลากหลายเนื่องจากสามารถเลือกชนิดของตัวทำลายและสารละลายที่ใช้ในการผลิตพลาasmaได้ ในปัจจุบันกระบวนการพลาasmaที่ได้รับความนิยมในการนำมาประยุกต์ใช้งานด้านต่างๆ อาทิ การสังเคราะห์อนุภาคนาโน การตัดแปลงพื้นผิวของโลหะและการบำบัดน้ำเสีย เป็นต้น [15]

รูปแบบการเกิดพลาasmaวัฏภากของเหลวจะแสดงไว้ในรูปที่ 2.3 โดยพลาasmaจะเกิดขึ้นที่ตำแหน่งตรงกลางระหว่างอิเล็กโทรดซึ่งถูกล้อมรอบด้วยก้าชและขงเหลว ส่งผลให้เกิดผิวสัมผัสระหว่างสถานะ 2 บริเวณ คือพลาasmaกับก้าชและก้าชกับของเหลว สถานะก้าชเกิดขึ้นเมื่อของเหลวที่อยู่ระหว่างข้ออิเล็กโทรดถูกกระตุนด้วยแรงดันไฟฟ้าสูง เมื่อถึงจุดที่สารเกิดการแตกตัวเป็นอนุภาครึ่อสถานะพลาasmaที่สามารถนำไฟฟ้าได้จะทำให้เกิดฟองก้าชขึ้นรอบๆ พลาasmaในขณะที่พลาasmaถูก

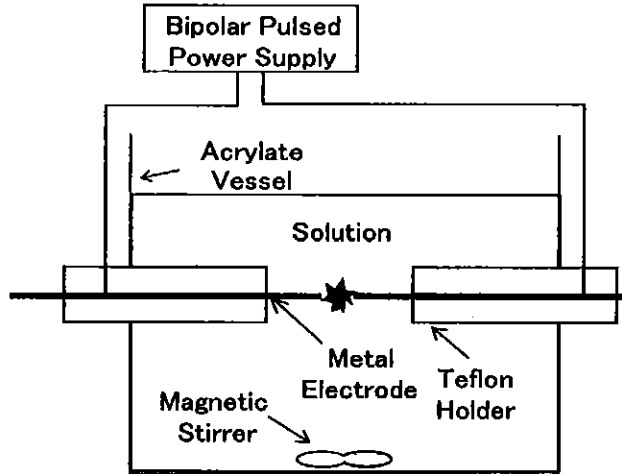
กระตุ้นด้วยแรงดันไฟฟ้าอย่างต่อเนื่องจะทำให้หมุ่งไวระหว่างข้ออิเล็กโทรดเพิ่มมากขึ้น เกิดการเคลื่อนตัวไปอยู่บริเวณของเหลวที่มีหมุ่งไว้อยกว่าโดยอาศัยหลักการถ่ายโอนมวล ดังนั้นสารที่อยู่ในวัสดุภาคของเหลวจะแพร่เข้ามาแทนที่และถูกกระตุ้นให้แตกตัวลายเป็นหมุ่งไวต่อไป จากหลักการดังกล่าวส่งผลให้หมุ่งไวภายในสารละลายเพิ่มขึ้นจึงเกิดปฏิกิริยาด้วย [15-17]



รูปที่ 2.3 ภาพถ่ายและแบบจำลองของพลาสมาวัสดุภาคของเหลว

#### 2.4.2 เครื่องกำเนิดพลาสมาวัสดุภาคของเหลว

พลาสมาวัสดุภาคของเหลวสามารถผลิตได้จากเครื่องกำเนิดพลาสมาดังแสดงในรูปที่ 2.4 โดยเครื่องกำเนิดพลาสมาจะประกอบด้วยองค์ประกอบสำคัญ 2 ส่วน คือ ส่วนแรกเป็นเพาเวอร์ซัพพลาย แรงดันและความถี่สูงระบบกระแสตรง ซึ่งเพาเวอร์ซัพพลายจะทำหน้าที่จ่ายกระแสไฟฟ้าแบบพัลส์ ให้กับระบบ โดยมีทิศทางการไหลของกระแสไฟฟ้าแบบสลับขั่วบวกและลบ (Bipolar pulsed) เนื่องจากแหล่งจ่ายไฟฟ้าโดยทั่วไปเป็นกระแสไฟฟ้าชนิดกระแสสลับ ดังนั้นจะต้องใช้อุปกรณ์ที่ติดตั้งไว้ในเพาเวอร์ซัพพลายที่มีหน้าที่ในการแปลงระบบไฟฟ้าจากกระแสสลับให้เป็นกระแสตรง ก่อนที่จะจ่ายกระแสไฟฟ้าไปยังถังปฏิกิริยพลาสมาเพื่อผลิตพลาสมาต่อไป สำหรับองค์ประกอบส่วนที่ 2 ถังปฏิกิริยพลาสมา โดยทั่วไปแล้วนิยมทำจากแก้วรูปทรงกระบอกที่มีเส้นผ่านศูนย์กลางประมาณ 5-10 เซนติเมตร ซึ่งทำแน่นงด้านข้างทั้ง 2 ด้านของถังปฏิกิริย์จะติดตั้งอิเล็กโทรดที่ทำจากวัสดุหงส์雷ten เหล็กและทองแดง เส้นผ่านศูนย์กลาง 1 มิลลิเมตร และระยะห่างระหว่างข้ออิเล็กโทรดประมาณ 0.2 มิลลิเมตร อิเล็กโทรดทั้งสองจะถูกหุ้มด้วยเซรามิก เพื่อป้องกันความร้อนและการลัดวงจรของกระแสไฟฟ้าที่อาจเกิดขึ้นระหว่างกระบวนการผลิตพลาสมาในการผลิตพลาสมาวัสดุภาคของเหลวจะเชื่อมต่อเพาเวอร์ซัพพลายเข้ากับอิเล็กโทรดทั้ง 2 ด้าน โดยใช้แรงดันและกระแสไฟฟ้าที่สูง โดยค่าแรงดันและความถี่ที่ใช้ในการผลิตพลาสมาจะขึ้นอยู่กับค่าการนำไฟฟ้า (Conductivity) ของสารละลายภายในเครื่องกำเนิดพลาสมา



รูปที่ 2.4 ໂຄหະແກຣມຂອງເຄື່ອງກຳນົດພລາສມາວັງການຂອງເຫລວ

ພລາສມາສາມາຮສ້າງໝູ່ວ່ອງໄວໃນເກົ່າທຳປັງກີກິຈຢາກກັບສາຮລາຍກາຍໃນເຄື່ອງປັງກີຣົນ ໂດຍໝູ່ວ່ອງໄວເກີດຂຶ້ນຈາກການໃຫ້ແຮງດັນແລະຄວາມຄືໄຟຟ້າທີ່ສູງແກ່ຂ້ອເລື້ອກໂທຣດ ສັງຜລໃຫ້ສາຮລາຍທີ່ຍູ້ຮ່ວ່າງຂ້ອເລື້ອກໂທຣດທໍາທັນເປັນສາຮຕ້ວນນໍາໄຟຟ້າ ເມື່ອໂມເລກຸລໄດ້ຮັບພລັງຈານຈາກກະແສໄຟຟ້າຈະແຕກ ຕັ້ງເປັນໄອອຸນທີສາມາຮນໍາໄຟຟ້າໄດ້ ໄອອຸນແລ່ນີ້ເຮັກວ່າ ໝູ່ວ່ອງໄວ ໝູ່ວ່ອງໄວທີ່ມັກເກີດຂຶ້ນຮ່ວ່າງ ກາຮທີ່ສາຮລາຍດ້ວຍພລາສມາ ເຊັ່ນ Hydroxyl radical ( $\text{OH}^{\cdot}$ ), Hydroperoxyl radical ( $\text{H}_2\text{O}_2^{\cdot}$ ) Free electron ( $e^-$ ), Superoxide anion( $\text{O}_2^-$ ) ແລະ Atomic oxygen radical anion ( $\text{O}^{\cdot}$ ) ເປັນດັນ [9] ນອກຈາກນີ້ນີ້ດອງຂ້ອເລື້ອກໂທຣດຍັງມີຜລຕ່ອຄວາມສາມາຮໃນການສ້າງໝູ່ວ່ອງໄວ ສຶ່ງແສງພລາສມາ ທີ່ເກີດຂຶ້ນຮ່ວ່າງຂ້ອເລື້ອກໂທຣດຈຶ່ງອູ່ກາຍໃນສາຮລາຍແສດງຖື່ນໍາຂຶ້ນຂອງໝູ່ວ່ອງໄວຊື່ງສາມາຮຕຽນ ວິເຄຣະທີ່ໄດ້ດ້ວຍ Optical Emission Spectrometer (OES) [15]

#### 2.4.3 ກາຮປະຍຸກທີ່ໃໝ່ພລາສມາວັງການຂອງເຫລວ

ໃນປັຈຸບັນພລາສມາວັງການຂອງເຫລວໄດ້ຮັບຄວາມນີ້ນຳມາໃໝ່ກັນຍ່າງແພ່ງໜ້າ ອາທີ ກາຮສັງເຄຣະທີ່ອນຸກາຄນາໃນ ກາຮປະບຸງພື້ນຜົວອອງວັດຖຸແລະກາຮບັດນໍາເສີຍ ເນື່ອຈາກເປັນກະບວນກາຮ ທີ່ສາມາຮດຳເນີນກາຮໄດ້ໃນສາງວິເຄຣະຄົນບໍຣຍາກາສ ແລະ ອຸນໜ່ວມທັງໝົດ ຈຶ່ງທີ່ໄຫ້ຕັນຫຼຸນທີ່ໃໝ່ໃນກະບວນ ກາຮພລາສມາວັງການຂອງເຫລວທໍາກວ່າເມື່ອປະລິບທີ່ພລາສມາວັງການແກ້ສ [15]

#### ກາຮສັງເຄຣະທີ່ອນຸກາຄທອງຂະດນາດໃນດ້ວຍກະບວນກາຮພລາສມາວັງການຂອງເຫລວ

ໃນກາຮສັງເຄຣະທີ່ອນຸກາຄທອງຂະດນາດໃນດ້ວຍພລາສມາຈະສັງເຄຣະທີ່ກາຍໄທສາຮລາຍ  $\text{HAuCl}_4$  ຈຶ່ງເປັນສາຮລາຍທີ່ມີຕັ້ງທຳລະລາຍເປັນນໍາ (Aqueous solution) ແລະ ໄນໃໝ່ນໍາ (Nonaqueous solution) ໃນຮບບປັດ ໃນກະບວນກາຮສັງເຄຣະທີ່ຈະຕິດຕັ້ງຮບບພລາສມາແຮງດັນ 2.5 kV ຄວາມຄື 60 Hz ແລະ Pulse width 2  $\mu\text{s}$  ຈາກກາຮສັງເຄຣະທີ່ວ່າ ອນຸກາຄນາໃນທີ່ໄດ້ຈາກກາຮສັງເຄຣະທີ່ດ້ວຍພລາສມາວັງການຂອງເຫລວໂດຍໃໝ່ສາຮລາຍ  $\text{HAuCl}_4$  ຄວາມເຂັ້ມຂັ້ນ 0.60 ມີລີໂມໂລຣ ມີເສັ້ນຜ່ານຄຸນຍົກລາງເລື້ອຍສູງສຸດ  $10.5 \pm 3.6$  ນາໂນເມຕຣ ຈາກກາຮສັງເຄຣະທີ່ດ້ວຍເຕັກນິກ Energy dispersive x-ray analyzer (EDX) ແລະ Infrared Spectroscopy (IR) ພບວ່າອນຸກາຄນາໃນມົອງຄປະກອບຂອງທອງແລະຄ່າກາຮ ດູດກັນຄື່ນແສງສູງສຸດທີ່ຄວາມຍາວຄື່ນ 540 ນາໂນເມຕຣ ໂດຍຄວາມເຂັ້ມຂັ້ນພົກຈະສູງຂັ້ນຕາມເວລາໃນກາຮ ດິສັງຈັກ (Discharge time) ນອກຈາກນັ້ນພລາສມາວັງການຂອງເຫລວຍັງສາມາຮສັງເຄຣະທີ່ອນຸກາຄນາໃນ

ที่เป็นทองให้มีรูปร่างแบบเรขาคณิตที่แตกต่างกันได้ อาทิ สามเหลี่ยม ห้าเหลี่ยมและหกเหลี่ยม โดยใช้สารละลายที่มีตัวทำละลายเป็นน้ำ ดังนั้นการสังเคราะห์อนุภาคนาโนด้วยวิธีพลาสมาวัสดุภาคของเหลว จึงง่ายต่อการควบคุมรูปร่างของอนุภาคนาโนในรูปแบบต่างๆได้ [15]

### การปรับปรุงพื้นผิวของโลหะด้วยกระบวนการพลาสมาวัสดุภาคของเหลว

ในการปรับปรุงพื้นผิวของโลหะด้วยพลาสม่าจะใช้อะลูมิเนียมเป็นข้าวแອโนดและข้าวแคโทด เป็น สแตนเลสสตีล สารละลายที่ใช้มีค่าความเป็นกรดด่างอยู่ระหว่าง 8 และ 12 จากการศึกษาผล ของค่ากระแสไฟฟ้าและความต่างศักย์ที่มีต่อการปรับปรุงพื้นผิวโลหะพบว่าช่วงที่ให้ค่าความต่างศักย์ ต่ำ 0 ถึง 150V ไม่พบรการเปลี่ยนแปลงบนพื้นผิวของข้าวแອโนดและแคโทด หากการเพิ่มค่าความต่าง ศักย์มากขึ้น จะสังเกตเห็นพองอากาศเกิดขึ้นบนพื้นผิว เมื่อให้ค่าความต่างศักย์มากกว่า 175 V พบร่วมกับพื้นผิวของข้าวแອโนดเริ่มมีการเปลี่ยนแปลง นอกจากนั้นยังพบว่าค่าความต่างศักย์ที่ใช้ใน กระบวนการพลาสม่าจะขึ้นอยู่กับความเข้มข้นและชนิดของสารละลายอิเล็กโทรไลต์ หากผล การศึกษาสัณฐานพื้นผิวด้วยเทคนิค SEM ของพื้นผิวโลหะ พบร่วมกับพื้นผิวขั้นตอนของอะลูมิเนียม มี รูพรุนสูง ส่งผลให้ความแข็งแรงต่ำ ในขณะที่พื้นผิวขั้นตอนของอะลูมิเนียมจะมีความหนาแน่นของเนื้อ โลหะสูงกว่าขั้นตอนก่อนและความแข็งแรงมากกว่า ทั้งนี้เนื่องจากพื้นผิวขั้นตอนของอะลูมิเนียมสัมผัสกับ พลาสม่าได้มากกว่าพื้นผิวขั้นใน ทำให้พื้นผิวมีการเปลี่ยนแปลงมากกว่า [15]

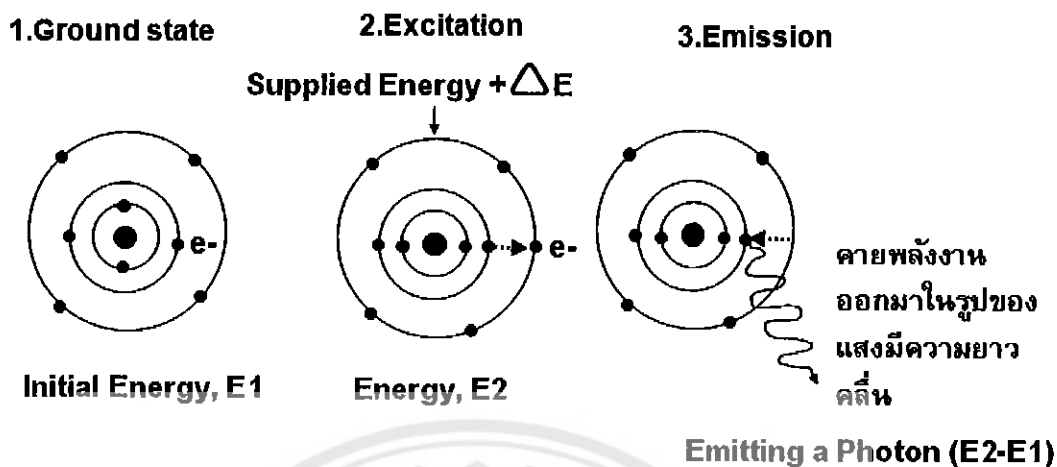
### การบำบัดน้ำเสียด้วยกระบวนการพลาสมาวัสดุภาคของเหลว

การบำบัดน้ำเสียด้วยพลาสม่าจะใช้ค่าความต่างศักย์ 800 V เวลาที่ใช้ในการเปิดปิดพัล 40 วินาที และสารละลายอิเล็กโทรไลต์ที่เหมาะสมในการบำบัดน้ำเสียด้วยพลาสม่า คือ สารละลาย  $\text{Na}_2\text{SO}_4$  และ  $\text{CH}_3\text{COONa}$  จากการทดลองกับน้ำที่มีแบคทีเรีย E. coli NC 41Q0 (แบคทีเรียแกรม ลบ) และ Staphylococcus aureus (แบคทีเรียแกรมบวก) พบร่วมกับการบำบัดน้ำเสียด้วยพลาสม่าที่ เวลาสูงสุด 30 วินาที แบคทีเรียที่อยู่ในสารละลายตายทั้งหมด และแสดงให้เห็นว่าพลาสมาระบบที่สามารถ แบคทีเรียได้ [15]

## 2.5 Optical Emission Spectrometer

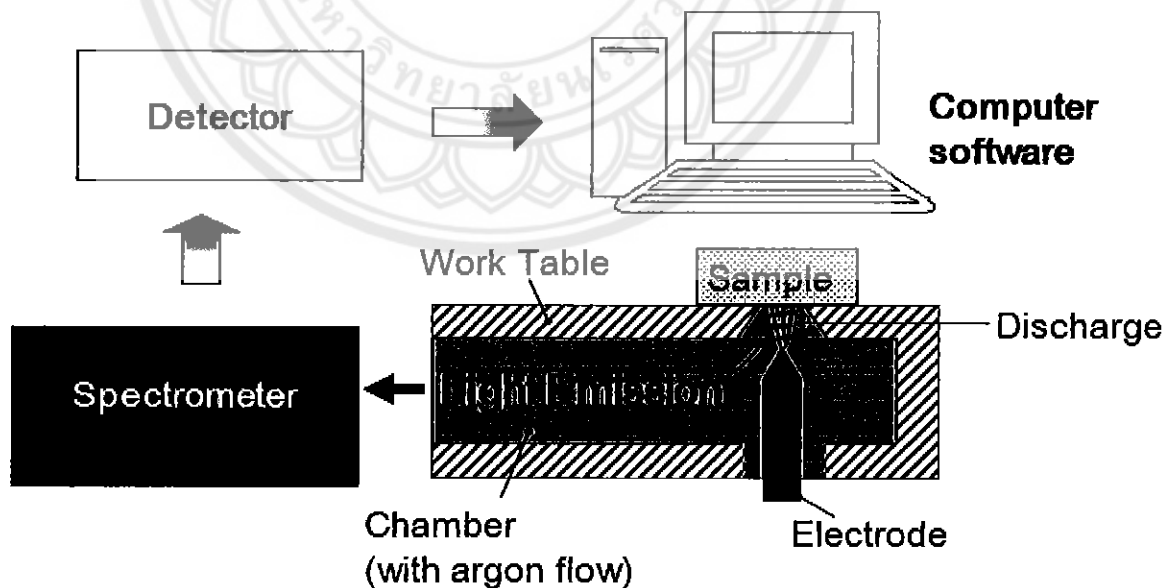
Optical Emission Spectrometer หรือ OES เป็นเทคนิคการหานิดและปริมาณของธาตุ โดยใช้หลักการของการกำเนิดรังสี X-ray โดยที่จะเป็นการวิเคราะห์พลังงานของ X-ray ที่ได้จากผิว ของชิ้นงาน ซึ่งในการวิเคราะห์แต่ละครั้งสามารถวิเคราะห์ได้หลายธาตุภายในเวลา 1 - 2 นาที และ วิเคราะห์โดยเมื่อข้าวไฟฟ้าได้รับพลังงานไฟฟ้าจะให้กำเนิดอิเล็กตรอนด้วยกำลังประมาณ 800 - 1,000V และผลกระทบผิวชิ้นงาน ผ่านบรรยากาศของแก๊สอาร์กอน ซึ่งอิเล็กตรอนในอัตราของ ชิ้นงานที่มีระดับพลังงานต่ำสุด เรียกว่า ground state จะถูกกระตุ้นให้มีระดับพลังงานสูงขึ้น Excited state ซึ่งอัตราที่อยู่ในสภาวะนี้จะไม่เสถียร จึงพยายามลดพลังงานลงมาโดยการปลดปล่อย พลังงานส่วนเกินออกมาในรูปของแสง (Light Emission) หรือคลื่นแม่เหล็กไฟฟ้า ที่มีความยาวคลื่น เฉพาะตัว

## Emission of atom



รูปที่ 2.5 รูปแสดงการเปลี่ยนแปลงพลังงานของอะตอม

แสงที่เกิดขึ้นจะถูกส่งผ่านไปยังระบบแยกความยาวคลื่นแสงซึ่งเรียกว่า Spectrometer ซึ่งมีลักษณะเป็นเลนส์นูน และปริซึมสามารถเปลี่ยม เพื่อให้เกิดการหักเหของแสงเป็น Spectrum จากนั้นแสงที่ถูกแยกความยาวคลื่นแล้วจะถูกส่งไปยัง Detector เพื่อเปลี่ยนความเข้มแสงให้เป็นสัญญาณไฟฟ้า และระบบวิเคราะห์สัญญาณไฟฟ้าให้เป็นความเข้มข้นของธาตุ โดยเปรียบเทียบกับสัญญาณของมาตรฐานที่เราทราบความเข้มข้นที่ได้จากการวิเคราะห์และบันทึกไว้

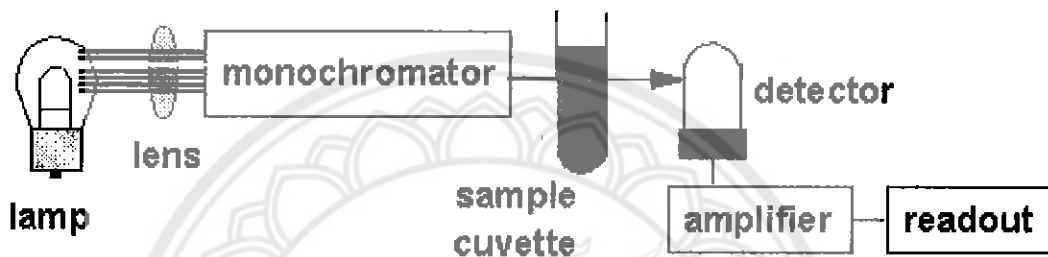


รูปที่ 2.6 แผนผังแสดงการทำงานของ Optical Emission Spectrometer

## 2.6 UV-VIS Spectrophotometer

### 2.6.1 หลักการของเครื่อง UV-VIS Spectrophotometer

UV-VIS Spectrophotometer เป็นเครื่องมือที่ใช้ในการตรวจวัดปริมาณแสงและค่า intensity ในช่วงรังสีวิว์และช่วงแสงขาวที่หล่อผ่านหรือถูกดูดกลืนโดยตัวอย่างที่วางอยู่ในเครื่องมือ โดยที่ความยาวคลื่นแสงจะมีความสัมพันธ์กับปริมาณและชนิดของสารที่อยู่ในตัวอย่าง ซึ่งส่วนใหญ่จะเป็นสารอินทรีย์ สารประกอบเชิงซ้อนและสารอนินทรีย์ที่สามารถดูดกลืนแสงในช่วงความยาวคลื่นเหล่านี้ได้



รูปที่ 2.7 รูปแสดงหลักการทำงานของเครื่อง UV-VIS Spectrophotometer

คุณสมบัติในการดูดกลืนแสงของสารเมื่อโมเลกุลของตัวอย่างถูกฉายด้วยแสงที่มีพลังงานเหมาะสมจะทำให้อิเล็กตรอนภายในอะตอมเกิดการดูดกลืนแสงแล้วเปลี่ยนสถานะไปอยู่ในชั้นที่มีระดับพลังงานสูงกว่า เมื่อทำการวัดปริมาณของแสงที่ผ่านหรือสะท้อนมาจากตัวอย่างเทียบกับแสงจากแหล่งกำเนิดที่ความยาวคลื่นค่าต่างๆตามกฎของ Beer-Lambert ค่าการดูดกลืนแสง (absorbance) ของสารจะแปรผันกับจำนวนโมเลกุลที่มีการดูดกลืนแสง ดังนั้นจึงสามารถใช้เทคนิคนี้ในระบุชนิดและปริมาณของสารต่างๆที่มีอยู่ในตัวอย่างได้

### 2.6.2 ส่วนประกอบของเครื่อง UV-VIS Spectrophotometer

#### 2.6.2.1 แหล่งกำเนิดแสง

แหล่งกำเนิดแสงในเครื่องสเปกโตรโฟโตเมตริกเตอร์จะต้องให้รังสีในช่วงความยาวคลื่นที่ต้องการอย่างต่อเนื่องและคงที่ตลอดเวลา รวมทั้งมีความเข้มแสงที่มากพอตัว หลอดกำเนิดแสง มีหลายชนิดตามความยาวคลื่นแสงที่เปลี่ยนอุอกมา ซึ่งต้องเลือกใช้ให้ถูกต้องเหมาะสมกับของเหลวที่นำมาวัดค่าดูดกลืนแสง

ตัวอย่างแหล่งกำเนิดแสงช่วง UV ใช้หลอด H<sub>2</sub> และ D<sub>2</sub> lamp ให้ความยาวคลื่นอยู่ในช่วง 160-380 นาโนเมตร ชนิดของสเปกโตรสโคป UV molecular absorption และช่วง visible ใช้หลอด Tungsten/halogen ให้ความยาวคลื่นในช่วง 240-2,500 นาโนเมตร ชนิดของสเปกโตรสโคปเป็นแบบ UV/visible/near-IR molecular absorption

### 2.6.2.2 Monochromator

ส่วนประกอบนี้เป็นส่วนที่ใช้ควบคุมแสงโดยจะทำให้แสงที่ออกมายจากต้นกำเนิดแสง ซึ่งเป็นพอลิโครเมติก ให้เป็นแสงไมโนโครเมติก ซึ่งเป็นแบบแสงแคบๆ หรือมีความยาวคลื่นเดียวใช้ พิลเตอร์ (กระจกสี) ปริจิม (prism) หรือ เกรตติ้ง (grating)

### 2.6.2.3 เซลล์ที่ใช้บรรจุสารละลายตัวอย่าง

เซลล์ที่ใส่สารตัวอย่าง (cell sample) บางครั้งอาจเรียกว่า คิวเวท์ (cuvette) รูปแบบที่ใช้กันทั่วไปได้แก่เซลล์ที่ทำด้วยแก้วธรรมชาติ จะใช้ได้เฉพาะช่วงวิสิเบิล เพราะเนื้อแก้ว ธรรมชาติถูกดูดกลืนแสงในช่วงยูวีได้ และเซลล์ที่ทำด้วยซิลิเกา และควอตซ์ (quartz) ใช้ได้ทั้งช่วงยูวี และวิสิเบิล

### 2.6.2.4 Detector

ทำหน้าที่ในการวัดความเข้มของรังสีที่ถูกดูดกลืนโดยการแปลงพลังงานคลื่นรังสีเป็น พลังงานไฟฟ้าเครื่องตรวจจับสัญญาณที่ต้องมีสภาพไวสูง คือแม่บริมามแสengจะเปลี่ยนไปเล็กน้อย ก็ สามารถตรวจจับสัญญาณความแตกต่างได้ เครื่องวัดแสงที่ยังนิยมกันอยู่ในปัจจุบัน คือ หลอดไฟโตมัส ติพลายเออร์ (photomultiplier tube, PMT) และเครื่องวัดแสงชนิดซิลิกอนไดโอด (silicon diode detector)

## 2.7 High Performance Liquid Chromatography (HPLC)

HPLC เป็นเทคนิคแยกสารผสมแบบใช้เครื่องสูบแรงดันสูง (High Pressure Pump) สูบตัว ทำละลายซึ่งทำหน้าที่เป็นเฟสเคลื่อนที่ (Mobile Phase) พาสารตัวอย่างที่ถูกฉีดเข้าทางช่องฉีดสาร (Injector) ผ่านอนุภาคที่เป็นเฟสอยู่กับที่ซึ่งบรรจุอยู่ในคอลัมน์ สารผสมตัวอย่างจะเคลื่อนที่ผ่าน คอลัมน์และถูกแยกออกมานะ ผ่านเข้าสู่เครื่องตรวจวัด (Detector) ในเวลาที่ต่างกัน สัญญาณที่รับได้จะ อยู่ในรูปสัญญาณไฟฟ้าตามเวลาและปริมาณของสารแต่ละตัวที่ตรวจวัดได้ จากนั้นสัญญาณจะถูก ส่งไปยังเครื่องบันทึกสัญญาณเพื่อแสดงผลออกมารูปโครมาโทแกรม (Chromatogram) [18]

### 2.7.1 หลักการทำงานของเครื่อง HPLC

HPLC เป็นเทคนิคการแยกสารประกอบโดยอาศัยหลักการความแตกต่างของอัตราการ เคลื่อนที่ของสารประกอบใน Stationary Phase ของคอลัมน์มี Mobile Phase เป็นตัวพาไป เมื่อต่อ เข้ากับ Detector จะสามารถตรวจวัดสารที่ออกมายจากคอลัมน์ได้อย่างต่อเนื่อง สามารถวัดทั้งเชิง คุณภาพและเชิงปริมาณ ส่วนใหญ่นิยมใช้เคราะห์สารประกอบที่ระเหยยาก หรือมีน้ำหนักโมเลกุลสูง

### 2.7.2 ลักษณะตัวอย่างที่นำมาวิเคราะห์

HPLC สามารถวิเคราะห์สารได้หลายชนิด เช่น สารอินทรีย์ สารประกอบทางชีวภาพ โพลีเมอร์ คุํอ่อนทิโอมេอร์ สารประกอบที่เสียสภาพได้ง่าย ไออ่อนขนาดเล็ก สารประกอบที่ระเหยยาก ไม่โครงไม่เลกต ตัวอย่างที่นำมาวิเคราะห์ต้องเป็นของแข็งหรือของเหลว ต้องละลายได้ 100% การแยกสารจะประสบความสำเร็จได้ก็ต่อเมื่อสารมีอัตราการเคลื่อนที่ที่แตกต่างกันภายในคอลัมน์ สารประกอบที่ถูกแยกนั้นจะเคลื่อนที่ไปตามความยาวทั้งหมดของคอลัมน์โดยมี Mobile Phase เป็นตัวพาไป

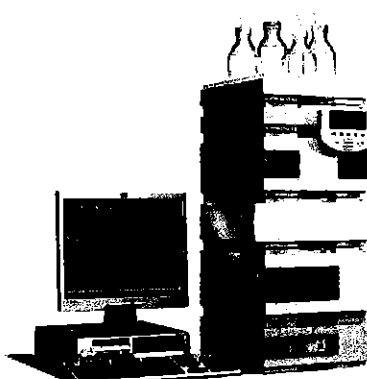
### 2.7.3 การใช้ HPLC ในการวิเคราะห์เชิงคุณภาพและปริมาณ

การวิเคราะห์เชิงคุณภาพ (Qualitative analysis) ตรวจสอบเอกลักษณ์ของสารที่แยกออกมากได้ ทำโดยการเปรียบเทียบค่า Retention time (RT) กับสารมาตรฐาน โดยสารตัวอย่างและสารมาตรฐานจะต้องทำการวิเคราะห์ในสภาวะเดียวกัน เช่น อุณหภูมิ ชนิดของคอลัมน์ ชนิดและอัตราการไหลของเฟสเคลื่อนที่ ถ้าสารตัวอย่างและสารมาตรฐานมีค่า RT เท่ากัน เป็นสารเดียวกัน วิเคราะห์เพิ่มเติมโดยเปลี่ยนชนิดของคอลัมน์หรือชนิดของเฟสเคลื่อนที่

การวิเคราะห์เชิงปริมาณ (Quantitative analysis) หลังจาก HPLC แยกสารออกมาเป็นพีคต่างๆ สามารถตัดปริมาณของสารในแต่ละพีค ได้โดย

1. วัดความสูงของพีค (Peak height) เพียงกับความสูงของพีคของสารมาตรฐานที่ทราบปริมาณ
2. วัดพื้นที่พีค (Peach area) เพียงกับพื้นที่ของสารมาตรฐานที่ทราบปริมาณที่ฉีดเข้าไป

### 2.7.4 องค์ประกอบของเครื่อง HPLC



รูปที่ 2.8 องค์ประกอบของเครื่อง HPLC [19]

#### **2.7.4.1 ภาชนะบรรจุเฟสเคลื่อนที่ (Mobile Phase Reservoir)**

Solvent เป็นตัวแปรที่มีความสำคัญมากในการแยกสารตัวอย่างออกเป็นองค์ประกอบย่อย Solvent ที่ใช้เป็น Mobile Phase ได้แก่ Organic Solvent รวมทั้ง Aqueous Solution ของเกลือชนิดต่างๆ คุณสมบัติที่สำคัญบางประการของ Mobile Phase ที่ใช้ใน HPLC ได้แก่

1. ไม่ทำปฏิกิริยา กับ Column หรือ Paching Material ซึ่งจะทำให้คุณสมบัติในการแยกสารผิด
2. สามารถละลายสารตัวอย่างได้
3. ปราศจาก Particulate (ทำให้เกิดการอุดตันใน Column เป็นการเพิ่มความดันในระบบ) และ Dissolved Gas Solvent และสารละลายตัวอย่างทุกชนิดก่อนการวิเคราะห์โดยใช้ HPLC ควรกรองผ่านกระดาษกรองที่มีรูพรุนขนาด  $0.45 - 0.5$  ไมครอน, Centrifuge เพื่อกำจัดก้าชซึ่งละลายในสารละลายทั้งหมดซึ่งอาจทำได้โดยใช้ Ultrasonic Bath
4. บริสุทธิ์ปราศจากสิ่งเจือปนซึ่งรวมถึงพวง Preservative และ Stabilizer ต่างๆ สำหรับน้ำกลั่นจะต้องปราศจากสารอินทรีย์และแบคทีเรียต่างๆ
5. เหมาะสมกับชนิดของ Detector ที่ใช้

#### **2.7.4.2 Degassed Unit Online**

ทำหน้าที่กำจัดฟองอากาศ อากาศที่มีอยู่ใน Mobile Phase เพื่อไม่ให้ฟองอากาศเข้าสู่ Column และ Detector

#### **2.7.4.3 Pump**

ทำหน้าที่สูบ Mobile Phase เพื่อส่งเข้าสู่ Column ในอัตราเร็วที่เราเลือก ความดันของระบบจะขึ้นอยู่กับอัตราการเคลื่อนที่ของ Mobile Phase (ถ้าความเร็วสูงจะทำให้เกิดความดันสูง) นอกจากนี้ยังขึ้นอยู่กับ Viscosity ของ Mobile Phase ขนาดของ Packing Material และความยาวของ Column อีกด้วย โดยปกติความดันที่ใช้มักไม่เกิด  $4000 \text{ psi}$

#### **2.7.4.4 Auto Injector (เครื่องฉีดตัวอย่างอัตโนมัติ)**

ทำหน้าที่ฉีดสารตัวอย่างเข้าสู่ Column

#### **2.7.4.5 Detector**

เป็นเครื่องตรวจวัดสัญญาณสำหรับ HPLC เครื่องตรวจวัดที่นิยมใช้ได้แก่

1. UV-Detector สารที่จะวิเคราะห์ต้องสามารถดูดกลืนแสง UV ได้ เมื่อต้องการใช้ UV-Detector อาจเตรียม derivative ของสารประกอบที่วิเคราะห์เพื่อให้ได้สารซึ่งดูดกลืนคลื่นแสง UV
2. RI Detector จะใช้เมื่อต้องการเปรียบเทียบความแตกต่างของ Refractive Index ของสารตัวอย่างและสาร Reference
3. Fluorescence Detector ใช้ได้กับสารที่เมื่อดูดกลืนคลื่นแสง UV จากแหล่งแสงใน Detector และสามารถเปลี่ยน Fluorescence ได้

#### 2.7.4.6 Column Oven

1. เป็นเครื่องที่สามารถควบคุมการทำงานด้วยระบบคอมพิวเตอร์
2. ตัวเครื่องควบคุมการทำงานด้วยระบบ Microprocessor โดยมีแป้นป้อนข้อมูลอยู่บริเวณหน้าเครื่องและมีจอแสดงผลเพื่อแสดงสถานะการทำงานของเครื่อง
3. สามารถติดตั้ง Injector ได้ไม่น้อยกว่า 2 ชุด
4. สามารถติดตั้ง Detectors ได้ไม่น้อยกว่า 2 ชุด
5. สามารถตั้งอุณหภูมิของ Column Oven ได้ตั้งแต่ 4 องศาเซลเซียส เห็น/o อุณหภูมิห้องหรือน้อยกว่าจนถึง 450 องศาเซลเซียส หรือมากกว่า
6. สามารถเพิ่มอุณหภูมิได้ไม่น้อยกว่า 100 องศาเซลเซียส/นาที
7. สามารถตั้งโปรแกรมการปรับอุณหภูมิได้ไม่น้อยกว่า 6 ระดับ

#### 2.7.4.7 Data Processing

โปรแกรมควบคุมการทำงาน สามารถควบคุมการทำงานของเครื่อง GC และ Column Oven ส่วนผู้ดูแล สำรวจดูเครื่องนี้ได้ รวมทั้งรับข้อมูล ประมวลผลและบันทึกผลพิมพ์รายงานผลการวิเคราะห์จากเครื่องได้

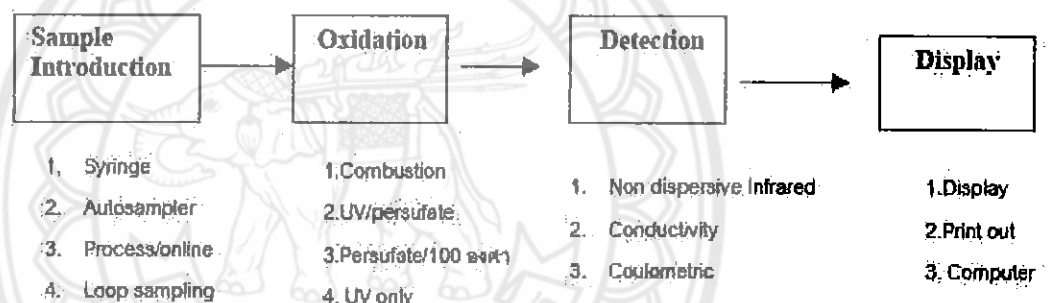
### 2.8 การวิเคราะห์ Total Organic Carbon ( TOC )

TOC (Total Organic Carbon) หมายถึง ปริมาณคาร์บอนทั้งหมดที่ประกอบอยู่ในสารอินทรีย์ สามารถหาปริมาณคาร์บอนประเภทนี้ในรูปของก๊าซcarbon dioxide

TIC (Total Inorganic Carbon) หมายถึง ปริมาณคาร์บอนทั้งหมดที่ประกอบอยู่ในสารอินทรีย์ สามารถหาปริมาณคาร์บอนประเภทนี้ในรูปของก๊าซcarbon dioxide ได้ เช่น ก๊าซcarbon dioxide ในธรรมชาติจะมีอยู่ด้วยกัน 2 สถานะ คือ อยู่ในรูปสารประกอบอินทรีย์ และ สารอินทรีย์ โดยทั่วไป คาร์บอนรูปสารประกอบอินทรีย์ จะเป็นคาร์บอนที่พบในผลิตภัณฑ์ธรรมชาติ หรือได้จากการย่อย

ถลวยของสารอินทรีย์ หรือได้จากการสังเคราะห์ของนูนิย์ ส่วนการบอนในรูปของสารอินทรีย์ที่พบอยู่ในน้ำจะอยู่ในรูปของ  $\text{CO}_3^{2-}/\text{HCO}_3^-$  และเมื่อ  $\text{CO}_2$  อยู่ในสภาพแวดล้อม  $\text{CO}_2$  จะสามารถละลายได้เครื่องมือที่ใช้ในการวิเคราะห์ ทำปริมาณการบอนในสารอินทรีย์ในตัวอย่างน้ำหรือท่ออยู่ในรูปของแข็ง มีองค์ประกอบหลักด้วยกันดังต่อไปนี้

1. Sampling introduction คือ ส่วนนำสารตัวอย่างเข้าไปในระบบการวิเคราะห์ ได้แก่ Loop sampling, Syringe, Autosampler เป็นต้น
2. Reaction คือส่วนของการทำปฏิกิริยาเคมีเพื่อให้เกิดก๊าซ  $\text{CO}_2$  หลังจากนั้นทำการวัด  $\text{CO}_2$  ที่เกิดขึ้นปฏิกิริยาเคมีที่เกิดขึ้นแบ่งได้ 2 แบบคือ ปฏิกิริยา Wet Oxidation และปฏิกิริยา Combustion
3. Detection หรือ Detector คือส่วนที่วัดค่า  $\text{CO}_2$  ที่เกิดขึ้นหลังจากการทำปฏิกิริยา หรือ อ่านค่า ของความเป็นกรดที่เกิดขึ้นซึ่งมี Detector ให้เลือกหลายแบบ เช่น Detector แบบ NDIR (Non dispersive Infrared) ใช้วัด  $\text{CO}_2$  หรือ Columetric ใช้วัดค่าความเป็นกรด เป็นต้น
4. Display คือส่วนรายงานผลของข้อมูลการวิเคราะห์ซึ่งสามารถรายงานอยู่ในรูปของรายงานต่างๆ เช่น เป็นข้อมูลต่างๆ เป็นกราฟได้เป็นต้นหรือบันทึกข้อมูลต่างๆ



รูปที่ 2.9 รูปแบบเครื่องมือของเครื่องวิเคราะห์ TOC

## 2.9 การสำรวจการทำงานวิจัย

ในปี ค.ศ. 2009 L. Wang และ X. Jiang [6] ได้ศึกษาผลของเกลือของเหล็กในการย่อยสลายฟืนอลด้วยเทคนิค glow discharge plasma จากการศึกษาพบว่า  $\text{Fe}^{3+}$  ให้ผลของตัวเร่งปฏิกิริยาที่ดีกว่า  $\text{Fe}^{2+}$  เนื่องจากในการย่อยสลายฟืนอลด้วยเทคนิค Glow Discharge Plasma จะสร้างหมู่ร่วงไวไฮดรอกซิลและไฮดรอกซีเจนเปอร์ออกไซด์พร้อมกัน จนนั้นหมู่ร่วงไวไฮดรอกซิลที่เกิดขึ้นจะทำปฏิกิริยากับฟืนอล ก็จะเกิดเป็นหมู่ร่วงไว dihydroxycyclohexadienyl ซึ่งเมื่อทำปฏิกิริยากับ  $\text{Fe}^{3+}$  จะเกิดเป็น  $\text{Fe}^{2+}$  และ  $\text{Fe}^{2+}$  จะสามารถทำปฏิกิริยากับไฮดรอกซีเจนเปอร์ออกไซด์เกิดเป็นอนุมูล ไฮดรอกซิลซึ่งหมู่ร่วงไว dihydroxycyclohexadienyl จะทำปฏิกิริยากับ  $\text{Fe}^{2+}$  และเกิดเป็นอนุมูล ไฮดรอกซิลโดยตรง ซึ่งเห็นได้ว่า  $\text{Fe}^{3+}$  นั้นเป็นตัวเร่งปฏิกิริยาที่ดีกว่า  $\text{Fe}^{2+}$  ในการย่อยสลายฟืนอลและปริมาณของเกลือของเหล็กส่งผลต่อการย่อยสลายฟืนอล ซึ่งปริมาณเกลือของเหล็กที่น้อยกว่าจะส่งผลให้อัตรา

การย่อยสลายฟีนอลได้สูง เนื่องจากปริมาณของเกลือของเหล็กที่มากเกินไปรวมตัวกับ OH<sup>-</sup> ทำให้ โอกาสการจับตัวของหมู่ว่องไว้ไตรอกซิลกับฟีนอลน้อยลง

ในปี ค.ศ. 1997 C. Jian และคณะ [20] ได้ศึกษาการกำจัดฟีนอล และลดค่า COD ในน้ำเสีย ของโรงงานอุตสาหกรรมด้วยโพโตเคมี ( Photochemical ) ซึ่งเป็นการใช้ร่วมกับแสงอุตตราไวโอเลต ไออกไซเดนเบอร์ออกไซด์และสารประกอบเพอร์อิก จากการศึกษาพบว่า สามารถลดค่า COD ของน้ำเสีย ได้ประมาณ 60 – 70 % ในเวลา 1 – 4 ชั่วโมง แต่จะขึ้นอยู่กับชนิดของน้ำเสียด้วย โดยใช้ตัวเร่ง ปฏิกิริยาที่ต่างกัน เช่น แสงอุตตราไวโอเลต เหล็กออกไซด์ อลูมิเนียมออกไซด์ ไออกไซเดนเบอร์ออกไซด์ เพื่อใช้ในการสลายฟีนอลในสารละลาย นอกจากนี้ยังพบว่าแคลเซียมออกไซด์ สามารถช่วยในการ กำจัดฟีนอล โดยที่แคลเซียมออกไซด์จะช่วยขัดขวางการลดลงของค่า pH เมื่อจากแคลเซียมออกไซด์ จะละลายอย่างต่อเนื่องในระหว่างทำเป็นปฏิกิริยา

ในปี ค.ศ. 2000 K.Y. Whan และ H. Kyung-Yub [21] ได้ศึกษาถึงประสิทธิภาพการ เกิดปฏิกิริยาออกซิเดชันของเหล่าน้ำใต้ดินจากแหล่งที่ขึ้นดินของเมืองคิมโป ประเทศเกาหลี จากการ วิเคราะห์ปริมาณสารอินทรีย์ที่ถูกกำจัดโดยการออกซิเดชัน และการทดสอบโดยสารเคมีเฟนตัน (Fenton's reagent) พบว่า การลดลงของค่า COD โดยการทดสอบจะเพิ่มขึ้นเมื่อเพิ่มปริมาณ เพอร์อีดิลเพต อย่างไรก็ตามค่า COD จะไม่มีการเปลี่ยนแปลง เมื่อปริมาณเพอร์อีดิลเพตมีค่าสูงกว่า 500 mg/L นอกจากนี้ยังพบว่า H<sub>2</sub>O<sub>2</sub> จะเสื่อมในช่วง pH 3-4 แต่อัตราการแตกตัวจะเพิ่มขึ้นอย่าง รวดเร็วเมื่อ pH มากกว่า 5 ดังนั้นช่วงของ pH ที่เหมาะสมสำหรับการลดค่า COD โดยใช้วิธีการทำให้ เกิดการรวมตัวกันจะอยู่ในช่วง pH 3-6 และพบว่าไออกไซเดนเบอร์ออกไซด์สามารถออกซิเดชัน ไออกไซด์เป็นไอออนในเตรทได้อย่างสมบูรณ์เมื่อเปรียบเทียบกับออกซิเจน เนื่องจากไออกไซเดนเบอร์ ออกไซด์มีความสามารถในการออกซิเดชันมากกว่าออกซิเจน

ในปี ค.ศ. 2001 M.Y. Ghaly และคณะ [22] ได้ศึกษาการใช้กระบวนการโพโตออกซิเดชัน ขั้นสูง (Photochemical Advanced Oxidation Processes,AOPs) และ PhotoFenton reaction เพื่อย่อยสลาย  $\rho$ -Chlorophenol พบว่า Photo-Fenton reaction ซึ่งใช้ Fe<sup>2+</sup> และ Fe<sup>3+</sup> เป็นตัวเร่ง ปฏิกิริยา เพื่อทำปฏิกิริยากับ H<sub>2</sub>O<sub>2</sub> พบว่ากระบวนการดังกล่าวเป็นการบำบัดที่มีประสิทธิภาพ สามารถช่วยลดอัตราการก่อตัวของ  $\rho$ -Chlorophenol และยังพบว่า Photo-Fenton reaction เป็น ปฏิกิริยาที่ขึ้นอยู่กับค่า pH ความเข้มข้นของ H<sub>2</sub>O<sub>2</sub> เริ่มต้น ปริมาณของตัวเร่งปฏิกิริยาและชนิดของ เกลือของเหล็ก นอกจากนั้นยังพบว่าที่ความเข้มข้นของ H<sub>2</sub>O<sub>2</sub> มากกว่า 0.02 mol/L และ pH มากกว่า 4 จะทำให้อัตราการย่อยสลาย  $\rho$ -Chlorophenol ลดลง เนื่องจากที่ค่า pH สูงจะส่งผลให้ เกิดการทดสอบของเหล็ก นอกจากนี้ยังมีปริมาณเกลือของเหล็กมากเกิน จะส่งผลให้น้ำมีสีน้ำตาล ชุนและยังส่งผลให้เกิดการรวมตัวกันของอนุมูลไออกซิลแทนการจับตัวกับสารประกอบอินทรีย์ ต่างๆในน้ำ ดังนั้นควรใช้เกลือของไอออนเหล็กในปริมาณที่เหมาะสม เพื่อลดล้างการรวมกันกับ อนุมูลไออกซิลและช่วยลดการเกิดทดสอบ

ในปี ค.ศ. 2004 Y.S. Chen และคณะ [23] ได้ศึกษาพลาสma แรงดันไฟฟ้าชนิดพลัสสำหรับการย่อยสลายของสารละลายน้ำฟิล์ม โดยทำการทดลองใน batch reactor แบบอุณหภูมิคงที่ พบร่วมกับการกำจัดฟิล์มมีผลของพารามิเตอร์ต่างๆ ที่มีต่อประสิทธิภาพการกำจัดฟิล์ม จากการศึกษาผลของแรงดันไฟฟ้า พบร่วมค่าแรงดันไฟฟ้าสูงสุดสามารถเพิ่มความเข้มของสนามไฟฟ้าของสารละลายน้ำให้อิเล็กตรอนมีพลังงานสูงทำให้มีเลก्यูลของน้ำแตกหัวเป็น  $\text{OH}^-$ ,  $\text{H}_2\text{O}_2$  และ  $\text{O}_3$  ซึ่งเป็นตัวออกซิไดซ์ฟิล์มทำให้ฟิล์มมีการสลายตัวและอัตราการเกิดของพลัสเป็นสัดส่วนโดยตรงกับพลังงานของสนามไฟฟ้าของสารละลายน้ำ แสดงให้เห็นว่าอัตราการเกิดข้อของพลัสสามารถเพิ่มปริมาณและพลังงานของอิเล็กตรอนให้สูงขึ้นได้และจะทำให้มีเลก्यูลของน้ำแตกหัวเป็นพวก  $\text{OH}^-$ ,  $\text{H}_2\text{O}_2$  และ  $\text{O}_3$  จำนวนมาก ผลของขนาดเส้นผ่านศูนย์กลางของอิเล็กโทรดและระยะห่างระหว่างเข็มและแผ่น plate โดยที่ขนาดของข้ออิเล็กโทรดและระยะห่างข้ออิเล็กโทรดมีผลต่อการกำจัดฟิล์ม เนื่องจากระยะห่างน้อยจะง่ายในการสร้างพลาสma และมีพลังงานสูง ทำให้การกำจัดฟิล์มได้ดีกว่าระยะห่างมากจากการศึกษาผลของค่า pH และการนำไฟฟ้าของสารละลายน้ำในการกำจัดฟิล์ม พบร่วมค่า pH สูงจะมีอัตราการย่อยสลายที่ดีกว่าเมื่อเปรียบเทียบกับค่า pH ต่ำ เนื่องจากที่ค่า pH สูงจะมีการสลายโอโซนได้ดีกว่าค่า pH ต่ำ โดยที่โอโซนจะไปทำปฏิกิริยา กับน้ำทำให้เกิดเป็น  $\text{OH}^-$  ส่งผลทำให้เกิดการย่อยสลายฟิล์มได้ดีกว่าค่า pH ต่ำ

ในปี ค.ศ. 2006 M. Sahni และ B.R. Locke [24] ได้ศึกษาถึงแรงดันไฟฟ้าแรงสูงที่ถูกปล่อยในของเหลวและในแก๊สเฟส ซึ่งสามารถนำไปใช้ประโยชน์ในการบัดบัดน้ำได้ ซึ่งหมู่ว่องไวที่เกิดขึ้นในการบำบัดโดยวิธีนี้คือ  $\text{OH}^-$  และ  $\text{H}^+$  และยังเกิดโมเลกุล  $\text{H}_2\text{O}_2$ ,  $\text{H}_2$ ,  $\text{O}_2$  และ  $\text{O}_3$  ในกระบวนการตรวจวัดน้ำสามารถทำได้โดยเทคนิคอย่างง่าย 2 เทคนิค คือ เทคนิค fluorescence และ เทคนิค UV spectroscopy โดยที่เทคนิคแรกใช้ dimethyl sulfoxide (DMSO) และเทคนิคที่สองใช้ disodium salt of terephthalic acid (NaTA) จากการทดลองพบว่า เมื่อทำการทดลองที่เวลาผ่านไปจะทำให้ปริมาณความเข้มข้นของ  $\text{OH}^-$  เพิ่มขึ้น การป้อนแรงดันไฟฟ้าสูงจะสามารถสร้าง  $\text{OH}^-$  ได้มากกว่า เมื่อเปรียบเทียบกับที่แรงดันไฟฟ้าต่ำ เมื่อเปรียบเทียบในการตรวจวัดทั้ง 2 วิธี ในระบบที่ใช้ DMSO จะพบอัตราการเกิด  $\text{OH}^-$  ที่สูงกว่าการใช้ NaTA และส่งผลทำให้การกำจัดสารอินทรีย์ในน้ำสูงกว่าด้วย

ในปี ค.ศ. 2007 K. Gai [25] ได้ทำการศึกษา การย่อยสลายของสารละลายน้ำโดยฟีนิลเอมีนด้วยพลาสma พบร่วมในการย่อยสลายโดยฟีนิลเอมีนมีค่าเพิ่มขึ้นเมื่อเวลาในการย่อยสลายสูงขึ้น อัตราการย่อยสลายเพิ่มขึ้นเมื่อค่า pH อยู่ในช่วงระหว่าง 4.0 – 6.0 อย่างไรก็ตามอัตราการย่อยสลายจะลดลง เมื่อค่า pH เปลี่ยนแปลงเป็น 6.0 – 9.0 ค่า pH ที่มีอัตราการย่อยสลายโดยฟีนิลเอมีนสูงสุดคือ pH 6.0 ผลของการเติม  $\text{Fe}^{2+}$  พบร่วมอัตราการย่อยสลายของโดยฟีนิลเอมีนเพิ่มขึ้น ซึ่งชี้ให้เห็นว่า  $\text{Fe}^{2+}$  เป็นตัวเร่งปฏิกิริยาที่ดี ในขณะเดียวกันผลของการเกิดขึ้นของ  $\text{H}_2\text{O}_2$  มีผลต่อการกำจัดโดยฟีนิลเอมีน โดยพบร่วมการเพิ่มขึ้นของปริมาณ  $\text{H}_2\text{O}_2$  สามารถเพิ่มอัตราการย่อยสลายของโดยฟีนิลเอมีนได้มากขึ้นที่ปริมาณของ  $\text{H}_2\text{O}_2$  10 mg/L และให้เห็นว่าปริมาณ  $\text{H}_2\text{O}_2$  มีผลทำให้ความเข้มข้นของโดยฟีนิลเอมีน

ลดลง การเกิดขึ้นของ *n*-butanol จะประพฤติตัวเป็นสารยับยั้งการย่อยสลายของไดเฟนิลเอเมินเนื่องจาก *n*-butanol มีการใช้อนุญาติออกซิลร่วมกันกับไดเฟนิลเอเมิน จึงทำให้อัตราการย่อยสลายไดเฟนิลเอเมินลดลง

ในปี ค.ศ. 2008 L. Wang และคณะ [26] ได้ศึกษาการย่อยสลาย bisphenol A และศึกษาการเพิ่มขึ้นของไฮโดรเจนเปอร์ออกไซด์ ด้วยเทคนิค Glow Discharge Plasma bisphenol A เป็นสาเหตุที่ทำให้เกิด polycarbonate และ epoxyesins ซึ่งส่งผลทำให้น้ำเสียและเป็นอันตรายต่อสิ่งมีชีวิต กระบวนการพลาスマได้ถูกนำมาพัฒนาเพื่อกำจัดสารพิษที่เป็นอันตรายที่อยู่ในน้ำ ด้วยการใช้เทคนิค Glow Discharge Plasma โดยการให้ไฟฟ้ากระแสตรงผ่านขั้ว electrode โดยค่า Voltage จะใช้ตั้งแต่ 400 V ขึ้นไป จากการศึกษาพบว่า การย่อยสลายของ bisphenol A จะเกิดได้ดีที่ electrolytic solution เป็น NaCl และมีการก่อตัวของ  $H_2O_2$  ตีกว่า  $Na_2SO_4$  และ  $Na_2HPO_4$  และยังพบว่าในน้ำเสียโดยทั่วไปจะมีสารอินทรีย์ที่ใช้น้ำมันว่องไว ทำให้อัตราการย่อยสลายของ bisphenol A ลดลง เมื่อเทียบกับน้ำเสียที่ bisphenol A เพียงอย่างเดียว เกลือของเหล็กมีผลต่อการย่อยสลาย bisphenol A โดยที่  $Fe^{3+}$  ให้ผลของตัวเร่งปฏิกิริยาที่ดีกว่า  $Fe^{2+}$  และทำให้ปริมาณของเกลือของเหล็กที่มากเกินไปจะส่งผลทำให้การย่อยสลายฟื้นกลับเกิดขึ้นได้น้อย

ในปี ค.ศ. 2013 G. Qu และคณะ [27] ได้ศึกษาการทำจั๊ดไอออนแอดเมียมและฟีโนลในน้ำด้วยเทคนิค pulsed corona discharge plasma (PCDP) ร่วมกับถ่านกัมมันต์ จากการศึกษาพบว่า การประยุกต์พลาสมาร่วมกับถ่านกัมมันต์สามารถกำจัด  $Cd^{2+}$  และฟีโนลได้พร้อมกันหลังจากการบำบัดเป็นเวลา 60 นาที โดยที่ลดปริมาณ  $Cd^{2+}$  และฟีโนลได้ 69.0 % และ 87.3 % ตามลำดับ และพบว่าการกำจัด  $Cd^{2+}$  และฟีโนลภายใต้แรงดันพลัสที่แตกต่างกันส่งผลต่อการกำจัด  $Cd^{2+}$  และฟีโนล ที่แรงดันพลัสสูงจะให้อัตราการกำจัด  $Cd^{2+}$  และฟีโนลได้ดีกว่าแรงดันพลัสต่ำ และถ่านกัมมันต์เป็นตัวเร่งปฏิกิริยาที่สามารถย่อยสลาย  $H_2O_2$  และ  $O_3$  ให้ผลิตภัณฑ์เป็นน้ำมันว่องไว ซึ่งส่งผลทำให้มีประสิทธิภาพการกำจัดสูงขึ้น นอกจากนี้ยังพบว่าความเข้มข้นเริ่มต้นที่แตกต่างกันมีผลต่อการกำจัด  $Cd^{2+}$  และฟีโนล โดยที่ความเข้มข้นเริ่มต้นสูง จะให้ประสิทธิภาพในการกำจัดฟีโนลลดลง เมื่อเทียบกับความเข้มข้นเริ่มต้นที่ต่ำ เนื่องจากพลังงานที่ป้อนเข้าไปมีปริมาณเท่าเดิมแต่จำนวนโมเลกุลของฟีโนลเพิ่มขึ้นทำให้ประสิทธิภาพในการกำจัด  $Cd^{2+}$  และฟีโนลลดลง

## บทที่ 3

### วิธีการทดลอง

#### 3.1 สารเคมีและอุปกรณ์

3.1.1 พื้นอคล

3.1.2 โซเดียมไอกอรอกไซด์

3.1.3 น้ำกลั่น

3.1.4 เครื่องกำเนิดพลาสมาวัฏภาคนอกของเหลว

3.1.5 ข้ออิเล็กโทรด 3 ชนิด คือ เหล็ก ทองแดง และหั่งสเทน

3.1.6 เครื่องปั่นกวนสาร (Magnetic stirrer)

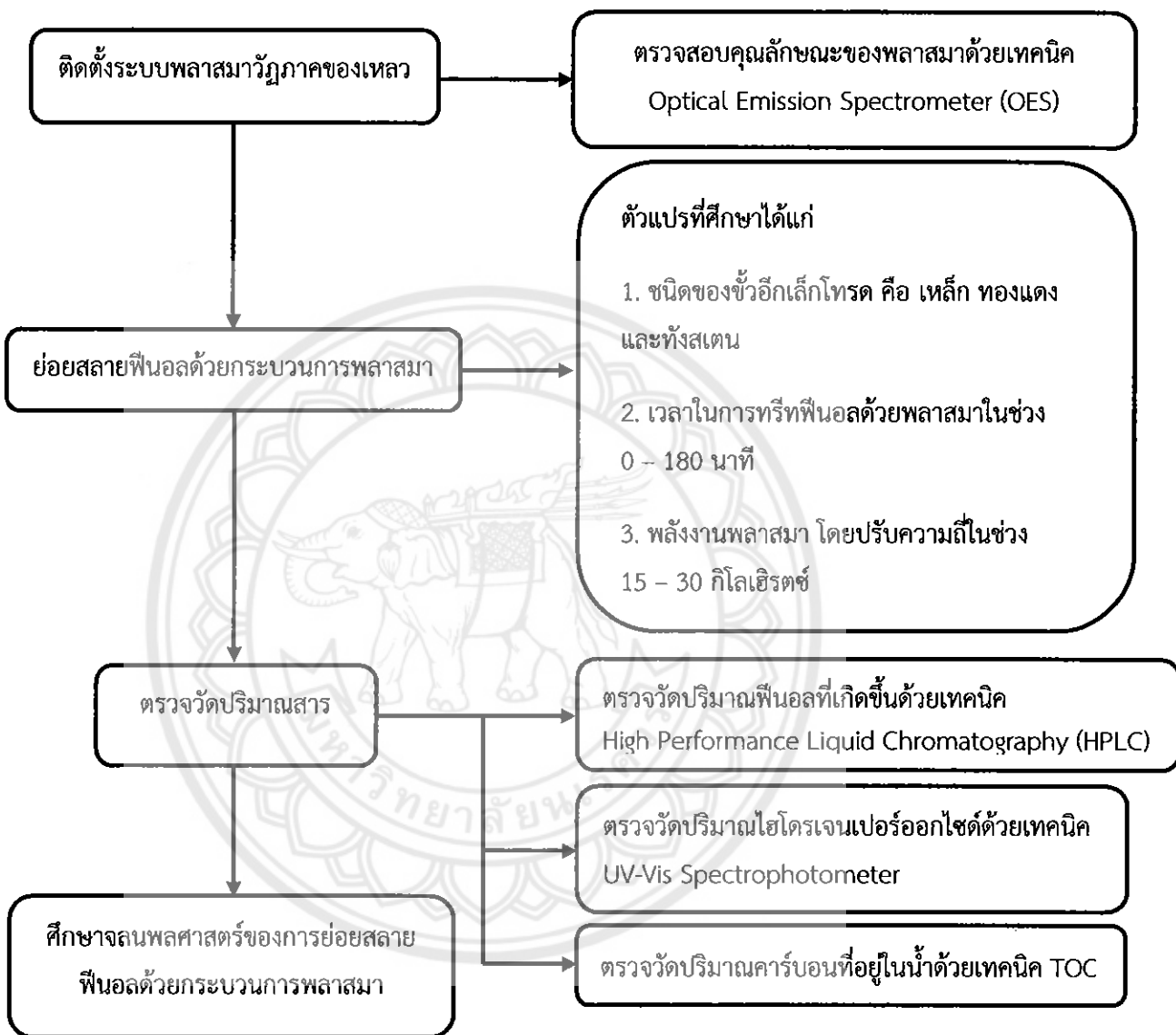
3.1.7 High Performance Liquid Chromatography (HPLC)

3.1.8 Optical Emission Spectrometer (OES)

3.1.9 UV-Vis spectrophotometer

### 3.2 วิธีการทดลอง

ในการศึกษาการย่อylexslayสารละลายฟีนอลที่ผสมอยู่ในน้ำมีขั้นตอนในการย่อylexslay ดังแสดงไว้ในรูปที่ 3.1 โดยมีรายละเอียดขั้นตอนการย่อylexslayดังนี้



รูปที่ 3.1 แผนผังกระบวนการย่อylexslayฟีนอล

#### 3.2.1 การติดตั้งระบบพลาสมาวัฏภาคนของเหลวและการตรวจวัดคุณสมบัติของพลาสma

การติดตั้งระบบเครื่องกำเนิดพลาสมาวัฏภาคนของเหลวดังแสดงในรูปที่ 3.2 พลาสmaจะถูกผลิตขึ้นในเครื่องปฏิกรณ์พลาสmaที่ทำจากแก้ว โดยเกิดขึ้นระหว่างข้าวอีกเล็กໂທຣດแบบเข็ม (Needle electrodes) ซึ่งทำจากวัสดุชนิดต่างๆ อาทิ หงส์เตน ทองแดงและเหล็ก ที่มีเส้นผ่านศูนย์กลาง 1 มิลลิเมตร ระยะห่างระหว่างข้าวอีกเล็กໂທຣດประมาณ 0.2 มิลลิเมตร ในการผลิตพลาสmaจะเชื่อมต่อ อีกเล็กໂທຣด์ทั้งสองเข้ากับพาวเวอร์ซัพพลายระบบไฟฟ้ากระแสตรงแบบพลั๊ต์ ในการตรวจวัดคุณสมบัติ

ของพลาสม่าจะใช้เทคนิค Optical Emission Spectrometer (OES) โดยนำหัววัดมาจ่อต่องแสงพลาสม่า ขณะทำการทรีทสารละลายฟีนอลด้วยพลาสม่า เพื่อวัดระดับการเปล่งแสง ผลที่ได้จากการวัดจะแสดงในรูปของกราฟแสดงพีคในช่วงความยาวคลื่นต่างๆ ซึ่งสามารถนำไปเปรียบเทียบกับข้อมูลอ้างอิงเพื่อรับชนิดของหมู่ว่องไวที่เกิดขึ้นในระหว่างกระบวนการพลาสม่า [16]



รูปที่ 3.2 อุปกรณ์กำเนิดพลาสมาวัสดุภาคของเหลว

### 3.3.2 การย่อยสลายฟีนอลด้วยพลาสมาวัสดุภาคของเหลว

เตรียมสารละลายฟีนอลที่มีความเข้มข้น 100 ppm จากนั้นนำสารละลายฟีนอลที่เตรียมได้ปริมาณ 120 มิลลิลิตร มาทรีทด้วยพลาสม่า ในการทรีทด้วยพลาสม่าจะใช้ข้อวิธีเล็กๆ ครอบคลุม 3 ชนิด คือ เหล็ก ทองแดง และทังสเตน ระยะเวลาในการทรีทในช่วง 0 ถึง 180 นาที ความต่างกันยังคงอยู่ การผลิตพลาสม่า 3 กิโลโวัตต์ ความถี่ของเครื่องกำเนิดพลาสม่าในช่วง 15 ถึง 30 กิโลเฮิรตซ์ และ Pulse width 3 ไมโครเซคунด์ ในระหว่างการย่อยสลายฟีนอลด้วยพลาสม่าจะทำการปั่นกวนสารด้วยอุปกรณ์กวนผสมสาร (Magnetic Stirrier) เพื่อเพิ่มการสัมผัสน้ำหนักระหว่างฟีนอลกับพลาสม่าสารละลายฟีนอลที่ผ่านการทรีทด้วยพลาสมานแล้วจะถูกนำไปตรวจวัดปริมาณฟีนอลต่อไป

## 3.3 การวิเคราะห์ปริมาณสาร

### 3.3.1 การวัดปริมาณฟีนอลด้วยเทคนิค HPLC

นำสารละลายฟีนอลที่ได้จากการย่อยสลายฟีนอลมาทำการวัดปริมาณฟีนอลด้วยเครื่อง HPLC โดยใช้คอลัมน์ชนิด reverse phase C<sub>18</sub> โดยมีสารละลายอะซิโตในไตรล์ต่อน้ำปริมาณ 40 ต่อ 60 (ปริมาตร/ปริมาตร) เป็นเฟสเคลื่อนที่ โดยมีอัตราการไหลของสาร 0.8 มิลลิลิตรต่อนาที ปริมาณฟีนอลที่อยู่ในสารละลายตัวอย่างจะถูกตรวจวัดด้วยเครื่องตรวจจับสัญญาณ Refractive index จากนั้นนำข้อมูลของฟีนอลที่ตรวจวัดได้มาคำนวณเชิงปริมาณโดยเทียบกับกราฟมาตรฐานที่เตรียมได้จากสารละลายฟีนอล [18] จากนั้นนำข้อมูลมาคำนวณหาเปอร์เซ็นต์การย่อยสลายฟีนอลจากการ

$$\text{เปอร์เซ็นต์การย่อยสลายฟีนอล} = \frac{\text{ฟีนอลเริ่มต้น} - \text{ฟีนอลที่เหลืออยู่}}{\text{ฟีนอลเริ่มต้น}} \times 100$$

### 3.3.2 การวัดปริมาณการเกิดไฮโดรเจนเปอร์ออกไซด์

นำสารละลายที่ผ่านการทรีทด้วยพลาสมาวัสดุภาคของเหลวมาวัดปริมาณการเกิดไฮโดรเจนเปอร์ออกไซด์ [6] ด้วยเครื่อง UV-Vis Spectrophotometer โดยนำสารละลายที่ผ่านการทรีทปริมาตร 1 มิลลิลิตร ผสมเข้ากับไธเนียมชัลเฟตปริมาตร 2 มิลลิลิตร และเติมน้ำจันได้ปริมาตร 10 มิลลิลิตร จากนั้นนำไปตรวจสอบค่าการดูดกลืนแสงที่ความยาวคลื่น 410 นาโนเมตร ค่าการดูดกลืนแสงของสารละลายที่ได้จากการตรวจสอบด้วยเครื่อง UV-Vis จะนำไปใช้เปรียบเทียบกับกราฟมาตรฐานจากสารละลายมาตรฐาน เพื่อหาปริมาณการเกิดไฮโดรเจนเปอร์ออกไซด์ที่เกิดขึ้นในสารละลายหลังจากผ่านการทรีทด้วยพลาสมาวัสดุภาคของเหลว

### 3.3.3 การศึกษาจอนพลศาสตร์และอัตราการย่อยสลายฟีนอล

โดยทั่วไปแล้วอัตราการย่อยสลายฟีนอลด้วยพลาสมากำการเกิดปฏิกิริยาเป็นอันดับหนึ่ง (1<sup>st</sup> Order reaction) [19] โดยมีสมการดังต่อไปนี้

$$C = C_0 e^{-kt}$$

เมื่อ

$$C = \text{ปริมาณสารละลายฟีนอลที่ผ่านการทรีทที่เวลา } t$$

$$C_0 = \text{ปริมาณสารละลายฟีนอลตั้งต้น}$$

$$k = \text{ค่าคงที่ของอัตราการเกิดปฏิกิริยาอันดับหนึ่ง (min}^{-1}\text{)}$$

$$t = \text{เวลาที่ใช้ในการทรีทด้วยพลาasma (min)}$$

เมื่อทำการเขียนกราฟความสัมพันธ์ระหว่างเวลาในการเกิดปฏิกิริยากับค่าความเข้มข้นของสารละลายฟีนอลที่ผ่านการทรีทที่เวลาใดๆต่อค่าความเข้มข้นของละลายฟีนอลตั้งต้น ความชันที่ได้จะบวกถึงค่าคงที่อัตราการย่อยสลายฟีนอล (Rate constant) [23]

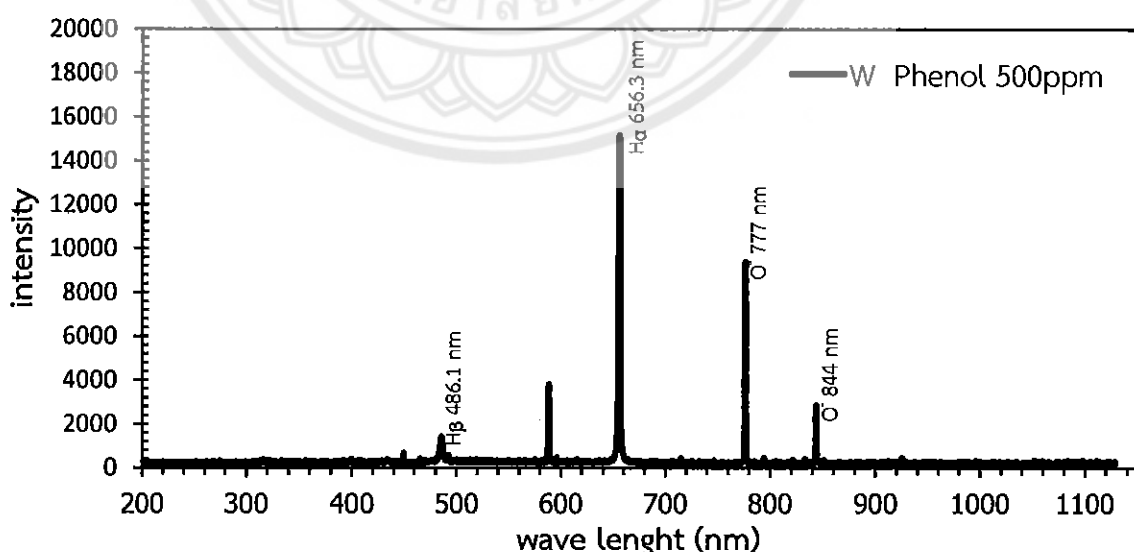
## บทที่ 4

### ผลการทดลองและวิเคราะห์ผลการทดลอง

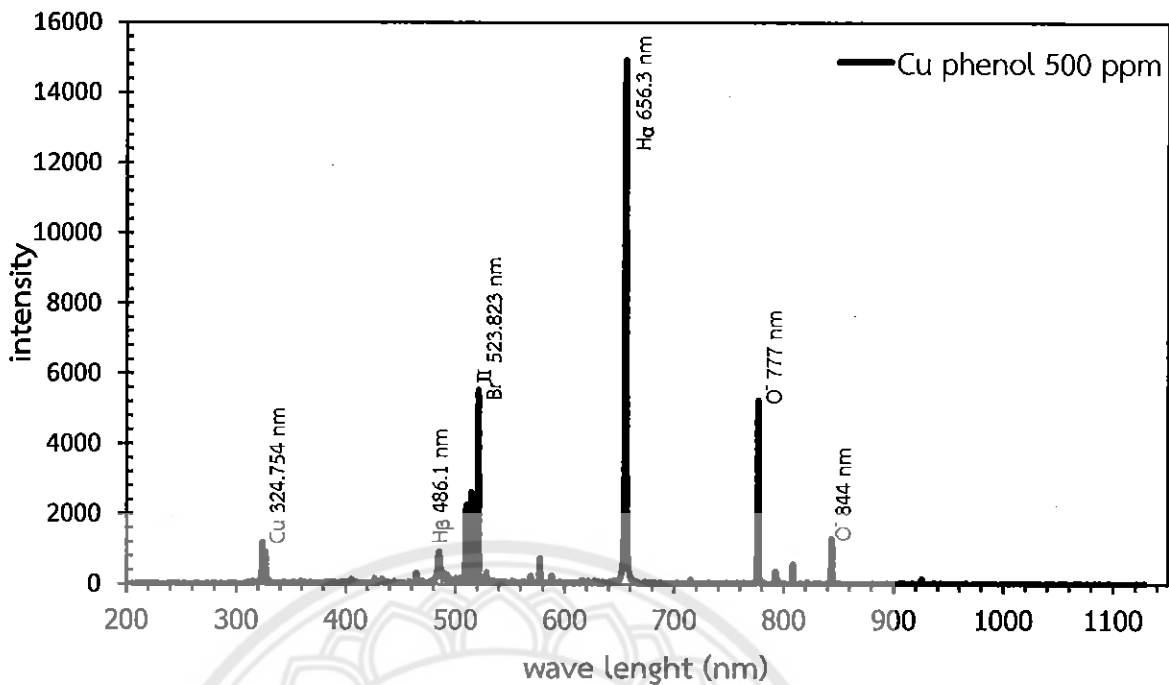
จากการศึกษาผลของสภาวะพลาสมาวัฏภาคของเหลวที่มีต่อเปอร์เซ็นต์การย่อยสลายฟีโนล ใน การศึกษานี้ได้ทำการศึกษาปัจจัยที่ส่งผลต่อเปอร์เซ็นต์การย่อยสลายฟีโนล คือชนิดของข้าวอิเล็กโทรด 3 ชนิด ได้แก่ หังส滕 เหล็ก และทองแดง เวลาที่ใช้ในการย่อยสลาย 0 - 180 นาที และการปรับ ความถี่ของเครื่องกำเนิดพลาสม่าที่ 15 22.5 และ 30 กิโลเอร์ตซ์ โดยภายหลังจากการทำการทดลอง แล้วได้นำผลที่ได้ไปทดสอบคุณสมบัติต่าง ๆ ซึ่งผลที่ได้เป็นดังต่อไปนี้

#### 4.1 คุณลักษณะของพลาสม่าที่เกิดขึ้นจากข้าวอิเล็กโทรดแต่ละชนิด

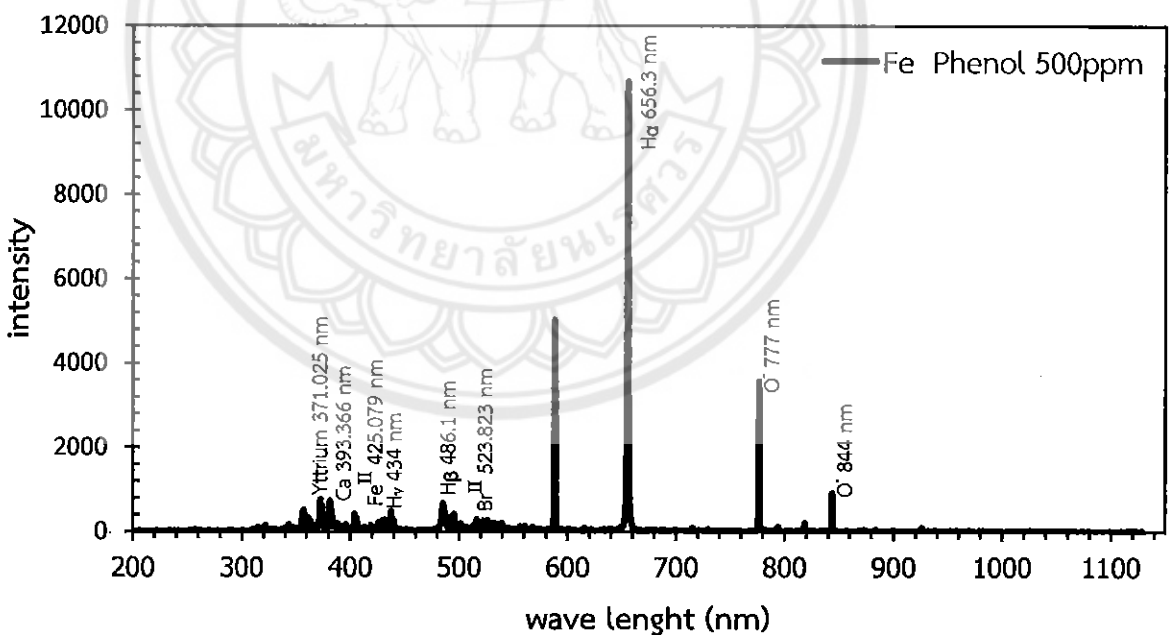
จากการทดลองได้ทราบว่า ความถี่ของเครื่องกำเนิดพลาสม่าที่ 15 กิโลเอร์ตซ์ ทำให้เกิดการเปลี่ยนแปลงในคุณลักษณะของพลาสม่า เช่น ความเข้มของแสงที่เพิ่มขึ้น ความกว้างของแสงที่ลดลง และความยาวคลื่นที่เปลี่ยนแปลง ซึ่งแสดงให้เห็นว่า ความถี่ 15 กิโลเอร์ตซ์ ทำให้เกิดการเปลี่ยนแปลงในคุณลักษณะของพลาสม่าอย่างมาก ทำให้สามารถลดเวลาการทดลองลงได้



รูปที่ 4.1 แสดงคุณลักษณะของพลาสม่าที่เกิดจากข้าวอิเล็กโทรดหังส滕ที่ความถี่ 15 กิโลเอร์ตซ์ ด้วยเทคนิค OES



รูปที่ 4.2 แสดงคุณลักษณะของพลาสม่าที่เกิดจากข้าวอิเล็กโทรดทองแดงที่ความถี่ 15 กิโลเฮิรตซ์ ด้วยเทคนิค OES



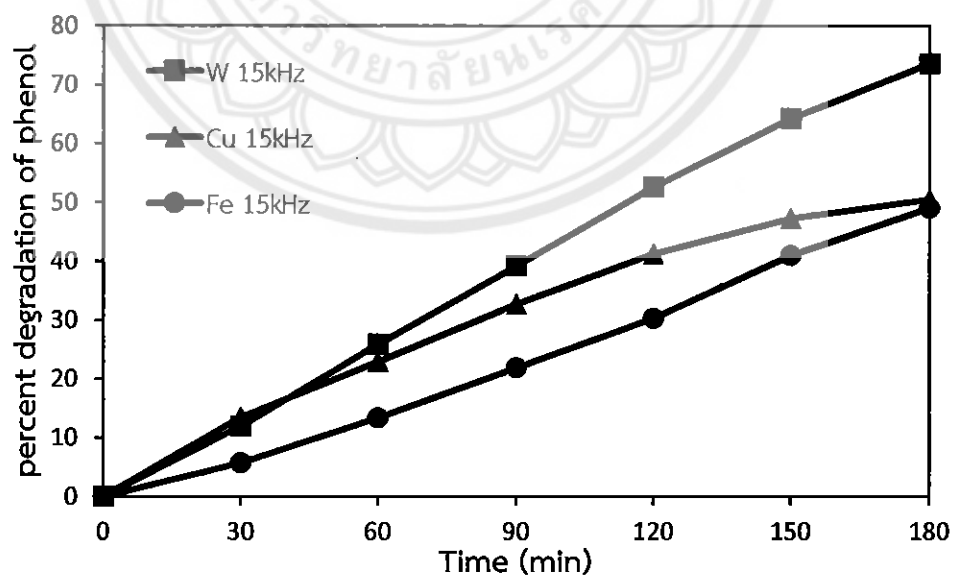
รูปที่ 4.3 แสดงคุณลักษณะของพลาสม่าที่เกิดจากข้าวอิเล็กโทรดเหล็กที่ความถี่ 15 กิโลเฮิรตซ์ ด้วยเทคนิค OES

จากรูปที่ 4.1 4.2 และ 4.3 แสดงให้เห็นถึงพีคของอะตอมธาตุที่เกิดขึ้นภายในเครื่องปฏิกรณ์ พลาสม่าที่ตำแหน่งความยาวคลื่นแสงต่างๆ ของข้าวอิเล็กโทรด หั่งสแตน ทองแดง และเหล็ก ตามลำดับ โดยอะตอมธาตุที่เกิดจากการดิชชาร์จของพลาสมาวัสดุภาคของเหลวคือ H $\alpha$  ที่มีการปลดปล่อยแสงที่ความยาวคลื่นแสงที่ 656.3 นาโนเมตร H $\beta$  ที่ตำแหน่งความยาวคลื่นแสงที่ 486.1 นาโนเมตร และ O $^-$

ที่ทำแห่งความยาวคลื่นแสงที่ 777 และ 844 นาโนเมตร จะเห็นได้ว่าห้อง 3 ข้ออิเล็กโทรดจะเกิดอะตอมธาตุของ  $\text{H}\alpha$   $\text{H}\beta$  และ  $\text{O}^-$  เมื่อกันเนื่องจากในสารละลายนีโตริก็มีส่วนประกอบของน้ำเมื่อเกิดการติดขาร์จด้วยพลาสมาก็ขึ้นส่งผลทำให้มีเลกูลของน้ำเกิดการแตกตัวออกเป็นอะตอมของไฮโดรเจน และอะตอมของออกซิเจน สามารถตรวจสอบได้โดยการวัดค่าการปลดปล่อยแสงด้วยเทคนิค OES ในสารละลายนีโตริก็มีการทรีทด้วยข้ออิเล็กโทรดทองแดง จากการตรวจสอบพบว่าในสารละลายนีโตริก็มีค่าการปลดปล่อยแสงที่ 324.754 นาโนเมตร และพบอะตอมของสิงเจือปนคือ  $\text{Br}^{II}$  253.823 นาโนเมตร และเมื่อทำการทรีทสารละลายนีโตริก็มีค่าการปลดปล่อยแสงที่ 425.079 นาโนเมตร ห้องนี้ยังพบอะตอมอื่น ๆ ที่เป็นสิงเจือปนมาในสารละลายนีโตริก็มีค่า  $\text{Yttrium}$  371.025 นาโนเมตร  $\text{Ca}$  393.366 นาโนเมตร  $\text{H}_\gamma$  434 นาโนเมตร และ  $\text{Br}^{II}$  523.823 นาโนเมตร ดังนั้นจากการตรวจสอบคุณลักษณะของพลาสมาด้วยเทคนิค OES สำหรับกระบวนการพลาสมาวัสดุภาคของเหลว สามารถสรุปได้ว่า พลาสมามีคุณสมบัติที่สามารถทำให้เกิดอะตอมเหล่านี้ได้ ซึ่งอะตอมบางตัวนั้นมีคุณสมบัติที่สามารถย่อยสลาย พีนอลได้ซึ่งจะสอดคล้องกับผลการทดลองอื่นๆ ที่ได้จากการทดลองในการย่อยสลายพีนอลต่อไป

#### 4.2 ผลของชนิดอิเล็กโทรดที่มีผลต่อการย่อยสลายพีนอล

จากการศึกษาเบอร์เซ็นต์การย่อยสลายพีนอลด้วยกระบวนการพลาสมาวัสดุภาคของเหลวของข้ออิเล็กโทรดห้องสามชนิดคือ ห้องสแตน เหล็ก และทองแดง ที่ความถี่พลาสม่า 15 กิโลเฮิรตซ์ หลังผ่านการทรีท 180 นาที ดังแสดงในรูปที่ 4.4

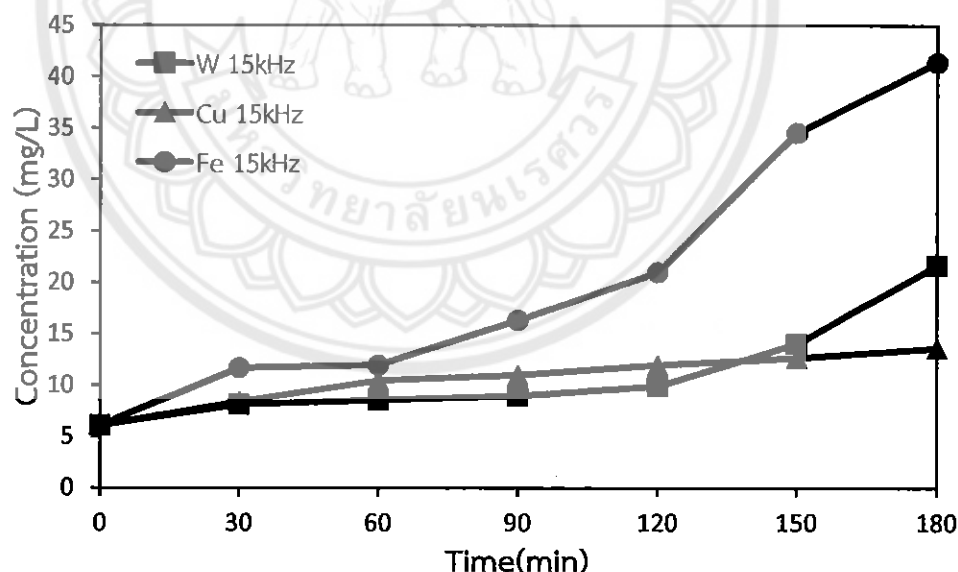


รูปที่ 4.4 เบอร์เซ็นต์การย่อยสลายพีนอลของข้ออิเล็กโทรดแต่ละชนิดที่ความถี่ 15 กิโลเฮิรตซ์

จากการศึกษาเบอร์เซ็นต์การย่อยสลายพีนอลของข้ออิเล็กโทรดห้องสามชนิดคือ เหล็ก ทองแดง และห้องสแตน ที่ความถี่ 15 กิโลเฮิรตซ์ ดังแสดงในรูปที่ 4.4 พบว่าเบอร์เซ็นต์การย่อยสลาย

พื้นอลตัวยกระดับการพลาสม่าวัสดุของเหลวที่ใช้ข้าวอิเล็กโทรดที่เป็นหังสแตนมีเปอร์เซ็นต์การย่อยสลายสูงสุดเมื่อเปรียบเทียบกับ ทองแดง และเหล็ก เนื่องจากหังสแตนมีความเหมาะสมกับสภาพระบบที่เป็นพื้นอลจึงทำให้สามารถย่อยสลายพื้นอลได้ดีเนื่องมาจากหังสแตนสามารถถ่ายประจุไฟฟ้าไปยังเหล็กและหองแดง ขณะเดียวกัน ไอโอดเรเจนเปอร์ออกไซด์ที่เป็นไอดรอกซิลเรดิคอลได้ดีเมื่อเปรียบเทียบกับเหล็กและหองแดง เพราะไอดรอกซิลเรดิคอลนั้นเป็นตัวสำคัญที่จะเข้าไปทำปฏิกิริยากับพื้นอลเพื่อลดปริมาณความเข้มข้นของพื้นอลลง ในส่วนของข้าวอิเล็กโทรดที่เป็นเหล็กพบว่าเฟอร์รัสไอออนที่เป็นตัวเร่งปฏิกิริยาที่สำคัญในการย่อยสลายพื้นอล [8] ไม่สามารถเกิดขึ้นได้ดีเนื่องมาจากสภาพระบบมีค่า pH สูงจึงทำให้ไม่เหมาะสมกับการเกิดเฟอร์รัสไอออน [28] ส่งผลทำให้เปอร์เซ็นต์การย่อยสลายพื้นอลมีค่า เปอร์เซ็นต์ที่ต่ำ และในส่วนของข้าวอิเล็กโทรดที่เป็นหองแดงก็มีผลลักษณะเช่นเดียวกับข้าวอิเล็กโทรดที่เป็นเหล็กซึ่งส่งผลทำให้เปอร์เซ็นต์การย่อยสลายพื้นอลมีค่าที่ต่ำ และผลของอุณหภูมิมีผลต่อการย่อยสลายพื้นอลน้อยมากเนื่องจากอุณหภูมิในระบบพลาสม่าวัสดุของเหลวในการย่อยสลายพื้นอลมีอุณหภูมิประมาณ 70 องศาเซลเซียส ซึ่งอุณหภูมิของการสลายตัวของพื้นอลอยู่ที่ 210 – 310 องศาเซลเซียส แสดงให้เห็นว่าอุณหภูมิในระบบไม่ส่งผลทำให้พื้นอลเกิดการสลายตัว [29]

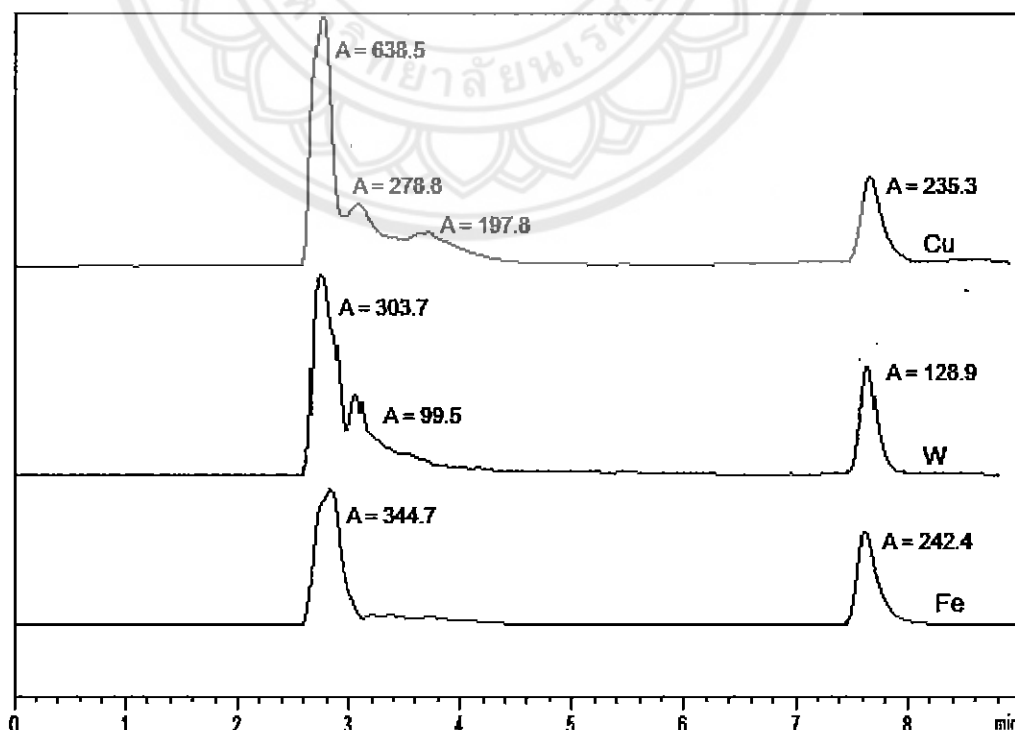
การเกิดไอโอดเรเจนเปอร์ออกไซด์ของข้าวอิเล็กโทรดทั้ง 3 ชนิด ที่ความถี่ 15 กิโลเฮิรตซ์ แสดงได้ดังรูปที่ 4.5



รูปที่ 4.5 ความเข้มข้นของไอโอดเรเจนเปอร์ออกไซด์ที่ข้าวอิเล็กโทรดชนิดต่างๆ ที่ความถี่ 15 กิโลเฮิรตซ์

จากการศึกษาความเข้มข้นของไอโอดเรเจนเปอร์ออกไซด์ที่เกิดขึ้นในระหว่างการย่อยสลายพื้นอลของข้าวอิเล็กโทรดทั้ง 3 ชนิดคือ หังสแตน หองแดง และเหล็ก โดยความถี่ที่ใช้คือ 15 กิโลเฮิรตซ์ ดังรูปที่ 4.5 พบว่าที่ข้าวอิเล็กโทรดทั้งสแตนมีความเข้มข้นของไอโอดเรเจนเปอร์ออกไซด์ต่ำที่สุดเมื่อเปรียบเทียบกับหองแดงและเหล็ก เนื่องจากข้าวอิเล็กโทรดหังสแตนขณะที่เกิดพลาสม่าสามารถไป

เป็นตัวเร่งปฏิกิริยาทำให้ไฮโดรเจนเปอร์ออกไซด์เกิดการแตกตัวเป็นไฮดรอกซิลเรติคอลได้ดี และไฮดรอกซิลเรติคอลเป็นตัวสำคัญที่เข้าไปทำปฏิกิริยาในการย่อยสลายพืนออลทำให้ปริมาณของไฮโดรเจนเปอร์ออกไซด์ที่ตรวจพบมีค่าที่ต่ำแต่จะเห็นได้ว่าในช่วง 150 นาที ปริมาณของไฮโดรเจนเปอร์ออกไซด์ของข้าวอิเล็กโทรดทั้งสองมีค่าเพิ่มขึ้นเนื่องมาจากไฮดรอกซิลเรติคอลที่เกิดขึ้นนี้ไม่ได้ไปทำปฏิกิริยากับพืนออลเนื่องมาจากการปริมาณพืนออลในสารละลายมีปริมาณที่น้อยลงจึงทำให้ไฮดรอกซิลเรติคอลบางส่วนที่ไม่ทำปฏิกิริยาจึงเกิดการรวมตัวกันเป็นไฮโดรเจนเปอร์ออกไซด์อีกรั้ง ส่วนที่ข้าวอิเล็กโทรดที่เป็นทองแดงก็มีปริมาณของไฮโดรเจนเปอร์ออกไซด์ที่สูงจากข้าวอิเล็กโทรดที่เป็นหัสดene ซึ่งสอดคล้องกับผลของเปอร์เซ็นต์การย่อยสลายพืนออลเนื่องมาจากการของทองแดงมีเปอร์เซ็นต์การย่อยสลายพืนออลเป็นอันดับสองรองจากอิเล็กโทรดหัสดene จะเห็นได้จากปริมาณความเข้มข้นของไฮโดรเจนเปอร์ออกไซด์ที่ต่ำ และข้าวอิเล็กโทรดที่เป็นเหล็กมีปริมาณความเข้มข้นของไฮโดรเจนเปอร์ออกไซด์ที่สุดเนื่องมาจากการของเหล็กไม่สามารถไปประทุนทำให้เกิดการแตกตัวของไฮดรอกซิลเรติคอลได้ดีเท่ากับหัสดene และทองแดง เนื่องจากข้าวอิเล็กโทรดที่เป็นเหล็กเมื่อยุ่งในสภาพระบบที่เป็นสารละลายพืนออลในเครื่องปฏิกรณ์พลาสมาร์บบ์ว่าอะตอมเหล็กที่หลุดออกจากข้าวอิเล็กโทรดนั้นบางส่วนไม่สามารถเป็นตัวเร่งปฏิกิริยาได้เนื่องจากระบบมีค่า pH สูงจึงส่งผลทำให้ออนที่ออกมากจากข้าวอิเล็กโทรดนั้นมีความเป็นเพอร์ออกไซด์สูงทำให้ไฮโดรเจนเปอร์ออกไซด์แตกตัวเป็นไฮดรอกซิลเรติคอลได้ไม่ดีจึงส่งผลทำให้การตรวจน้ำมันเข้มข้นของไฮโดรเจนเปอร์ออกไซด์ที่พบมีค่าสูง และจากการตรวจด้วยปริมาณสารจากเครื่อง HPLC พบว่ามีผลิตภัณฑ์ที่เป็นอันตรายเกิดขึ้น ซึ่งแสดงได้จากรูปที่ 4.6

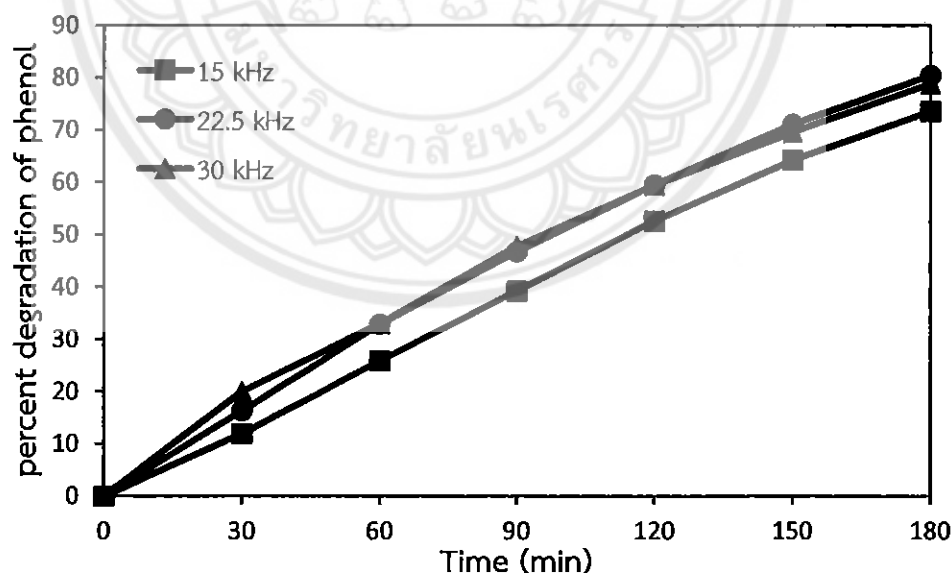


รูปที่ 4.6 แสดงข้อมูลจากเครื่อง HPLC ที่ความถี่ 15 กิโลเฮิรตซ์ ที่เวลา 180 นาที

จากรูปที่ 4.6 จะเห็นได้ว่าเมื่อทำการย่อยสลายฟีนอลด้วยข้าวอิเล็กโตรดทั้ง 3 ชนิด จะมีผลิตภัณฑ์ที่เกิดขึ้นมาที่ตำแหน่งเวลา 2.8 3.1 และ 3.7 นาที คือ ไฮโดรคิวโนน เบนโซคิวโนน และแคลทีคอล ตามลำดับและที่ตำแหน่งเวลา 7.6 นาที คือฟีนอล [30] เมื่อเปรียบเทียบกันระหว่างข้าวอิเล็กโตรดทั้ง 3 ชนิด พบว่าที่ข้าวอิเล็กโตรดที่เป็นเหล็กมีผลิตภัณฑ์ที่เกิดขึ้นเป็นไฮโดรคิวโนน ข้าวอิเล็กโตรดทั้งสสามีผลิตภัณฑ์ที่เกิดขึ้นเป็นไฮโดรคิวโนนและเบนโซคิวโนน และข้าวอิเล็กโตรด ทองแดงมีผลิตภัณฑ์ที่เกิดขึ้นเป็นไฮโดรคิวโนน เบนโซคิวโนนและแคลทีคอล ซึ่งสารทั้ง 3 ชนิดนี้เป็นสารที่เป็นอันตรายเมื่อมีในปริมาณมากๆ ซึ่งจากทั้ง 3 ข้าวอิเล็กโตรดพบว่าข้าวอิเล็กโตรดทองแดงนั้นมีปริมาณไฮโดรคิวโนนมากกว่าข้าวอิเล็กโตรดเหล็กและหั้งสแตน และยังพบอีกว่าในข้าวอิเล็กโตรดที่เป็นทองแดงมีปริมาณเบนโซคิวโนนมากกว่าหั้งสแตนแต่ไม่พบเบนโซคิวโนนในข้าวอิเล็กโตรดที่เป็นเหล็ก และยังพบแค่คอลซึ่งเป็นผลิตภัณฑ์ที่พบได้เฉพาะในข้าวอิเล็กโตรดทองแดง จากการศึกษาผลิตภัณฑ์ที่เกิดขึ้นสามารถสรุปได้ว่าข้าวอิเล็กโตรดที่เป็นหั้งสแตน นอกจากจะให้เปอร์เซ็นต์การย่อยสลายที่สูงกว่าและผลิตภัณฑ์ที่เป็นอันตรายที่เกิดขึ้นระหว่างการย่อยสลายฟีนอลมีปริมาณที่น้อยกว่าเมื่อเปรียบเทียบกับข้าวอิเล็กโตรดเหล็กและทองแดง

#### 4.3 ผลของการปรับความถี่ที่มีผลต่อการย่อยสลายฟีนอล

จากการศึกษานิดของข้าวอิเล็กโตรดทั้ง 3 ชนิด พบว่าข้าวอิเล็กโตรดที่เป็นหั้งสแตนให้เปอร์เซ็นต์ในการย่อยสลายฟีนอลได้ดีที่สุด ดังนั้นจึงนำข้าวอิเล็กโตรดที่เป็นหั้งสแตนมาศึกษาผลของความถี่แสดงดังรูปที่ 4.7



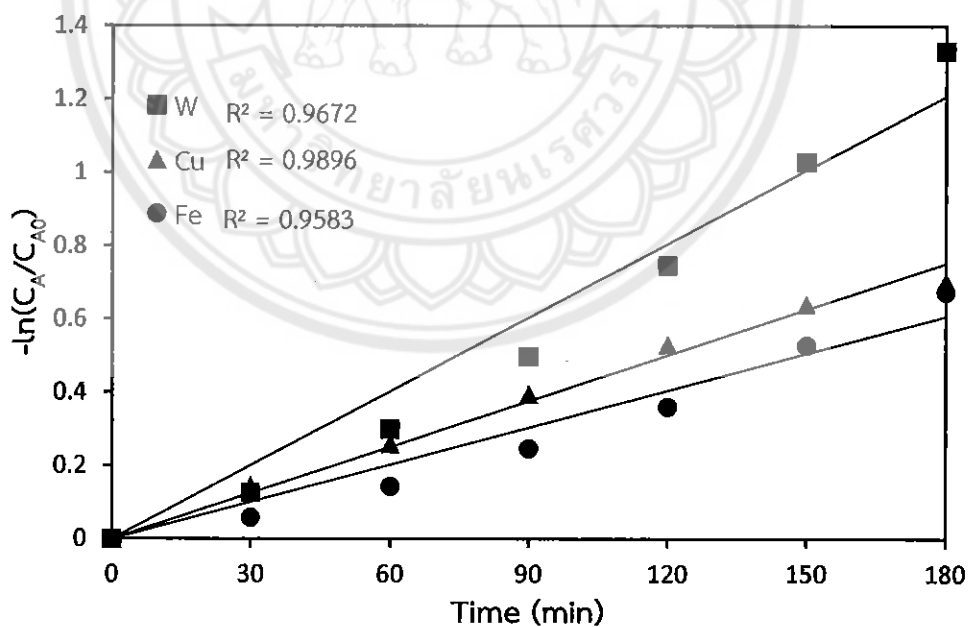
รูปที่ 4.7 เปอร์เซ็นต์การย่อยสลายฟีนอลของข้าวอิเล็กโตรดทั้งสแตนที่ความถี่ 15 22.5 และ 30 กิโลเฮิรตซ์

จากรูปที่ 4.7 ทำการศึกษาค่าความถี่ที่ต่างกันคือ 15 22.5 และ 30 กิโลเฮิรตซ์ โดยผลการทดลองพบว่าเมื่อทำการปรับค่าความถี่เป็น 22.5 และ 30 กิโลเฮิรตซ์ ที่เวลา 180 นาที จะให้ค่า

เบอร์เซ็นต์ในการย่อยสลายพืนอลได้มากถึง 80.49 และ 78.89 เบอร์เซ็นต์ ตามลำดับ ซึ่งจะเห็นได้ว่าเบอร์เซ็นต์ในการย่อยสลายพืนอลมากกว่าที่ความถี่ 15 กิโลเอิร์ตซ์ ทั้งนี้เป็นเพราะว่าเมื่อทำการเพิ่มความถี่สูงขึ้น ทำให้มีพลังงานมากพอที่จะทำให้เกิดการแตกตัวของไฮโดรเจนเปอร์ออกไซด์ไปเป็นไฮดรอกซิลเรดิคอลได้มากขึ้น ซึ่งสามารถทำให้เกิดปฏิกิริยาที่ทำการย่อยสลายพืนอลได้สูงขึ้น แต่เมื่อเปรียบเทียบกันระหว่างที่ความถี่ 22.5 และ 30 กิโลเอิร์ตซ์ พบร่วมเบอร์เซ็นต์การย่อยสลายพืนอลนั้นมีค่าใกล้เคียงกัน ทั้งนี้เนื่องมาจากการแตกตัวของไฮโดรเจนเปอร์ออกไซด์ไปเป็นไฮดรอกซิลเรดิคอลเข้าสู่สภาวะสมดุลส่งผลคือเบอร์เซ็นต์การย่อยสลายพืนอลมีค่าเปลี่ยนแปลงไปน้อยมากเมื่อเปรียบเทียบกันทำให้สรุปได้ว่าความถี่ที่ 22.5 กิโลเอิร์ตซ์ มีความเหมาะสมที่สุดให้การดำเนินการเนื่องจากใช้พลังงานน้อยกว่าที่ความถี่ 30 กิโลเอิร์ตซ์ และให้ผลการย่อยสลายพืนอลที่สูงใกล้เคียงกับที่ความถี่ที่ 30 กิโลเอิร์ตซ์

#### 4.4 จนผลศาสตร์ของการย่อยสลายพืนอล

จากการศึกษาจนผลศาสตร์ของการย่อยสลายพืนอลด้วยกระบวนการพลาสมาวัฏภาคของเหลว พบร่วมดับการเกิดปฏิกิริยาในการย่อยสลายพืนอลงนั้นเป็นปฏิกิริยาอันดับ 1 ซึ่งสามารถแสดงค่า  $R^2$  ได้จากรูปที่ 4.8



รูปที่ 4.8 แสดงค่า  $R^2$  ของการย่อยสลายพืนอลงของข้าวอิเล็กโทรดทั้ง 3 ชนิด  
ที่ความถี่ 15 กิโลเอิร์ตซ์

จากรูปที่ 4.8 จะเห็นได้ว่าค่า  $R^2$  ของข้ออ้างอิงโทรศัพท์ 3 ชนิดนั้นมีค่าเข้าใกล้หนึ่ง ซึ่งแสดงให้เห็นว่าอันดับการเกิดปฏิกิริยาในการย่อยสลายพืนอลนั้นเป็นปฏิกิริยาอันดับ 1 โดยค่า  $k$  แสดงได้ดังตารางที่ 4.1

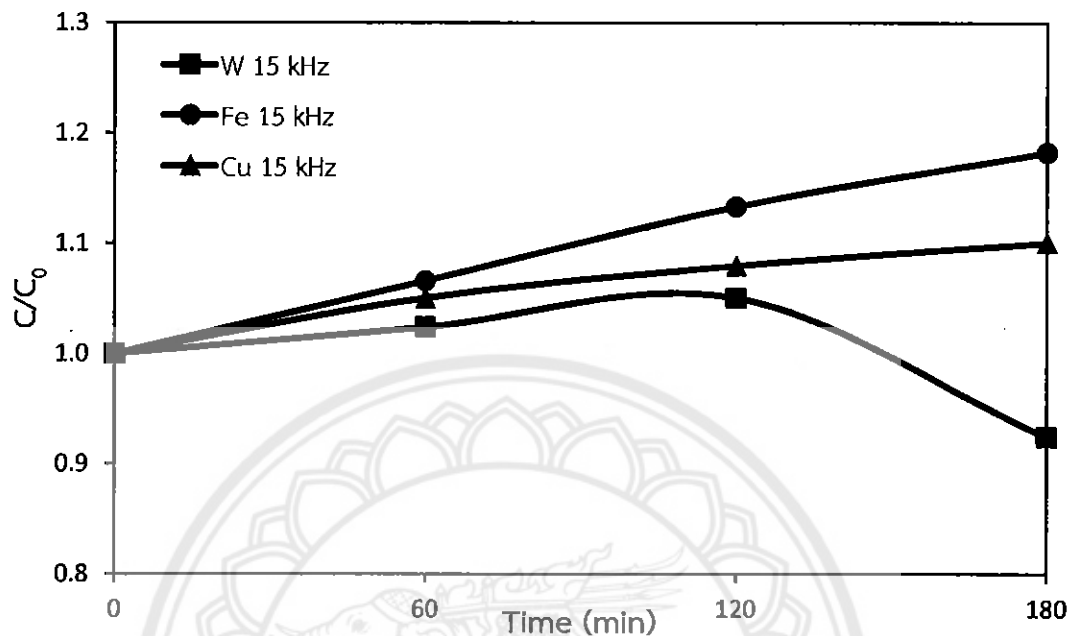
ตารางที่ 4.1 แสดงค่า  $k$  ของการทดลองที่ข้ออ้างอิงโทรศัพท์และความถี่ที่แตกต่างกัน

ชนิดข้ออ้างอิงโทรศัพท์	ความถี่ (kHz)	$R^2$	$k$ ( $\text{min}^{-1}$ )
เหล็ก	15	0.9436	0.0032
	22.5	0.9820	0.0038
	30	0.9623	0.0040
ทองแดง	15	0.9821	0.0028
	22.5	0.9915	0.0045
	30	0.9620	0.0040
ทังสเตน	15	0.9672	0.0074
	22.5	0.9846	0.0085
	30	0.9726	0.0090

จากตารางที่ 4.1 แสดงค่า  $k$  ของการทดลองของข้ออ้างอิงโทรศัพท์และความถี่ที่แตกต่างกัน เมื่อเปรียบเทียบกันระหว่างข้ออ้างอิงโทรศัพท์ 3 ชนิด ที่ความถี่ 15 กิโลเฮิรตซ์ พบร่วมกันของข้ออ้างอิงโทรศัพท์ที่เป็นเหล็กและทองแดงซึ่งให้ค่า  $k$  เท่ากับ 0.0032 และ 0.0028 ตามลำดับ ซึ่งสอดคล้องกับเปอร์เซ็นต์การย่อยสลายพืนอล โดยข้ออ้างอิงโทรศัพท์ที่เป็นทังสเตนจะให้เปอร์เซ็นต์การย่อยสลายพืนอลได้สูงที่สุด และเมื่อเปรียบเทียบกันระหว่างข้ออ้างอิงโทรศัพท์ที่เป็นทังสเตนจะให้เปอร์เซ็นต์การย่อยสลายพืนอลได้สูงที่สุด และเมื่อเปรียบเทียบกันระหว่างข้ออ้างอิงโทรศัพท์ที่เป็นเหล็กและทังสเตนโดยใช้ความถี่ที่แตกต่างกัน พบร่วมกันของข้ออ้างอิงโทรศัพท์ที่ความถี่ 22.5 และ 30 กิโลเฮิรตซ์ จะให้ค่า  $k$  เท่ากับ 0.0085 และ 0.009 ตามลำดับ ซึ่งมากกว่าที่ความถี่ 15 กิโลเฮิรตซ์ ซึ่งในการย่อยสลายพืนอลนั้นที่ความถี่ 22.5 และ 30 กิโลเฮิรตซ์ สามารถย่อยสลายพืนอลได้มากกว่าที่ความถี่ 15 กิโลเฮิรตซ์ ดังนั้นสามารถกล่าวได้ว่าค่า  $k$  นั้นแสดงถึงอัตราการย่อยสลายพืนอลของปฏิกิริยานี้

## 4.5 การดิชาร์จด้วยพลาสม่าที่มีผลต่อค่า TOC

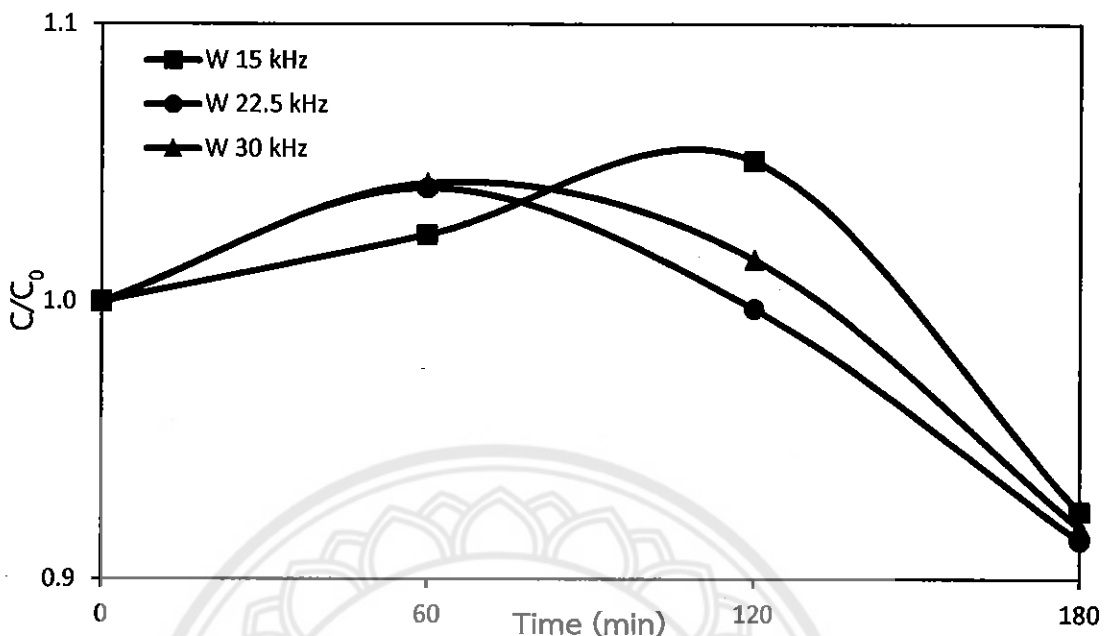
### 4.5.1 การดิชาร์จโดยข้ออเล็กโทรด 3 ชนิดที่ความถี่ 15 กิโลเฮิรตซ์ที่มีผลต่อค่า TOC



รูปที่ 4.9 ค่า TOC ที่ข้ออเล็กโทรดชนิดต่างๆ ที่ความถี่ 15 กิโลเฮิรตซ์

จากการทดลองในการตรวจวัดค่า TOC ที่เกิดขึ้นในระหว่างการดิชาร์จด้วยพลาสม่าของข้ออเล็กโทรด 3 ชนิด คือ หั่งสแตน ทองแดง และเหล็ก ที่ความถี่ 15 กิโลเฮิรตซ์ พบว่าข้ออเล็กโทรดที่เป็น เหล็ก และทองแดง มีแนวโน้มของค่า TOC ที่เพิ่มขึ้นเนื่องมาจากการทรีทด้วยข้ออเล็กโทรด ทั้ง 2 ชนิดนี้ทำให้เกิดปริมาณคาร์บอนหั่งหมดในน้ำมากขึ้นและเมื่อเวลาผ่านไปก็ยังทำให้ปริมาณคาร์บอนในน้ำเกิดเพิ่มมากยิ่งขึ้นไปอีก ในทางกลับกันข้ออเล็กโทรดที่เป็นหั่งสแตนมีแนวเพิ่มขึ้นในช่วง 0 – 120 นาที และลดลงในช่วงหลัง 120 นาที เนื่องมาจากในช่วงหลังเวลา 120 นาทีนั้นปริมาณสะสมของคาร์บอนที่เกิดขึ้นอาจจะเกิดการสลายตัวจากการทำปฏิกิริยาจึงเป็นเหตุให้สารละลายพื้นอุดมปริมาณคาร์บอนปริมาณที่ลดลง

#### 4.5.2 การดิชชาร์จโดยข้าวอิเล็กโทรดทั้งสูงที่ความถี่ 3 ความถี่ ที่มีผลต่อค่า TOC



รูปที่ 4.10 ค่า TOC ที่ข้าวอิเล็กโทรดทั้งสูงที่ความถี่ต่างกัน

จากผลการทดลองในการตรวจวัดค่า TOC ที่เกิดขึ้นในระหว่างการดิชชาร์จด้วยพลาสม่าที่ใช้ข้าวอิเล็กโทรดเป็นทั้งสูง ที่ความถี่ต่างๆ กันคือ 15, 22.5 และ 30 กิโลเฮิรตซ์ พบร่วมกับความถี่ 15 กิโลเฮิรตซ์ ที่เวลา 120 นาที ค่า TOC จะมีค่าลดลง และที่ความถี่ 22.5 และ 30 กิโลเฮิรตซ์ ที่เวลา 60 นาที ค่า TOC จะมีค่าลดลง ทั้งนี้ที่ลดลงเร็วกว่าความถี่ 15 กิโลเฮิรตซ์ อาจเป็นเพราะว่า มีการให้พลังงานที่มากเกินพอที่จะทำให้ค่าร้อนเกิดการสลายตัวจึงทำให้ปริมาณค่าร้อนนั้นเริ่มลดลงที่เวลา 60 นาที

## บทที่ 5

### บทสรุปและข้อเสนอแนะ

#### 5.1 บทสรุป

จากการศึกษาการย่อยสลายฟีนอลด้วยการประยุกต์ใช้กระบวนการพลาสมาวัฏภาคของเหลวของข้าวอิเล็กโทรดทั้ง 3 ชนิด ได้แก่ หั้งสเทน เหล็กและทองแดง พบร่วมกับข้าวอิเล็กโทรดหั้งสเทนชนิดสามารถให้เปอร์เซ็นต์การย่อยสลายฟีนอลได้ดีที่สุด และจากผลการปรับความถี่พบว่าความถี่ของพลาสมามีผลต่อเปอร์เซ็นต์การย่อยสลายฟีนอล โดยที่ความถี่ที่ 22.5 กิโลเฮิรตซ์ และใช้ข้าวอิเล็กโทรดชนิดหั้งสเทนให้เปอร์เซ็นต์การย่อยสลายมากที่สุดคือ 80.49 เปอร์เซ็นต์ และจากผลการวัดค่าความเข้มข้นไฮโดรเจนเปอร์ออกไซด์ต่ำที่สุดซึ่งเป็นเหตุผลทำให้ข้าวอิเล็กโทรดหั้งสเทนมีค่าความเข้มข้นไฮโดรเจนเปอร์ออกไซด์ต่ำที่สุดคือ 0.009 นาที<sup>-1</sup> และเมื่อศึกษาจนผลศาสตร์ของการย่อยสลายฟีนอลพบว่าการย่อยสลายฟีนอลเป็นปฏิกิริยาอันดับหนึ่งและยังพบว่าข้าวอิเล็กโทรดชนิดหั้งสเทนมีค่าคงที่ของการเกิดปฏิกิริยาสูงที่สุดคือ 0.009 นาที<sup>-1</sup> และจากการตรวจวัดค่า TOC ในสารละลายน้ำที่ผ่านการกรองด้วยพลาสม่าโดยใช้ข้าวอิเล็กโทรดชนิดหั้งสเทนพบว่ามีค่า TOC ลดลง เมื่อเปรียบเทียบกับสารละลายน้ำที่ไม่ผ่านการกรอง

#### 5.2 ข้อเสนอแนะ

จากการวิจัยที่ได้ทำการทดลองพบว่าโดยลักษณะของเครื่องปฏิกิริยพลาสmax มีการเกิดไฮอนพลาสม่าที่มีขนาดเล็กมาก และในการย่อยสลายฟีนอลอาศัยการเกิดขึ้นในไฮดรเจนเปอร์ออกไซด์ และไฮดรอกซิลเรดิกออลที่เกิดขึ้นภายในโซนพลาสม่า ดังนั้นจึงควรเพิ่มโซนพลาสม่าให้มีขนาดใหญ่ขึ้น ซึ่งจะส่งผลทำให้การย่อยสลายฟีนอลได้ดีมากขึ้นเนื่องจากการเพิ่มโซนพลาสมานี้สามารถทำได้โดยการเพิ่มสัมผัสกันระหว่างสารละลายน้ำที่ผ่านการกรองและพลาสม่า โดยออกแบบเครื่องปฏิกิริยพลาสmax ใหม่ให้มีช่องสำหรับใส่ข้าวอิเล็กโทรดมากขึ้น และเพื่อความสมบูรณ์ในงานวิจัยนี้มากขึ้นควรจะมีการศึกษาโครงสร้างความเป็นผลึกของอนุภาคที่หลุดออกจากข้าวอิเล็กโทรดแต่ละชนิดเนื่องมาจากความเป็นผลึกส่งผลต่อการเป็นตัวเร่งปฏิกิริยาในการย่อยสลายฟีนอลโดยการตรวจความเป็นผลึกจะใช้วิธีการ X-Ray Diffraction (XRD) ในการตรวจสอบ

## เอกสารอ้างอิง

- [1] วิทยา เพียร์วิจิตร. เทคโนโลยีการกำจัดน้ำเสีย. กรุงเทพมหานคร. โอดี้นสโตร์ 2525
- [2] “ฟีนอล” [ออนไลน์] เข้าถึงได้จาก: [www.foodnetworksolution.com](http://www.foodnetworksolution.com) 2014
- [3] W. Chooaksorn. Color Removal Technology in Industrial Wastewater. Environmental Science Department. Burapha Sci 2012;1:181-191
- [4] “advanced oxidation process” [ออนไลน์] เข้าถึงได้จาก [www.archive.lib.cmu.ac.th](http://www.archive.lib.cmu.ac.th) 2014
- [5] “Photocatalytic” [ออนไลน์] เข้าถึงได้จาก: [www.teenet.cmu.ac.th](http://www.teenet.cmu.ac.th) 2014
- [6] L.Wang and X. Jiang. Unusual catalytic effects of iron salts on phenol degradation by glow discharge plasma in aqueous solution. Journal of Hazardous Materials 2009;161:926-932
- [7] ภาณุ ภู่ติวิทยา. การหาปริมาณของฟีนอลในแหล่งน้ำโดยใช้เทคนิคスペกโตรโฟโตเมตรี. วิทยานิพนธ์วิทยาศาสตรมหาบัณฑิต สาขาวิชาเคมีศึกษา มหาวิทยาลัยศรีนครินทรวิโรฒ 2528
- [8] R.J. Bigda. Consider Fenton's chemistry for wastewater treatment. Chem. Eng. Prog 1995 12:62-66
- [9] C. Walling. Fenton's reagent revisited. Acc. Chem. Res 1975;8:125-131
- [10] Y.G. Montaser, H. Georg, M. Roland and H. Roland. Photochemical oxidation of p-chlorophenol by UV/H<sub>2</sub>O<sub>2</sub> and photo-Fenton process A comparative study. Waste Management 2001; 21: 41-47
- [11] W.H. Glaze. Drinking water treatment with ozone. Environmental Science and Technology 1987; 21:224-230
- [12] J. Zhang, B. Zhang and J. Zhang. Effect of phosphoric acid pretreatment on enzymatic hydrolysis of microcrystalline cellulose. Biotechnology Advances 2010;28:613-619
- [13] G.L. Miller. Use of Dinitrosalicylic Acid Reagent for Determination of Reducing Sugar. Analytical Chemistry 1959

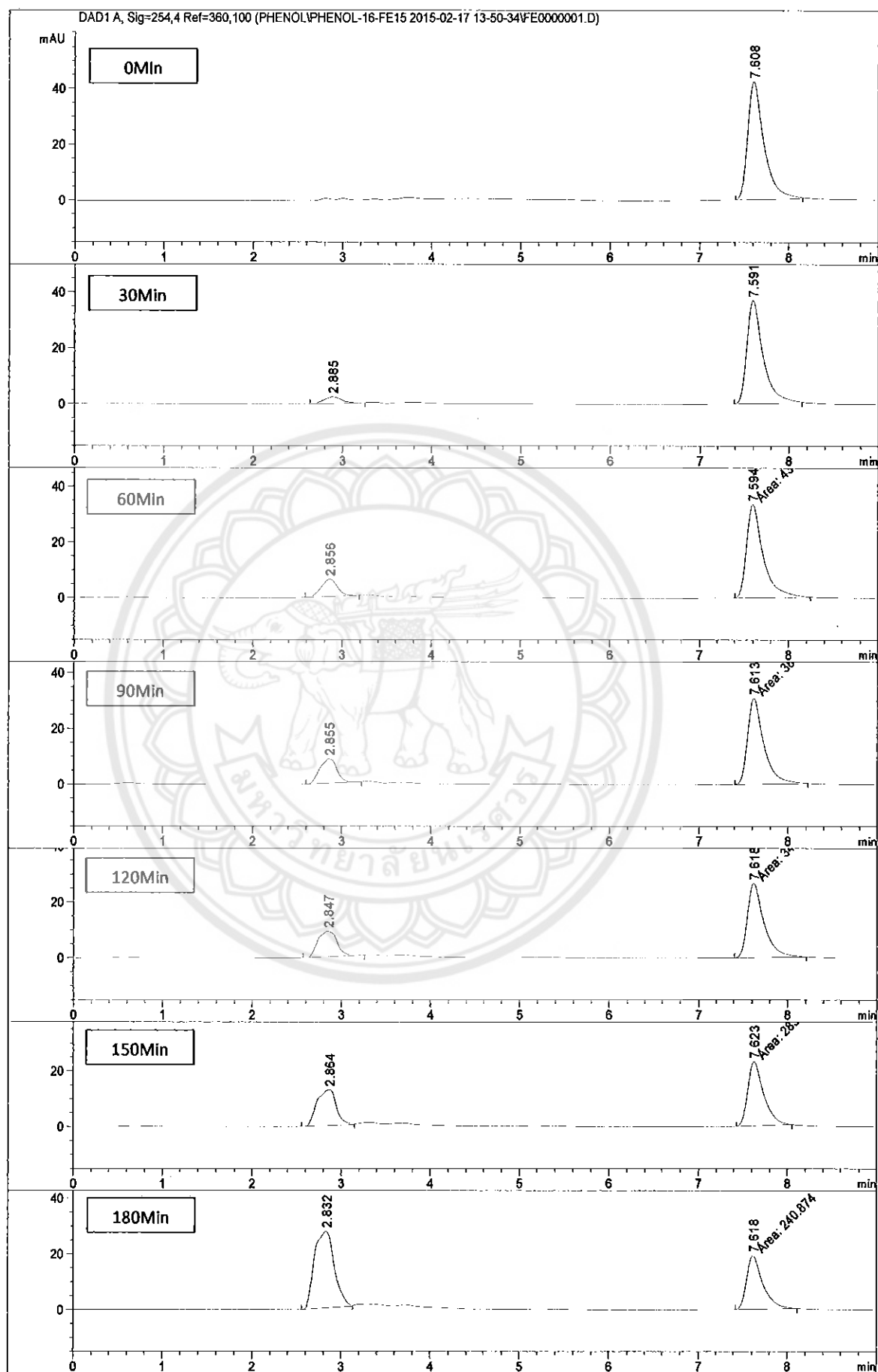
## เอกสารอ้างอิง (ต่อ)

- [14] C.Yang, Z. Shen and G.Yu. Effect and aftereffect of radiation pretreatment on enzymatic hydrolysis of wheat straw. Bioresource Technolgy 2998;99:6240-6245
- [15] O. Takai. Solution plasma processing (SPP)\*. Pure. Appl. Che 2008;80:2003-2011
- [16] I. Prasertsung, S. Damrongsakkul and N. Saito. Degradation of  $\beta$  – chitosan by solution plasma process (SSP). Polymer Degradation and Stability 2013;98:2089-2093
- [17] O. Pornsunthorntawee. Depolymerization of chitosan-metal complexes via a solution plasmatechnique. carbohydrate Polymers 2014;102:504 – 512
- [18] “HPLC” [ออนไลน์] เข้าถึงได้จาก: [www.dusithost.dusit.ac.th](http://www.dusithost.dusit.ac.th) 2014
- [19] “HPLC” [ออนไลน์] เข้าถึงได้จาก: [www.env.eng.chula.ac.th](http://www.env.eng.chula.ac.th) 2014
- [20] J. Chen, W.H. Rulkens and H. Bruning. Photochemical elimination of phenols and COD in industrial wastewaters. Wat.Sci.Tech 1997;35:231-238
- [21] Y.W. Kang and K.Y. Hwang. Effects of reaction condition on the oxidation efficiency in the fenton process. Wat.Res 2000;34:2786-2790
- [22] M.Y. Ghaly, H. Georg, M. Roland and H. Roland. Photochemical oxidation of *P*-chlorophenol by UV/H<sub>2</sub>O<sub>2</sub> and photo-Fenton process. A comparative study. Waste Management 2001;21:41-47
- [23] Y.S. Chen, X.S. Zhang, Y.C. Dai and W.K. Yuan. Pulsed high-voltage discharge plasma for degradation of phenol in aqueous solution. Separation and Purification Technology 2004;34:5-12
- [24] M. Sahni and B.R. Locke. The Effects of Reaction Conditions on Liquid-Phase Hydroxyl Radical Production in Gas-Liquid Pulsed-Electrical-Discharge Reactors. Department of Chemical and Biomedical Engineering 2006
- [25] K. Gai. Plasma-induced degradation of diphenylamine in aqueous solution. Journal of Hazardous Materials 2007;146:249-254

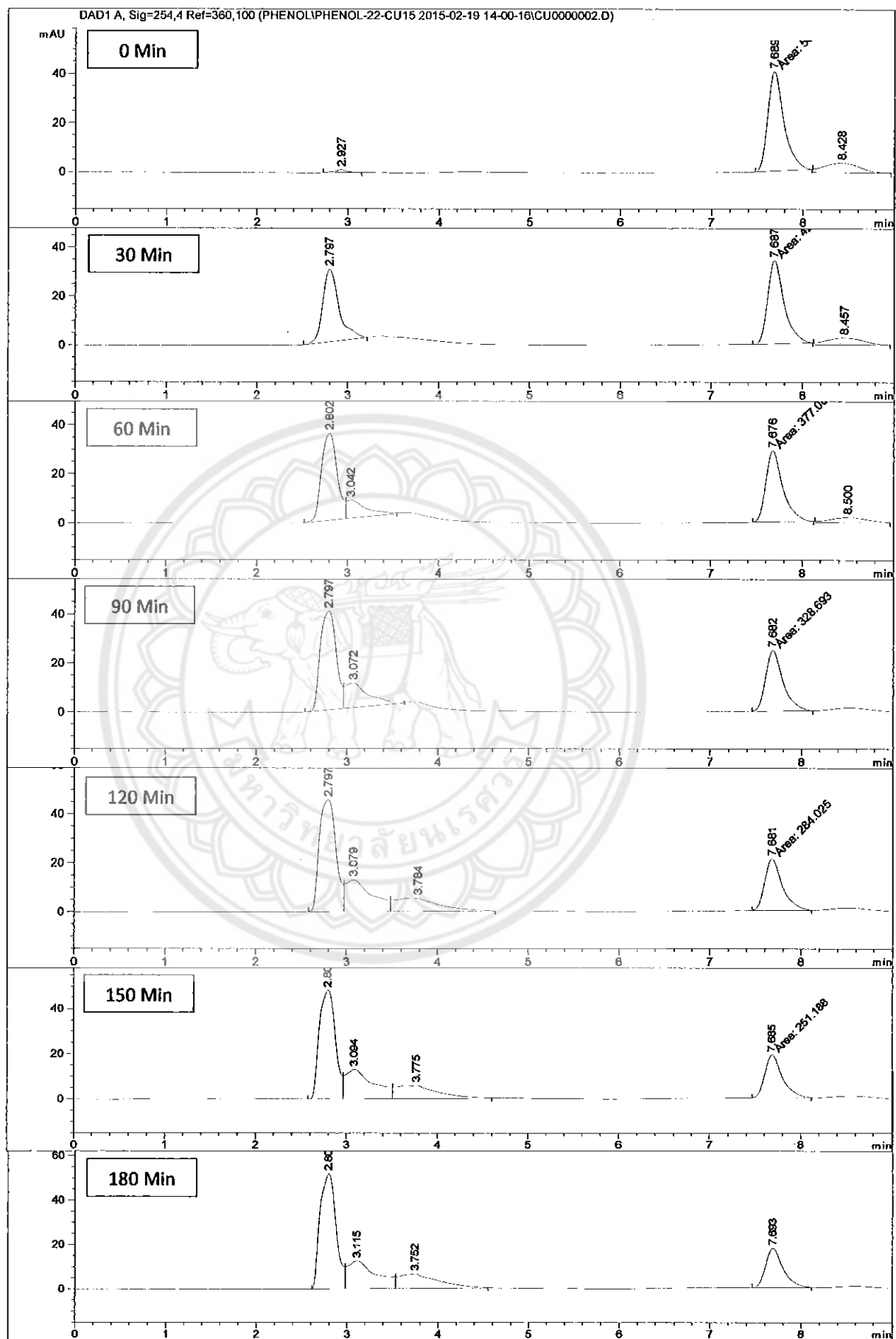
## เอกสารอ้างอิง (ต่อ)

- [26] L.wang, X. Jiang and Y. Liu. Degradation of bisphenol A and formation of hydrogen peroxide induced by glow discharge plasma in aqueous solution. Journal of Hazardous Materials 2008;154:1106-1114
- [27] G. Qu, D. Liang, D. Qu, Y. Huang, T. Liu, H. Mao, P. Ji and D. Huang. Simultaneous removal of cadmium ion and phenol from water solution by pulsed corona discharge plasma combined with activated carbon. Chemical Engineering Journal 2013;228:28-35
- [28] K. Ntampeliotis, A. Riga, V. Karayannis, V. Bontozoglou and G. Papapolymerou. Decolorization kinetics of Procion H-exl dyes from textile dyeing using Fenton-like reactions. Journal of Hazardous Materials 2006;136:75-84
- [29] เกรียงศักดิ์ อุดมสินโรจน์. ของเสียอันตราย (Hazardous wastes). ภาควิชาชีวกรรม สิ่งแวดล้อม มหาวิทยาลัยรังสิต 2546
- [30] J.Elizabete and S.Cristina. Evaluation of  $TiO_2$ ,  $ZnO$ ,  $CuO$  and  $Ga_2O_3$  on the Photocatalytic Degradation of Phenol Using an Annular-Flow Photocatalytic Reactor. Journal of Physical Chemistry 2012;2;135-140

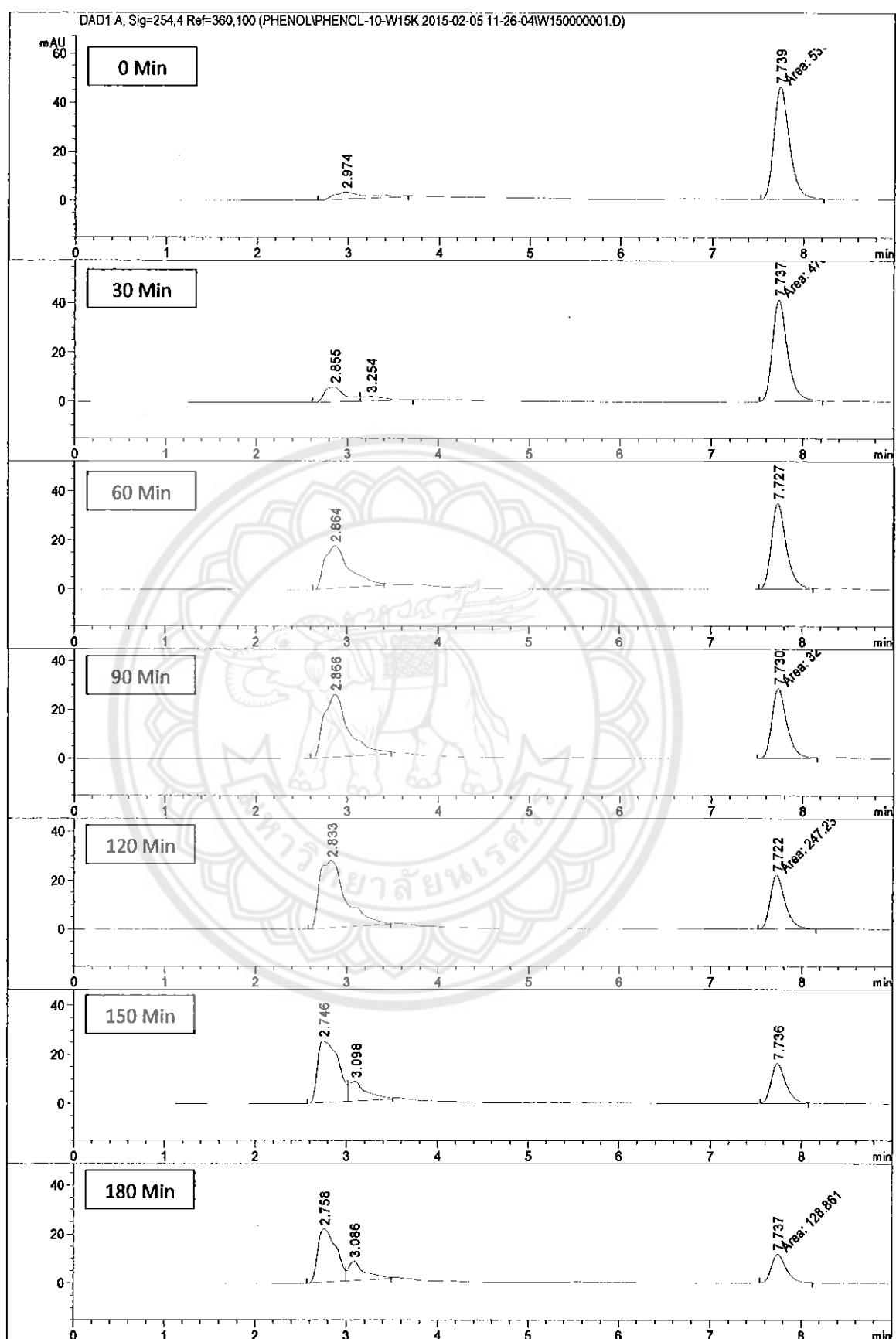




รูปที่ ก.1 แสดงกราฟข้อมูลจากเครื่อง HPLC ของข้าวอิเล็กโทรดเหล็กที่ความถี่ 15 กิโลเฮิรตซ์



รูปที่ ก.2 แสดงกราฟข้อมูลจากเครื่อง HPLC ของข้าวอิเล็กโทรดทองแดงที่ความถี่ 15 กิโลเอิร์ตซ์



รูปที่ ก.3 แสดงกราฟข้อมูลจากเครื่อง HPLC ของข้อวิเล็กໂທดทั้งสแตนที่ความถี่ 15 กิโลเฮิรตซ์

ตารางที่ ก.1 แสดงข้อมูลที่ได้จากเครื่อง HPLC และการคำนวณค่าเบอร์เซ็นต์การย่อยสลายฟีโนล  
ของข้าวอิเล็กโทรดเหล็ก ที่ความถี่ 15 กิโลเฮิรตซ์

time (min)	area			Concentration (ppm)	Percentage of degradation
	n <sub>1</sub>	n <sub>2</sub>	avg		
0				100	
30	470.3	475.6	472.95	92.44	5.71
60	434.09	430.25	432.17	84.94	13.35
90	388.2	384.9	386.55	76.56	21.91
120	341.38	342.5	341.94	68.36	30.27
150	283.5	285.8	284.65	57.83	41.01
180	240.9	242.4	241.65	49.92	49.08

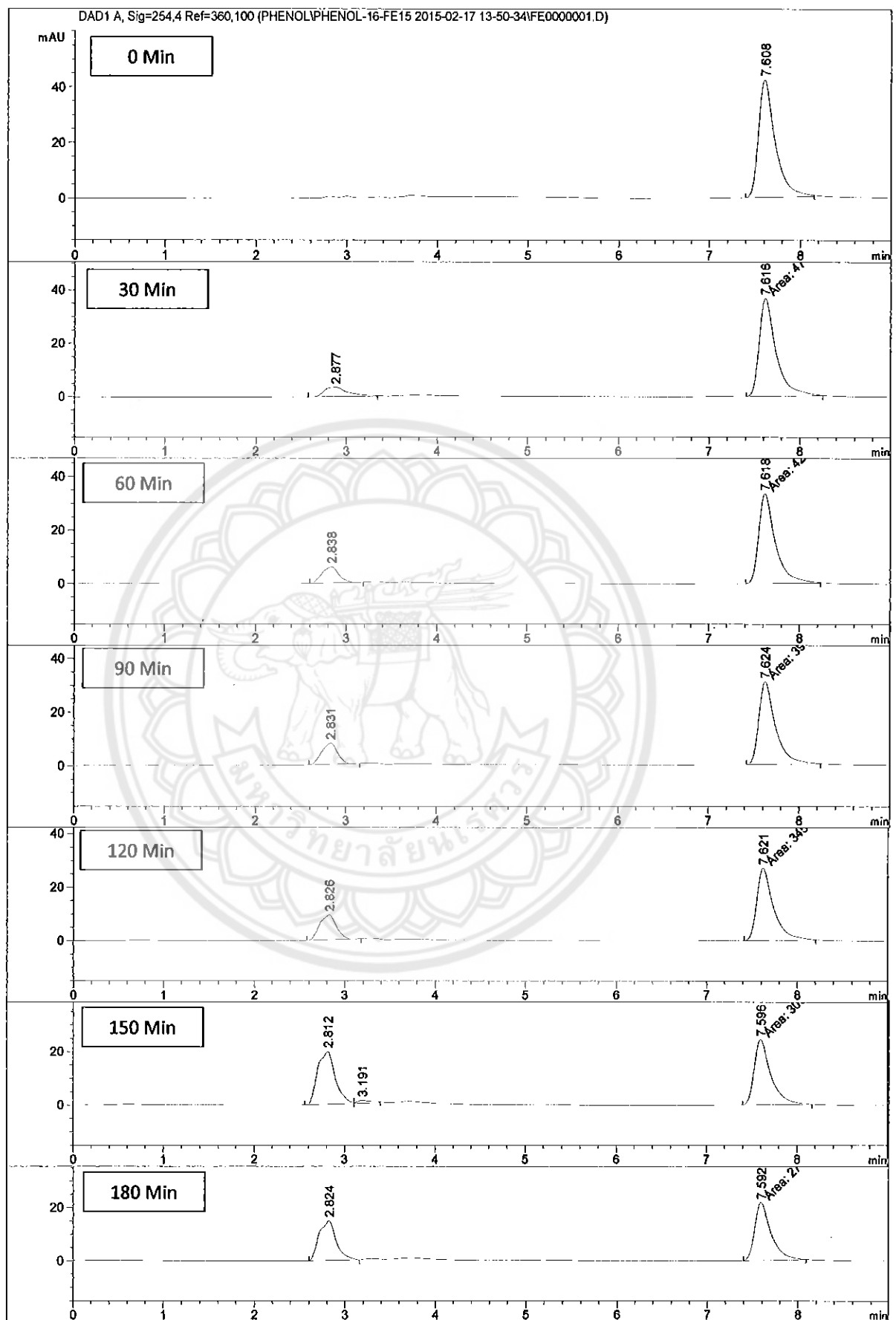
ตารางที่ ก.2 แสดงข้อมูลที่ได้จากเครื่อง HPLC และการคำนวณค่าเบอร์เซ็นต์การย่อยสลายฟีโนล  
ของข้าวอิเล็กโทรดทองแดง ที่ความถี่ 15 กิโลเฮิรตซ์

time (min)	area			conc. (ppm)	Percentage of degradation
	n <sub>1</sub>	n <sub>2</sub>	avg		
0				100	
30	426.5	428.8	427.7	94.4	13.47
60	377	380.5	378.8	84.2	22.90
90	328.7	327.5	328.1	73.5	32.67
120	284	283.3	283.7	64.1	41.24
150	251.2	253.4	252.3	57.5	47.28
180	235.3	235.5	235.4	54.0	50.54

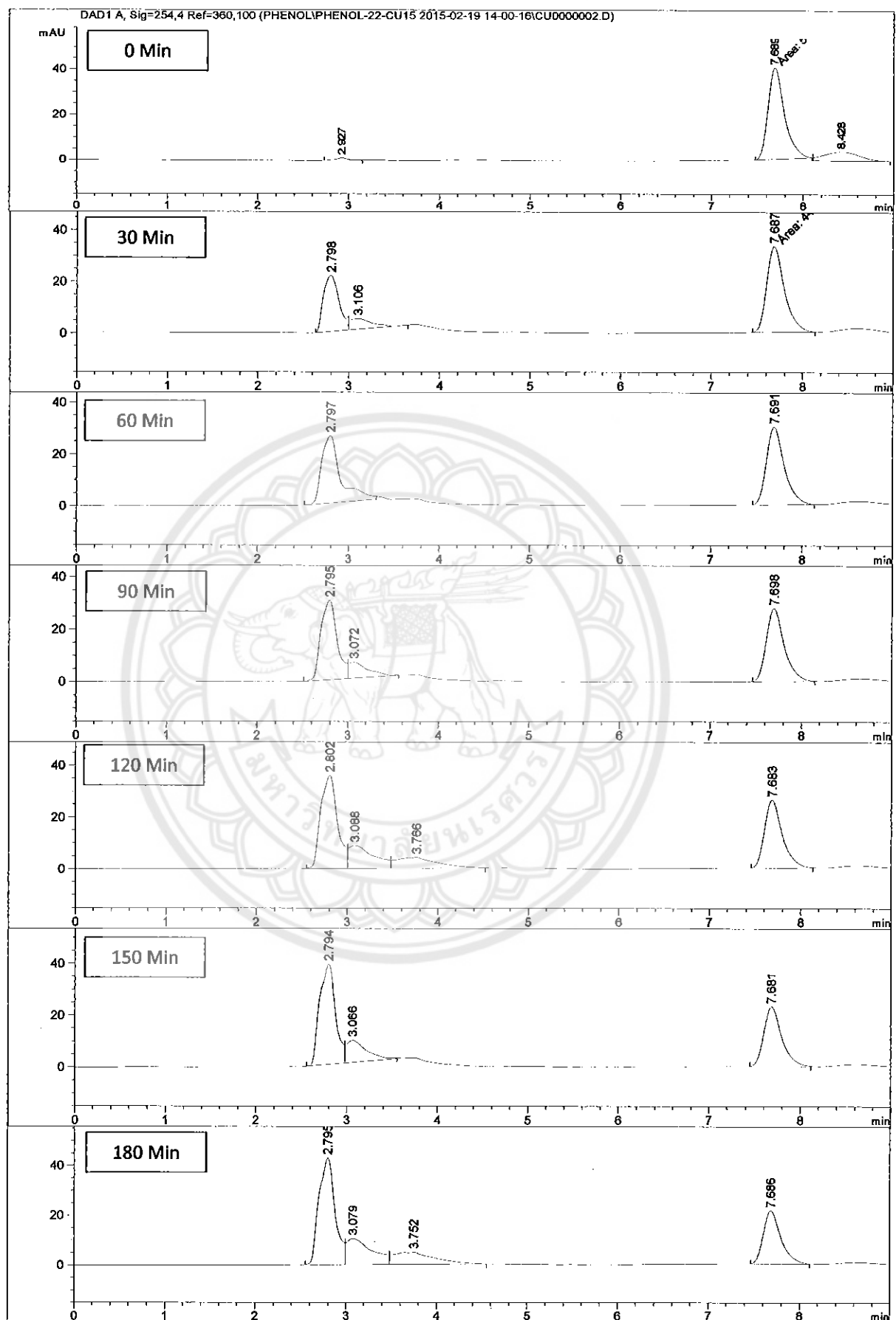
ตารางที่ ก.3 แสดงข้อมูลที่ได้จากเครื่อง HPLC และการคำนวณค่าเปอร์เซ็นต์การย่อย  
สลายพื้นอลของข้าวอิเล็ก trod หั่งสแตน ที่ความถี่ 15 กิโลไฮรดซ์

time (min)	area			conc. (ppm)	Percentage of degradation
	n <sub>1</sub>	n <sub>2</sub>	avg		
0				100	
30	470.2	472.6	471.4	77.40	11.95
60	395.3	393	394.15	65.16	25.86
90	321.2	318.9	320.05	53.43	39.22
120	247.2	244.3	245.75	41.66	52.60
150	181.6	180.5	181.05	31.41	64.26
180	128.9	129.6	129.25	23.21	73.59

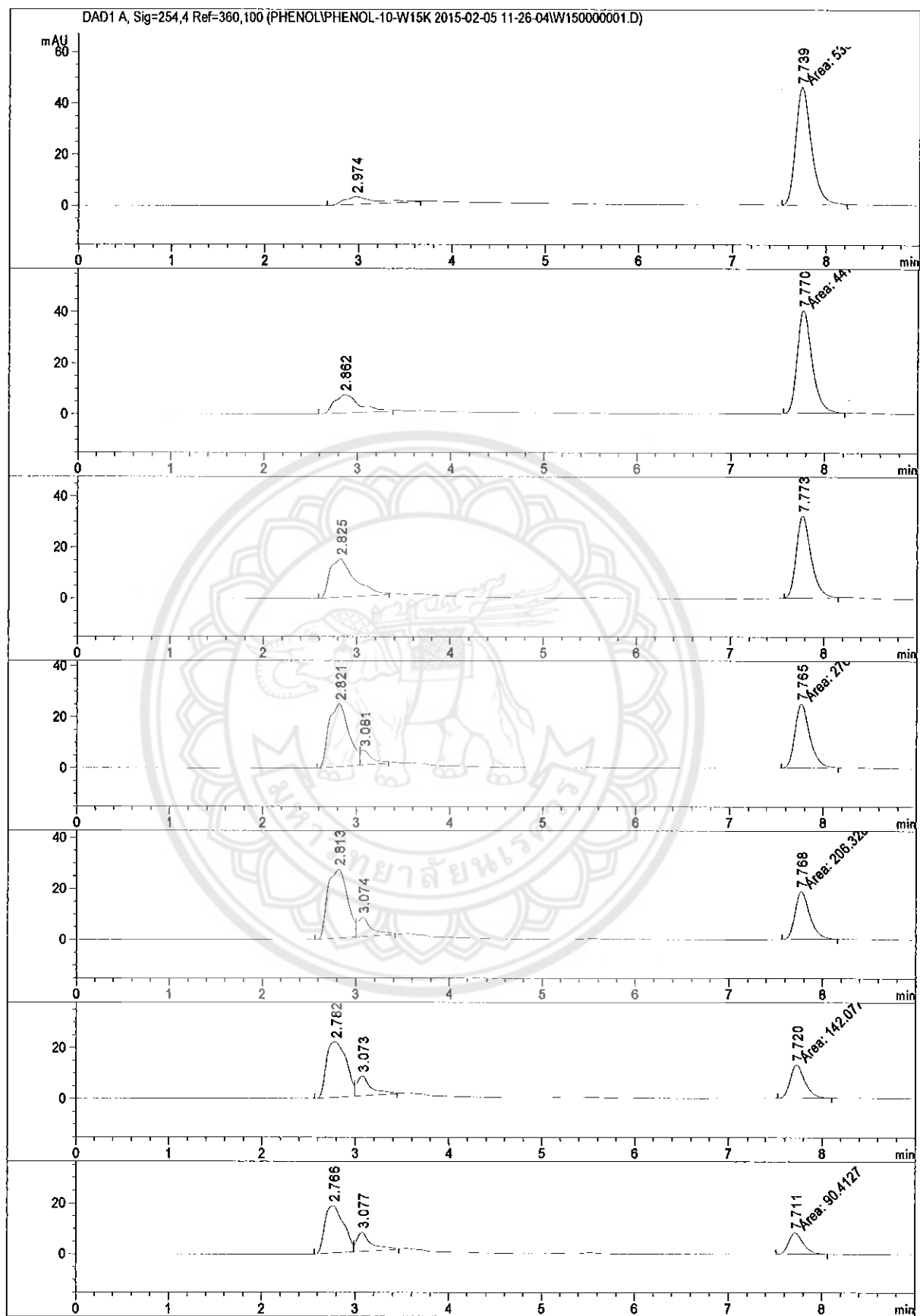




รูปที่ ก.4 แสดงกราฟข้อมูลจากเครื่อง HPLC ของข้าวอิเล็กโทรดเหล็กที่ความถี่ 22.5 กิโลเฮิรตซ์



รูปที่ ก.5 แสดงกราฟข้อมูลจากเครื่อง HPLC ของข้าวอิเล็กโทรดทองแดงที่ความถี่ 22.5 กิโลเฮิรตซ์



รูปที่ ก.6 แสดงกราฟข้อมูลจากเครื่อง HPLC ของข้าวอิเล็กโทรดหั้งสแตนที่ความถี่ 22.5 กิโลเฮิรตซ์

ตารางที่ ก.4 แสดงข้อมูลที่ได้จากเครื่อง HPLC และการคำนวณค่าเบอร์เซ็นต์การย่อย  
สลายพื้นอลของข้าวอิเล็กโทรดเหล็ก ที่ความถี่ 22.5 กิโลไฮรดซ์

time (min)	area			conc. (ppm)	Percentage of degradation
	n <sub>1</sub>	n <sub>2</sub>	avg		
0				100	
30	473.8	470.9	472.35	92.33	5.82
60	426.2	425.9	426.05	83.82	14.50
90	390.9	388.2	389.55	77.11	21.35
120	346	348.3	347.15	69.31	29.30
150	309.6	307.2	308.4	62.19	36.56
180	273.5	272.2	272.85	55.66	43.23

ตารางที่ ก.5 แสดงข้อมูลที่ได้จากเครื่อง HPLC และการคำนวณค่าเบอร์เซ็นต์การย่อย  
สลายพื้นอลของข้าวอิเล็กโทรดทองแดง ที่ความถี่ 22.5 กิโลไฮรดซ์

time (min)	area			conc. (ppm)	Percentage of degradation
	n <sub>1</sub>	n <sub>2</sub>	avg		
0				100	
30	445.5	450.5	448.0	98.7	9.55
60	405.3	406.8	406.1	89.9	17.63
90	377.9	378.3	378.1	84.0	23.02
120	351.6	353.6	352.6	78.7	27.94
150	311.6	313.2	312.4	70.2	35.69
180	284.8	286.8	285.8	64.6	40.82

ตารางที่ ก.6 แสดงข้อมูลที่ได้จากเครื่อง HPLC และการคำนวณค่าเบอร์เช่นต์การย่อย  
สลายพิโนลของข้าวอิเล็กโทรดหังสแทน ที่ความถี่ 22.5 กิโลเฮิรตซ์

time (min)	area			conc. (ppm)	Percentage of degradation
	n <sub>1</sub>	n <sub>2</sub>	avg		
0				100	
30	447.9	446.5	447.2	73.57	16.31
60	356.2	354.4	355.3	59.01	32.86
90	278.5	278.7	278.6	46.86	46.68
120	208.4	206.3	207.35	35.58	59.52
150	142.1	143.8	142.95	25.38	71.13
180	90.4	91.6	91	17.15	80.49

ตารางที่ ก.7 แสดงข้อมูลที่ได้จากเครื่อง UV-vis ในการวัดค่าไอยโอดีนเจนเบอร์ออกไซด์ของข้าว  
อิเล็กโทรดเหล็กที่ความถี่ 15 กิโลเฮิรตซ์

time (min)	ABS	concentration (ppm)
0	-0.004	6.07
30	0.037	11.68
60	0.039	11.96
90	0.071	16.34
120	0.105	21.00
150	0.204	34.56
180	0.254	41.41

ตารางที่ ก.8 แสดงข้อมูลที่ได้จากเครื่อง UV-vis ในการวัดค่าไฮโดนเจนเปอร์ออกไซด์ของข้าวอิเล็กโทรดทองแดงที่ความถี่ 15 กิโลเฮิรตซ์

time (min)	ABS	concentration (ppm)
0	-0.004	6.07
30	0.013	8.40
60	0.028	10.45
90	0.032	11.00
120	0.039	11.96
150	0.044	12.64
180	0.051	13.60

ตารางที่ ก.9 แสดงข้อมูลที่ได้จากเครื่อง UV-vis ในการวัดค่าไฮโดนเจนเปอร์ออกไซด์ของข้าวอิเล็กโทรดหังส텐ที่ความถี่ 15 กิโลเฮิรตซ์

time (min)	ABS	concentration (ppm)
0	-0.004	6.07
30	0.011	8.12
60	0.014	8.53
90	0.017	8.95
120	0.024	9.90
150	0.054	14.01
180	0.11	21.68

ตารางที่ ก.10 แสดงข้อมูลที่ได้จากเครื่อง UV-vis ในการวัดค่าไฮโดนเจนเปอร์ออกไซด์ของ  
ข้าวอิเล็กโทรดเหล็กที่ความถี่ 22.5 กิโลเฮิรตซ์

time (min)	ABS	concentration (ppm)
0	0.014	8.53
30	0.051	13.60
60	0.074	16.75
90	0.094	19.49
120	0.136	25.25
150	0.251	41.00
180	0.324	51.00

ตารางที่ ก.11 แสดงข้อมูลที่ได้จากเครื่อง UV-vis ในการวัดค่าไฮโดนเจนเปอร์ออกไซด์ของ  
ข้าวอิเล็กโทรดทองแดงที่ความถี่ 22.5 กิโลเฮิรตซ์

time (min)	ABS	concentration (ppm)
0	0.014	8.53
30	0.016	8.81
60	0.019	9.22
90	0.025	10.04
120	0.033	11.14
150	0.037	11.68
180	0.039	11.96

ตารางที่ ก.12 แสดงข้อมูลที่ได้จากเครื่อง UV-vis ในการวัดค่าไฮโดนเจนเปอร์ออกไซด์ของ  
ข้าวอิเล็กโทรดทั้งสัตว์ที่ความถี่ 22.5 กิโลเอิร์ตซ์

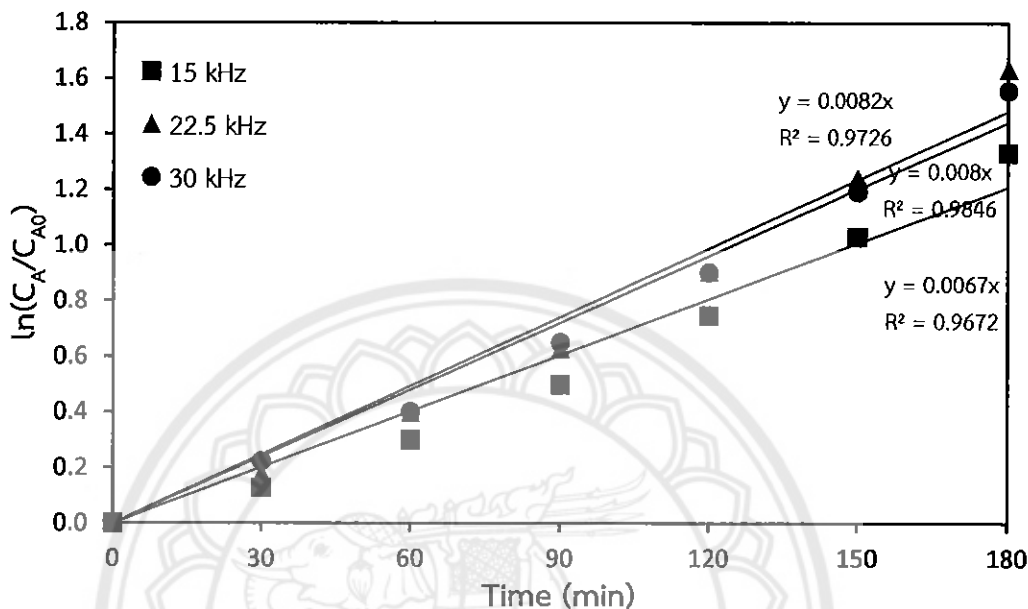
time (min)	ABS	concentration (ppm)
0	0.014	8.53
30	0.017	8.95
60	0.025	10.04
90	0.035	11.41
120	0.11	21.68
150	0.266	43.05
180	0.464	70.18



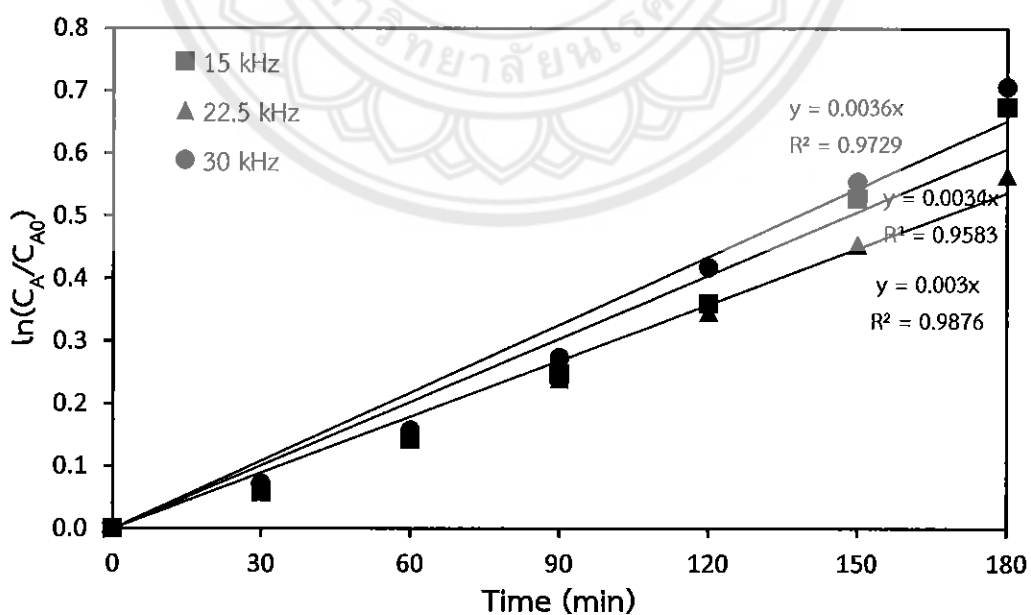


จากการศึกษาจนผลศาสตร์ของการย่อสลายฟีนอลพบว่าอันดับการเกิดปฏิกิริยาเป็นอันดับหนึ่ง ซึ่งสามารถคำนวณได้จากสมการ

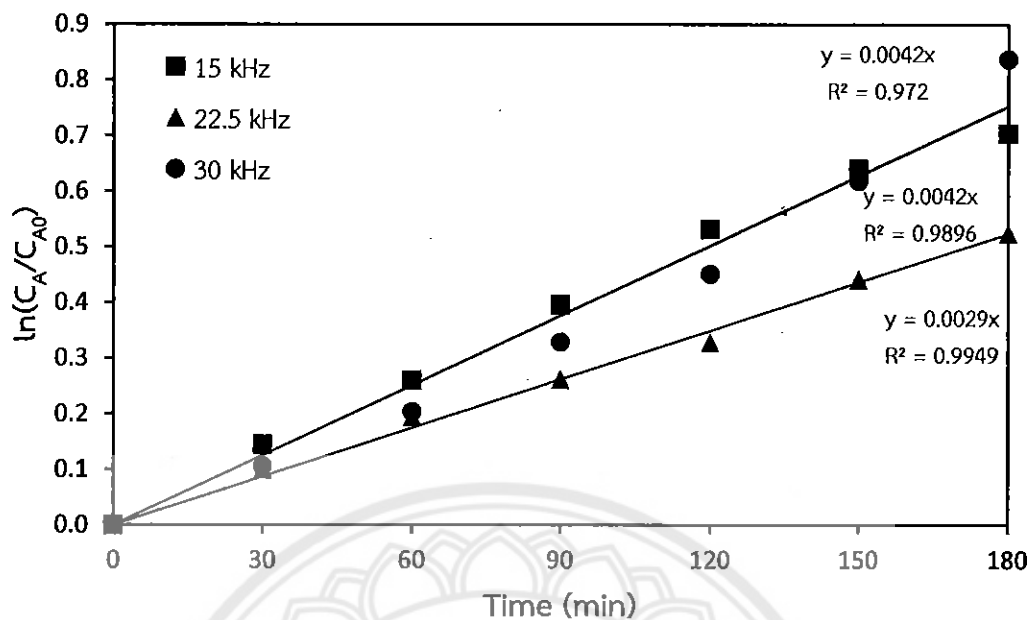
$$\text{ปฏิกิริยาอันดับหนึ่ง : } \ln(C_A/C_{A0}) = -kt$$



รูปที่ ข.1 แสดงค่า  $R^2$  ของการย่อสลายฟีนอลของข้าวอิเล็กโทรดหั่งสเนน ที่ความถี่ 15 22.5 และ 30 กิโลไฮรตซ์



รูปที่ ข.2 แสดงค่า  $R^2$  ของการย่อสลายฟีนอลของข้าวอิเล็กโทรดเหล็ก ที่ความถี่ 15 22.5 และ 30 กิโลไฮรตซ์



รูปที่ ข.3 แสดงค่า  $R^2$  ของการย่อยสลายพื้นอลของข้าวอิเล็กโทรดทองแดง  
ที่ความถี่ 15 22.5 และ 30 กิโลเฮิรตซ์

## ประวัติผู้ดำเนินโครงการ



ชื่อ นายพิสิฐ อ่อนพุ่ม

ภูมิลำเนา 1/41022 หมู่ 1 ต.บ้านคลอง อ.เมือง  
จ.พิษณุโลก

### ประวัติการศึกษา

- จบระดับมัธยมศึกษาจากโรงเรียนพิษณุโลก  
พิทยาคม จ.พิษณุโลก
- ปัจจุบันกำลังศึกษาระดับปริญญาตรีชั้นปีที่ 4  
สาขา วิศวกรรมเคมี  
คณะวิศวกรรมศาสตร์ มหาวิทยาลัยนเรศวร

E-mail : pvisit\_ooo@hotmail.com



ชื่อ นายสิทธิพล อนันตระกูลศิลป์

ภูมิลำเนา 193 หมู่ 27 ต.คลองน้ำ宦 อ.คลองลาน  
จ.กำแพงเพชร

### ประวัติการศึกษา

- จบระดับมัธยมศึกษาจากโรงเรียนคลองลาน  
วิทยา จ.กำแพงเพชร
- ปัจจุบันกำลังศึกษาระดับปริญญาตรีชั้นปีที่ 4  
สาขาวิศวกรรมเคมี  
คณะวิศวกรรมศาสตร์ มหาวิทยาลัยนเรศวร

E-mail : sittipon\_chem@hotmail.com